

ООО «Инжиниринговая компания «СМКпроект»

Юридический адрес: 142105 Московская область, г.Подольск, 1-й Деловой проезд, д.5, офис 4
Тел/факс: +7 (499) 322-11-72
Эл. почта: framesystems@mail.ru



Многоквартирный жилой дом на земельном участке с кадастровым номером 89:11:020206:1583, расположенный в мкр.Ягельный, г.Новый Уренгой, ЯНАО, Тюменской области

ПРОЕКТНАЯ ДОКУМЕНТАЦИЯ

Расчет каркаса

Блок-секция 1

05/08-2019 ПР-РР1

Инв. № подл.	Подпись и дата	Взам. инв. №
137		

Подольск, 2020

ООО «Инженерная компания «СМКпроект»

Юридический адрес: 142105 Московская область, г.Подольск, 1-й Деловой проезд, д.5, офис 4
Тел/факс: +7 (499) 322-11-72
Эл. почта: framesystems@mail.ru



Многоквартирный жилой дом на земельном участке с кадастровым номером 89:11:020206:1583, расположенный в мкр.Ягельный, г.Новый Уренгой, ЯНАО, Тюменской области

ПРОЕКТНАЯ ДОКУМЕНТАЦИЯ

Расчет каркаса

Блок-секция 1

05/08-2019 ПР-РР1

Директор по развитию
ООО "Инженерная компания "СМКпроект"

А.Н.Гагарин

Главный инженер проекта

И.В.Минеев

Инв. № подл.	Подпись и дата	Взам. инв. №
137		

Подольск, 2020

Новый Уренгой

05/08-2019 ПР-PP1

Инв. № подл.	Подп. и дата	Взам. инв. №

Изм.	Кол.у	Лист	№	Подп.	Дата
ГИП		Минеев			
Гл.констр.		Алякин			
Выполнил		Алякин			

05/08-2019 ПР-PP1

Пояснительная записка к
расчету каркаса здания.

Стадия	Лист	Листов
П	2	101
ООО "СМК-ПРОЕКТ"		

Оглавление

1. Введение.....	3
1.1 Характеристики площадки строительства.....	3
1.2 Конструктивные решения	8
1.3 Пояснение к расчёту	10
1.4 Расчётные характеристики материалов	14
1.5 Сбор нагрузок	19
1.6 Сводная таблица нагрузок на здание	36
1.7 Выводы.....	37
2. Результаты динамического, статического расчёта. Деформации и усилия.....	38
2.1 Результаты расчёта на собственные колебания	38
2.2 Деформации каркаса	41
2.3 Усилия на обрезестыка сборных колонн и фундаментов.....	45
3. Конструктивный расчёт элементов каркаса	48
3.1 Расчёт монолитной фундаментной плиты	48
3.1.1 Исходные данные	48
3.1.2 Пояснения к расчёту	48
3.1.3 Усилия в монолитной фундаментной плите (эпюры)	49
3.1.4 Теоретическое армирование монолитной фундаментной плиты	52
3.1.5 Деформации монолитной фундаментной плиты.	57
3.1.6 Расчёт несущей способности основания.....	58
3.1.7 Расчёт на продавливание фундаментной плиты.	69
3.3 Расчёт колонн	87
3.3.1 Армирование колонн	89
3.4 Расчёт ригелей	93
3.4.1 Результаты расчёта армирования ригелей	94
4. Список использованной литературы.....	97
Приложение 1. Сертификат соответствия.	98
Приложение 2. Протокол статического анализа.	99

Инв. № подл.	Полпись и дата	Взам. инв. №

Изм.	Кол.	Лист	№	Подп.	Дата

1. Введение

Проектируемый многоквартирный жилой дом расположен в мкр. Ягельный, г. Новый Уренгой, ЯНАО, Тюменской области.

Расчеты фундаментов и каркаса выполнены на основании задания на проектирование, чертежей разделов генплана, инженерно-геологического отчета, архитектурных, технологических, конструктивных решений.

Статический, динамический и конструктивные расчеты были выполнены методом конечных элементов с помощью программного комплекса Ing+ (MicroFe) ООО «Техсофт» (сертификат соответствия № RA.RU.AB86.H01019).

1.1 Характеристики площадки строительства

Геологическое строение и свойства грунтов.

В геологическом строении площадка изучена до глубины 20,0 метров. В ее строении принимают участие аллювиальные отложения верхнечетвертичного возраста. Сверху аллювиальные отложения перекрыты техногенными грунтами.

Техногенные грунты распространены по всей площади изысканий, залегают с поверхности до глубины 0,5 м. Представлены естественно техногенно измененными мелкими песками, в скважинах № 2,4,5 – со строительным мусором; (ИГЭ-1); на момент бурения находятся в талом состоянии – малой степени водонасыщения, при промерзании перейдут в сыпучемерзлое состояние.

Верхнеплейстоценовые аллювиальные отложения имеют повсеместное распространение. Литология отложений представлена песками мелкими и средней крупности.

Пески мелкие (ИГЭ-2) средней плотности, малой степени водонасыщения, при промерзании - сыпучемерзлые, встречены во всех скважинах. Залегают под техногенными грунтами. Вскрытая мощность – 6,9 -8,0 м.

Пески средней крупности, (ИГЭ-3) средней плотности сложения, средней степени водонасыщения встречены во всех скважинах. Вскрытая мощность – 1,0 – 2,4 м.

Пески средней крупности (ИГЭ-4), средней плотности сложения, водонасыщенные встречены во всех скважинах. Вскрытая мощность – 10,2 – 11,0 м.

Распространение литологических разностей по глубине и по простирианию представлено на инженерно-геокриологических разрезах (графические приложения 3) и инженерно-геологических колонках (графические приложения 4).

Геокриологические условия.

Согласно геокриологическому районированию изучаемый участок относится к северной части Надым-Пуровской области.

На изучаемом участке многолетнемерзлые грунты до глубины 20,0 м не вскрыты.

В площадном отношении геокриологические условия изучаемой площадки характеризуются распространением талых и сезонномерзлых грунтов. Глубина изысканий составила 20,0 м.

Инв. № подл.	Подпись и дата	Взам. инв. №

Изм.	Кол.	Лист	№	Подп.	Дата

05/08-2019 ПР-PP1

Лист

3

Талые и сезонномерзлые грунты зафиксированы во всех скважинах.

На момент бурения (середина августа 2019 г.), грунты сезонномерзлого слоя, находятся в талом состоянии. Нормативная глубина сезонного промерзания согласно СП 25.13330.2012 Актуализированная редакция СНиП 2.02.04-88 находится в зависимости от литологического состава и предзимней влажности грунтов и составляет 3,0 м.

Литология грунтов слоя сезонного промерзания представлена техногенными грунтами и песками мелкими.

Техногенные грунты – естественно техногенно измененные пески мелкие, со строительным мусором, малой степени водонасыщения, при промерзании - сыпучемерзлые (ИГЭ-1; $W=0,03$ д.ед., $Sr=0,12$ д.ед, $P=1,62$ т/м³, $Ps=2,65$ т/м³, $Kф=9,12$ м/сут).

Пески мелкие, малой степени водонасыщения, средней плотности сложения, при промерзании - сыпучемерзлые (ИГЭ-2; $W=0,03$ д. ед., $Sr=0,12$ д.ед, $P=1,62$ т/м³, $Ps=2,65$ т/м³, $Kф=8,98$ м/сут).

В соответствии п.п 6.8.8 СП 22.13330.2016 грунты слоя сезонного промерзания, представленные песками мелкими (ИГЭ-1,2) при показателе дисперсности $D=0,56$ ($D<1$) относятся к непучинистым.

В соответствии п.п 6.8.2 и табл. 6.12 СП 22.13330.2016, а также табл. 7.8 СП 25.13330.2012 грунты слоя сезонного промерзания, относящиеся к техногенным грунтам и пескам мелким (ИГЭ-1,2; $Sr=0,12$ д. ед), к пучинистым не относятся.

Температура начала замерзания незасоленных песчаных грунтов по СП 25.13330.2012 актуализированная редакция СНиП 2.02.04 – 88 (прил.Б, табл.Б.1) для песков мелких составляет – минус 0,10°C.

Массивы талых грунтов представлены песками мелкими и средней крупности.

Пески мелкие, малой степени водонасыщения, средней плотности сложения (ИГЭ-2 $W=0,03$ д. ед., $Sr=0,12$ д.ед, $P=1,62$ т/м³, $Ps=2,65$ т/м³, $Kф=8,98$ м/сут).

Пески средней крупности, средней плотности сложения, средней степени водонасыщения (ИГЭ-4; $W=0,14$ д. ед., $Sr=0,57$ д.ед, $P=1,83$ т/м³, $Ps=2,65$ т/м³, $Kф=13,22$ м/сут).

Песок средней крупности, средней плотности, водонасыщенный (ИГЭ-5; $W=0,22$ д.ед. $Sr=0,90$ д.ед, $P=1,96$ т/м³, $Ps=2,65$ т/м³, $Kф=13,72$ м/сут).

Плотность сложения талых песчаных грунтов приведена по данным статического зондирования (текстовое приложение С).

По результатам лабораторных определений грунты площадки изысканий относятся к незасоленным (текстовое приложение Ф).

В соответствии СП 11-105-97, часть IV (приложение Б) выявленные инженерно-геокриологические условия изучаемой площадки относятся к I (простой) категории сложности.

Инв. № подп.	Подпись и дата	Взам. инв. №

Изм.	Кол.	Лист	№	Подп.	Дата

05/08-2019 ПР-РР1

Лист

4

Сведения о гидрогеологических условиях земельного участка.

В пределах изучаемого здания функционирует надмерзлотный водоносный горизонт, приуроченный к многолетним таликам. На момент бурения уровень водоносного горизонта зафиксирован на глубинах 9,0 – 9,8 м. Грунтовые воды являются круглогодично действующими, безнапорными, свободная поверхность водоносного горизонта находится на абсолютных отметках 45,77 - 46,80 м. Водоупором для водоносного горизонта являются многолетнемерзлые грунты, залегающие ниже 20,0 м.

Максимальное положение уровня грунтовых вод, с учетом годового колебания, может быть выше вскрытого на 1,0 – 1,5 м.

Водовмещающими являются пески средней крупности (ИГЭ-4; Кф=13,72 м/сут. - относятся к сильноводопроницаемым). Питание подземные воды получают за счет инфильтрации талых и дождевых вод, разгрузка осуществляется за пределами площадки.

В соответствии СП 11-105-97, часть 2 приложение И площадка строительства (при плитном фундаменте) не подвержена процессам, связанным с подтоплением, и классифицируется как неподтопляемая в естественных условиях (III-A); подтопление отсутствует и не прогнозируется в будущем (III-A-1). Грунтовые воды не взаимодействуют с подземной частью фундамента.

В соответствии СП 22.13330.2016 (п. 5.4.8) и СП 47.13330.2012 (п.6.7.2.12) площадка изысканий с глубиной залегания грунтовых вод на уровне 9,0-9,8 м (более 3 м) не относится к подтопляемым территориям (в том числе - с учетом годового подъема на 1,0 -1,5 м).

Физико-механические свойства грунтов.

По результатам анализа литологического разреза и данных лабораторных исследований характеристик грунтов, в пределах площадки изысканий выделяются 4 инженерно-геологических элемента (ИГЭ):

ИГЭ - 1 - СМС (вскрытая мощность – 0,5 м) – техногенный грунт-естественно техногенно измененный песок мелкий, со строительным мусором малой степени водонасыщения, при промерзании – сыпучемерзлый ($W=0,03$ д.ед., $P=1,62$ т/м³, $Ps= 2,65$ т/м³, $Sr=0,12$ доли ед., Кф=9,12 м/сут.). Категория разработки грунта по ГЭСН-81-02-01-2017 – 29а/56;

ИГЭ - 2 - СМС, ТГ (вскрытая мощность – 6,9-8,0 м) – песок мелкий, средней плотности сложения, малой степени водонасыщения, при промерзании – сыпучемерзлый ($W=0,03$ д.ед., $P=1,62$ т/м³, $Ps= 2,65$ т/м³, $Sr=0,12$ доли ед., $e=0,68$ доли ед., $C=2$ кПа, $\phi=34^\circ$, $E=26,6$ МПа, Кф=8,98 м/сут). Категория разработки грунта по ГЭСН-81-02-01-2017 – 29а/56;

ИГЭ - 3 - ТГ (вскрытая мощность – 1,0-2,4 м) – песок средней крупности, средней плотности, средней степени водонасыщения ($W=0,14$ доли ед., $e=0,65$ доли ед., $Sr=0,57$ доли ед.,

Инв. № подп.	Подпись и дата	Взам. инв. №

Изм.	Кол.	Лист	№	Подп.	Дата

05/08-2019 ПР-РР1

Лист

5

$P=1,83 \text{ т}/\text{м}^3$, $Ps=2,65 \text{ т}/\text{м}^3$, $C=1 \text{ кПа}$, $\phi=35^\circ$, $E=32,6 \text{ МПа}$, $Kf=13,22 \text{ м}/\text{сут}$). Категория разработки грунта по ГЭСН-81-02-01-2017 – 29а;

ИГЭ - 4 - ТГ (вскрытая мощность – 10,2-11,0 м) – песок средней крупности, средней плотности сложения, водонасыщенный ($W=0,22$ доли ед., $e=0,65$ доли ед., $Sr=0,90$ доли ед., $P=1,96 \text{ т}/\text{м}^3$, $Ps=2,65 \text{ т}/\text{м}^3$, $C=1 \text{ кПа}$, $\phi=35^\circ$, $E=34,1 \text{ МПа}$, $Kf=13,72 \text{ м}/\text{сут}$). Категория разработки грунта по ГЭСН-81-02-01-2017 – 29а.

Геологические, инженерно-геологические и криогенные процессы.

Все близлежащие здания и сооружения (отапливаемые) построены по II принципу СП 25.13330.2012 актуализированная редакция СНиП 2.02.04-88 - с использованием грунтов основания в оттаянных, оттаивающих и талых грунтах. Деформаций в пределах близлежащей застройки не зафиксировано.

По карте сейсмического районирования СП 14.13330.2018 - Свод правил. Строительство в сейсмических районах. Актуализированная редакция СНиП II-7-81* район проведения изысканий соответствует зоне проявлений сейсмической интенсивности 5 баллов.

В соответствии СП 116.13330.2012 "Инженерная защита территорий, зданий и сооружений от опасных геологических процессов. Основные положения". Актуализированная редакция СНиП 22-02-2003 (прил. Г) район выполнения инженерно-геологических изысканий относится к некарстовому району.

Литология грунтов слоя сезонного промерзания представлена техногенными грунтами (ИГЭ-1) и аллювиальными песками мелкими (ИГЭ-2).

В соответствии п.п 6.8.8 СП 22.13330.2016 грунты слоя сезонного промерзания (пески мелкие (ИГЭ-1,2) при показателе дисперсности $D=0,56$ ($D<1$) относятся к непучинистым.

В соответствии п.п. 6.8.2 и табл. 6.12 СП 22.13330.2016, а также табл. 7.8 СП 25.1330.2012 грунты слоя сезонного промерзания, относящиеся к пескам мелким (ИГЭ-1,2, $Sr=0,12$ д. ед.), к пучинистым не относятся.

В соответствии СП 11-105-97, часть II (приложение И) при использовании плитного типа фундамента, район изысканий является неподтопляемым и классифицируется как неподтопляемый в силу геологических, гидрогеологических, топографических и других естественных причин (III-A). Подтопление отсутствует и не прогнозируется в будущем (III-A-1).

Инв. № подп.	Подпись и дата	Взам. инв. №

Изм.	Кол.	Лист	№	Подп.	Дата

05/08-2019 ПР-РР1

Лист

6

НОРМАТИВНЫЕ И РАСЧЕТНЫЕ ХАРАКТЕРИСТИКИ ФИЗИКО-МЕХАНИЧЕСКИХ СВОЙСТВ ГРУНТОВ

	ИГЭ	ИГЭ-2	ИГЭ-3	ИГЭ-4
НОРМАТИВНЫЕ ХАРАКТЕРИСТИКИ ПРИ ДОВЕРИТЕЛЬНОЙ ВЕРОЯТНОСТИ $\alpha=0,85$	R_n , т/м ³	1,62	1,83	1,96
	C_n , кПа	2	1	1
	ϕ_n , град	34	35	35
	E_n , МПа	26,6	32,6	34,1
ПРИ $\alpha=0,95$	γ , кН/м ³	15,88	17,93	19,21
	R_p , т/м ³	1,62	1,83	1,96
	C_p , кПа	2	1	1
	ϕ_p , град	33	33	34
ПРИ $\alpha=0,95$	E_p , МПа	26,6	32,6	34,1
	γ , кН/м ³	15,88	17,93	19,21
	R_i , т/м ³	1,62	1,83	1,96
	C_i , кПа	1	1	1
	ϕ_i , град	32	32	34
	E_i , МПа	26,6	32,6	34,1

R , т/м³- плотность грунта;

γ , кН/м³- удельный вес грунта;

E , МПа - модуль деформации;

ϕ , град - угол внутреннего трения;

C , кПа- удельное сцепление;

Примечания:

- значения C для ИГЭ-2,3,4 приведены по таб.1, прил. А1 СП 22.13330.2016
- значения ϕ , E приведены по данным статического зондирования.

Инв. № подл.	Полпись и дата	Взам. инв. №

Изм.	Кол.	Лист	№	Подп.	Дата

1.2 Конструктивные решения

Конструктивная схема здания – рамный сборно-монолитный каркас с диафрагмами жесткости в продольном и поперечном направлении. Основными конструктивными элементами здания являются: плитный фундамент, сборные железобетонные колонны, сборно-монолитные ригели и сборные плиты перекрытия.

Узлы сопряжения элементов каркаса (колонн и ригелей) – жесткие. Соединение колонн с фундаментной плитой - жесткое. Опорение пустотных плит на ригели шарнирное.

В проекте приняты следующие конструктивные решения:

Фундаменты – монолитная железобетонная плита толщиной 600 мм из бетона класса В25 (ГОСТ 26633-2012).

Колонны – сборные железобетонные сечением 250×400, 250×500 из бетона класса В40 многоярусные на несколько этажей с пределом огнестойкости R120, защитный слой до центра рабочей арматуры 50-55 мм в зависимости от ее диаметра согласно таблице 21 №123-ФЗ. Длина колонн определяется возможностями транспортировки и монтажа.

В местах примыкания ригелей и перекрытия колонны имеют участки оголенной арматуры для пропуска арматуры ригелей.

Жесткость данного узла железобетонной колонны при транспортировке и монтаже обеспечивается установкой арматурных крестовых связей между продольными арматурными стержнями.

После установки колонны в проектное положение крестовые связи не принимают участия в работе каркаса и могут быть удалены, если создают помехи для пропуска дополнительных арматурных стержней монолитной зоны ригеля.

Стык колонн по вертикали осуществляется путем введения арматурных выпусков вышестоящей колонны в каналы нижестоящей («штепсельный» стык), каналы заполняются безусадочной быстротвердеющей сухой бетонной смесью (либо аналог).

Колонны армируются пространственными каркасами из арматурных рабочих стержней диаметрами 18÷36 мм класса А500С по ГОСТ Р 52544-2006 в зависимости от нагрузок в соответствии с расчетом.

Ригели - железобетонные сборно - монолитные, состоящие из двух частей. Нижняя часть ригеля - сборная предварительно напряженная сечением 250x300(h) из бетона класса В30, армированная семипроволочными арматурными канатами Ø12 К-7. Предел огнестойкости ригелей R120, расстояние до оси рабочей арматуры не менее 55 мм согласно таблице 21 №123-ФЗ. Верхняя часть – монолитная из бетона кл. В30 толщиной 220 мм образуется после монтажа плит перекрытия и установки верхней арматуры ригеля. Совместная работа нижней сборной и верхней монолитной части ригеля обеспечивается силами трения и анкеровкой выступающих хомутов сборного ригеля в монолитную верхнюю часть. После омоноличивания ригель представляет собой ребро перекрытия высотой 520 мм.

В торцах сборного элемента ригеля выполняются выемки для установки арматурных стержней (нижнее узловое армирование), которые после установки ригеля в проектное положение заполняются мелкофракционным бетоном В40 совместно с полостью колонны. Это является первым этапом бетонирования стыка ригеля с колонной, которым достигается только фиксация ригеля в проектном положении. Второй этап выполняется после монтажа плит перекрытия на ригель. После установки верхних дополнительных арматурных узловых

Инв. № подл.	Подпись и дата	Взам. инв. №

Изм.	Кол.	Лист	№	Подп.	Дата

стержней, пропущенных сквозь тело колонны и через выступающие хомуты сборной части ригеля, производится омоноличивание верхней части сборно-монолитного ригеля.

Верхние дополнительные узловые стержни, располагаемые в монолитном слое ригеля, являются его верхней рабочей арматурой, обеспечивающей неразрезность работы ригеля. Количество и диаметр дополнительных арматурных стержней устанавливаются расчетом в зависимости от нагрузки и пролета ригеля. В пролетной части ригеля в верхней зоне устанавливается конструктивная арматура. Омоноличивание узлов сопряжения колонн с ригелями производится тяжелым бетоном кл. В40 на мелких заполнителях (фракции 5-10 мм).

Стыки ригелей и колонн после замоноличивания становятся жесткими.

Перед бетонированием узлов сопряжения ригелей с колоннами и в период твердения бетона ригели подпираются временными инвентарными опорами, которые обеспечивают восприятие монтажных нагрузок и нагрузок от свежеуложенного бетона.

Перекрытия - выполнено из сборных железобетонных многопустотных предварительно напряженных плит перекрытия шириной 1200, 1500мм, высотой сечения 220 мм.

В связи с отсутствием на боковых поверхностях плит прерывистых шпонок необходимо тщательно уплотнить бетонную смесь в стыках и швах.

Плиты перекрытий имеют предел огнестойкости REI 60 в соответствии с СТО 36554501-006-2006 и могут применяться в зданиях и сооружениях I степени огнестойкости.

Инв. № подл.	Полпись и дата	Взам. инв. №

Изм.	Кол.	Лист	№	Подп.	Дата

05/08-2019 ПР-РР1

Лист

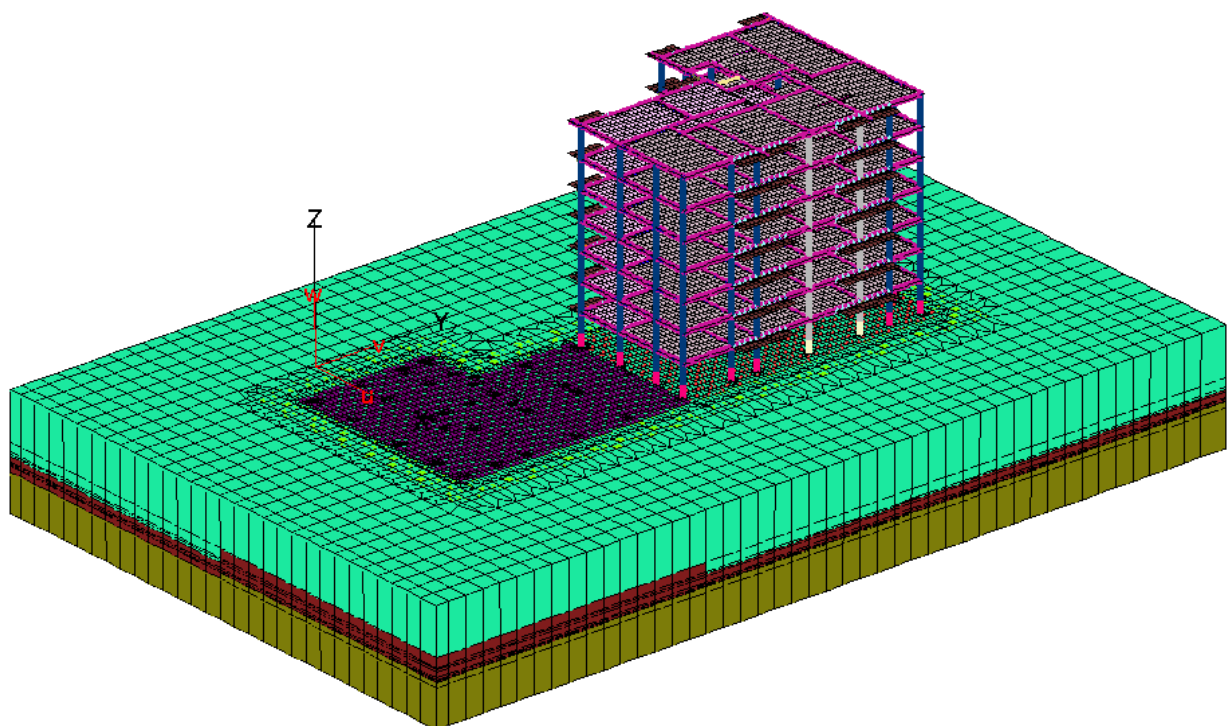
9

1.3 Пояснение к расчёту

Статические расчеты каркаса здания и его конструктивных элементов были выполнены методом конечных элементов на программном комплексе «ING+» (сертификат соответствия №RA.RU.АБ86.Н01019), предназначенного для расчета пространственных конструкций на прочность, устойчивость и колебания по 1-ой, и 2-ой группам предельных состояний.

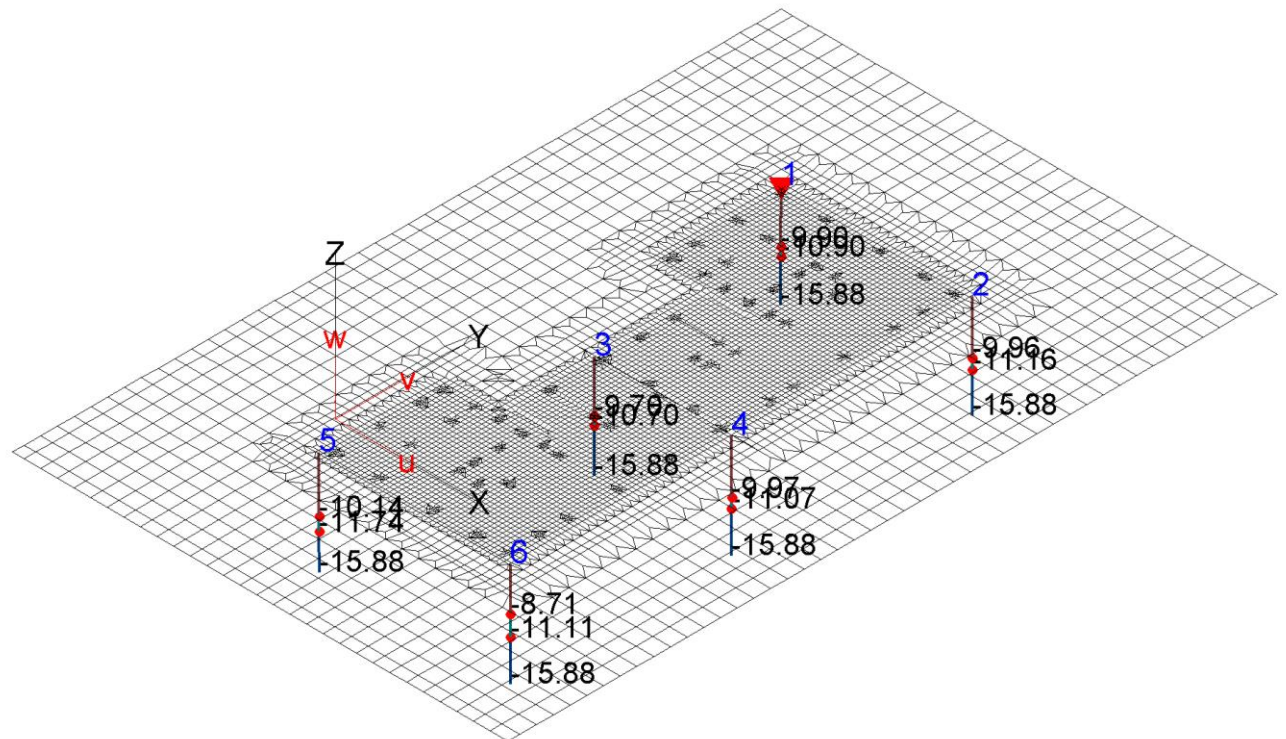
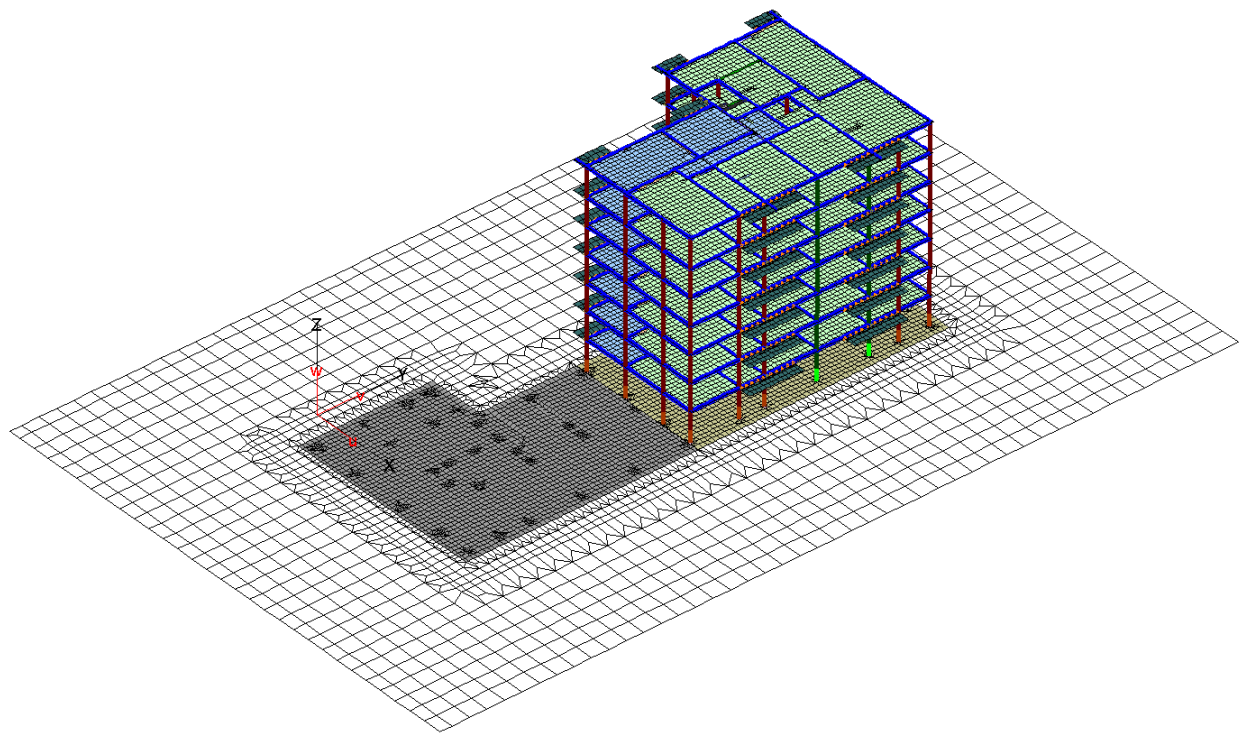
Пространственная расчетная модель собрана путем графического интерактивного ввода несущих конструкций с автоматической генерацией конечно-элементной сети (узлы, элементы). Модель содержит сведения о сечениях элементов, материалах, краевых условиях, нагрузках и учитывает совместную работу каркаса, фундамента и основания. Узлы сопряжения элементов каркаса (колонн и ригелей) жесткие. Соединение колонн и свай с ростверком жесткое. В расчетной модели задано грунтовое слоистое основание из объемных элементов. Модель учитывает различные свойства грунтов по слоям.

Опирание пустотных плит на ригели шарнирное, моделируются ортотропным материалом. Для моделирования конструкций использованы пространственные стержневые конечные элементы, треугольные и четырехугольные гибридные оболочечные конечные элементы.



Инв. № подл.	Полпись и дата	Взам. инв. №

Изм.	Кол.	Лист	№	Подп.	Дата



Инв. № подл.	Полпись и дата	Взам. инв. №			
Изм.	Кол.	Лист	№	Подп.	Дата

05/08-2019 ПР-ПР1

Лист

11

Таблица грунтов

Таблица грунтов типа Кулона-Мора

№	Имя	E кН/м ²	v	C кН/м ²	ϕ	α м ² /кН	γрад.	ψ	ρ т/м ³
1	2	26600.	0.30	2.00	33.00	0.00	0.00	0.00	1.62
2	3	32600.	0.30	1.00	33.00	0.00	0.00	0.00	1.83
3	4	34100.	0.30	1.00	34.00	0.00	0.00	0.00	1.96

Е - модель деформации грунта

ν - коэффициент Пуассона

С - коэффициент сцепления

ϕ - угол внутреннего трения

α - параметр всестороннего сжатия

ψ - угол дилатации

σ - параметр упрочнения (преконсолидационное давление)

γ - константа, входящая в закон объемного упрочнения

Rt - нормативное сопротивление растяжению

Rc - нормативное сопротивление сжатию

ρ - плотность грунта

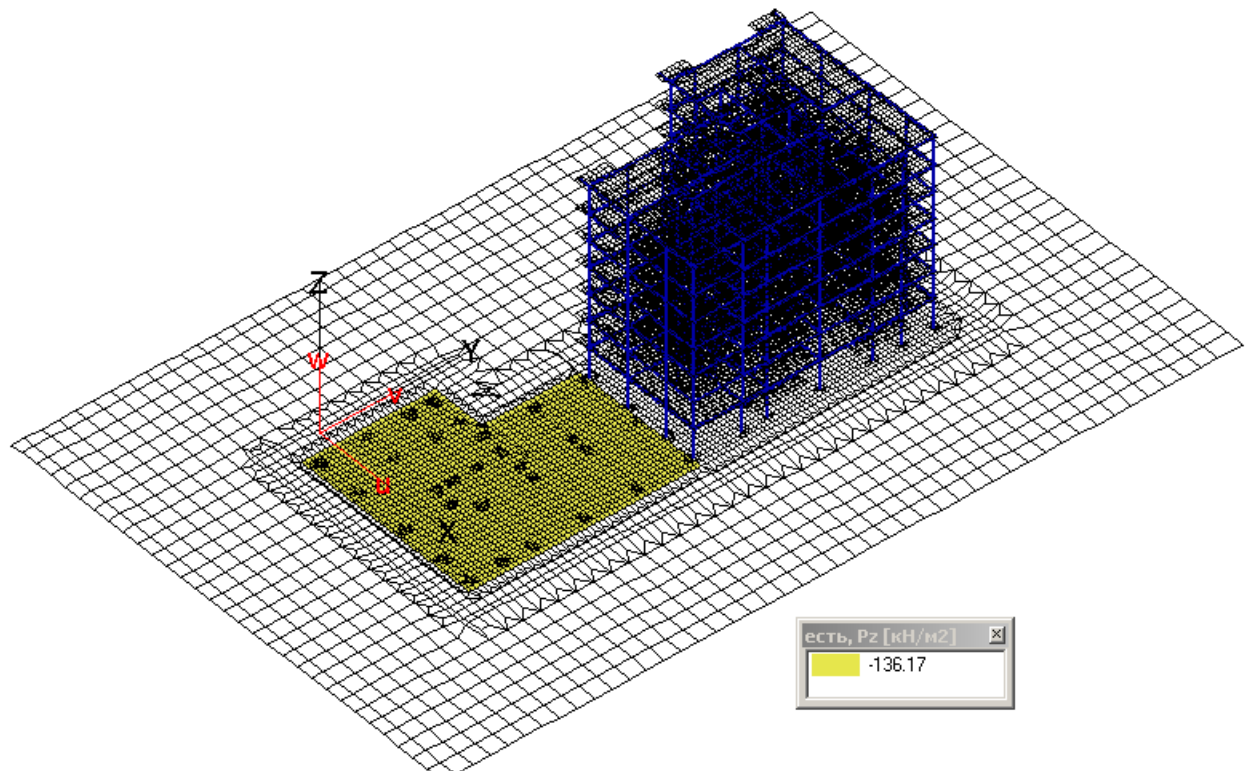
E_{xx}, E_{yy}, E_{zz} - модуль упругости

N_{xy}, N_{yz}, N_{zx} - коэффициент Пуассона

G_{xy}, G_{yz}, G_{zx} - модуль сдвига

Границные условия – слоистое грунтовое основание (задается посредством скважин), представленное массивом грунта, ограниченным величиной сжимаемой толщи, характеристики которого соответствуют данным инженерно-геологических испытаний. Между плитой основания и массивом грунта сформированы нелинейные связи (для учета односторонней работы и ограничения по давлению на грунт).

Учет влияния соседней секции:



Инв. № подл.	Полпись и дата	Взам. инв. №

Изм.	Кол.	Лист	№	Подп.	Дата

Пояснение к расчету оболочек (перекрытия, стен):

Оболочка:

S_r – мембранные напряжения в "r"-направлении;
 S_s – мембранные напряжения в "s"-направлении;
 S_{rs} – мембранные сдвиговые напряжения;
 M_r – изгибающий момент M_r (создает напряжения в "r"-направлении);
 M_s – изгибающий момент M_s (создает напряжения в "s"-направлении);
 M_{rs} – крутящий момент;
 Q_r – поперечная сила на площадке, перпендикулярной оси "r";
 Q_s – поперечная сила на площадке, перпендикулярной оси "s".

Правило знаков для усилий

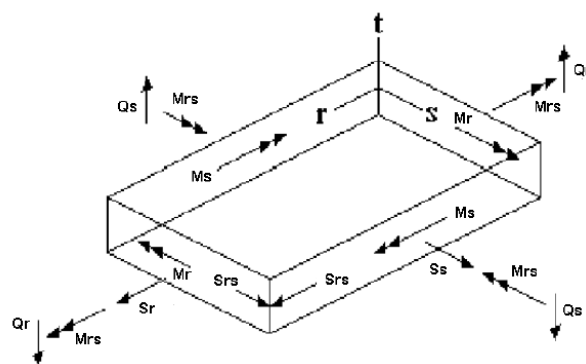


Рис. 1.2.1 Правило знаков для усилий в оболочках

Усилия выводятся в локальной системе координат $r-s-t$. Положительные значения S_r и S_s соответствуют растяжению, отрицательные – сжатию. Положительный момент M_r вызывает на нижней стороне оболочки растягивающие усилия в направлении оси r . Положительный момент M_s вызывает на нижней стороне оболочки растягивающие усилия в направлении оси s . Нижняя сторона оболочки находится по отрицательному направлению оси t .

Усилия в стержнях

Пояснение к расчету 3D-балок:

Стержень: N – продольная сила;

Q_t – поперечная сила;
 Q_s – поперечная сила;
 M_t – изгибающий момент;
 M_s – изгибающий момент;
 M_r – изгибающий момент;
 M_{rs} – крутящий момент;

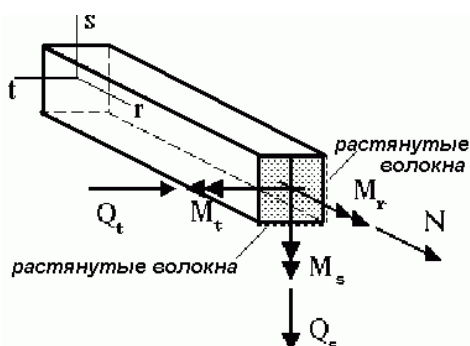
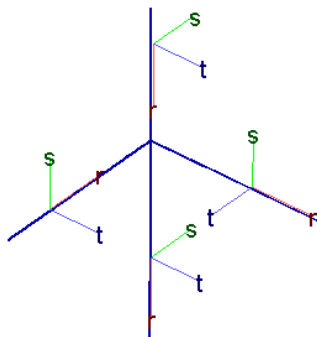


Рис. 1.2.2 Правило знаков для усилий в стержнях

Характеристики сечений связаны с локальной системой координат элемента ($r-s-t$). По умолчанию эта система координат определяется следующим образом. Начало локальной системы координат располагается в первом узле элемента и ось "r" направлена от первого узла ко второму узлу элемента. Оси "s" и "t" в зависимости от положения элемента в пространстве.

Инв. № подл.	Полпись и дата	Взам. инв. №
--------------	----------------	--------------

Изм.	Кол.	Лист	№	Подп.	Дата
------	------	------	---	-------	------

1.4 Расчётные характеристики материалов

Колонны :

бетон класса В40 ГОСТ 26633-91*;
модуль упругости $E_b^0=3,60\times10^7$ кН/м²;
коэффициент Пуассона $\mu=0.2$

Ригеля :

бетон класса В30 ГОСТ 26633-91*;
модуль упругости $E_b^0=3,25\times10^7$ кН/м²;
коэффициент Пуассона $\mu=0.2$

Перекрытия:

бетон класса В30 ГОСТ 26633-91*;
модуль упругости $E_b^0=3,25\times10^7$ кН/м²;
коэффициент Пуассона $\mu=0.2$

Фундамент :

бетон класса В25 ГОСТ 26633-91;
модуль упругости $E_b^0=3,00\times10^7$ кН/м²;
коэффициент Пуассона $\mu=0.2$

Нормативный объёмный вес бетона $\gamma_0^H=2500$ кг/м³.

Арматура для всех конструкций:

рабочая класса А-400, А-500С ГОСТ Р 52544-2006,
распределительная класса А-400 ГОСТ Р 52544-2006.
модуль упругости $E_s=2\times10^8$ кН/м²;

Инв. № подл.	Полпись и дата	Взам. инв. №

Изм.	Кол.	Лист	№	Подп.	Дата

Сводная таблица материалов

№	Имя материала	Тип	Профиль	Цвет
1	Ф 600 В25	Изотропный		
2	ФК 600 В25	Изотропный		
3	грунт	Изотропный		
4	25 кирп	Изотропный		
5	К 52 В40	Изотропный		
6	МУ 22	Изотропный		
7	БПЛ 16 В25	Изотропный		
8	ЛМ 20	Изотропный		
9	К 25x40 В40	Профиль		
10	ПК 35x50 В25	Профиль		
11	Р 25x30+22 В30	Параметрич. профиль		
12	ЛБ 25x35 В20	Профиль		
13	ЖС 25x16 В25	Профиль		
14	ЖС 30x16 В25	Профиль		
15	ЖС 20x16 В25	Профиль		
16	р-х	Ортотропный		
17	р-у	Ортотропный		
18	П 22-0	Ортотропный		
19	П 22-90	Ортотропный		
20	ИГЭ-2	Изотропный		
21	ФС 600	Изотропный		
22	К 25x50 В40	Профиль		
23	ПК 35x60 В25	Профиль		

Инв. № подл.	Полпись и дата	Взам. инв. №

Изм.	Кол.	Лист	№	Подп.	Дата

Балки
Профили
Геометрические характеристики

№	Сечение	d	A	Is	It	As	At
9	Прям.400x250	0	0.10000	0.00133	5.21e-4	0.08333	0.08333
10	Прям.500x350	0	0.17500	0.00364	0.00178	0.14583	0.14583
12	Прям.250x350	0	0.08750	4.56e-4	8.93e-4	0.07291	0.07291
13	Прям.250x160	0	0.04000	2.08e-4	8.53e-5	0.03333	0.03333
14	Прям.300x160	0	0.04800	3.60e-4	1.02e-4	0.04000	0.04000
15	Прям.200x160	0	0.03200	1.07e-4	6.83e-5	0.02666	0.02666
22	Прям.500x250	0	0.12500	0.00260	6.51e-4	0.10416	0.10416
23	Прям.600x350	0	0.21000	0.00630	0.00214	0.17500	0.17500

Физические характеристики

№	E	G	ρ	Kρ	Cm	Ck
9	3.60e+7	1.50e+7	2.75	0.91	0.00	0.00
10	3.00e+7	1.25e+7	2.75	0.00	0.00	0.00
12	2.75e+7	1.15e+7	2.75	0.91	0.00	0.00
13	3.00e+7	1.25e+7	2.75	0.91	0.00	0.00
14	3.00e+7	1.25e+7	2.75	0.91	0.00	0.00
15	3.00e+7	1.25e+7	2.75	0.91	0.00	0.00
22	3.60e+7	1.50e+7	2.75	0.91	0.00	0.00
23	3.00e+7	1.25e+7	2.75	0.00	0.00	0.00

d - расстояние между профилями

A - площадь поперечного сечения

Is - момент инерции относительно оси s

It - момент инерции относительно оси t

As - сдвиговая площадь относительно оси s

At - сдвиговая площадь относительно оси t

E - модуль упругости

G - модуль сдвига

ρ - плотность

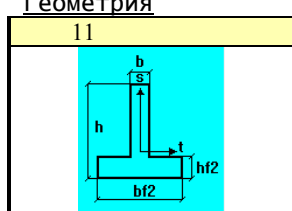
Kρ- множитель для плотности материала

Cm - коэффициент демпфирования для массы

Ck - коэффициент демпфирования для жесткости

Параметрические профили

Геометрия



№	b	h	bf1	hf1	bf2	hf2	B	H	D	d	Угол
11	MM 120	MM 520	MM 250	MM 300					MM 0	MM 0	град 0

Геометрические характеристики

№	A	Is	It	As	At
11	m^2 0.10140	m^4 4.22e-4	m^4 0.00198	m^2 0.07793	m^2 0.07487

Физические характеристики

№	E	G	ρ	Kρ	Cm	Ck
11	кПа 3.25e+7	кПа 1.35e+7	t/m^3 2.75	0.91	0.00	0.00

A - площадь поперечного сечения

Is - момент инерции относительно оси s

It - момент инерции относительно оси t

As - сдвиговая площадь относительно оси s

At - сдвиговая площадь относительно оси t

Инв. № подл.	Полпись и дата	Взам. инв. №

Лист

16

05/08-2019 ПР-PP1

E - модуль упругости

G - модуль сдвига

ρ - плотность

$K\rho$ - множитель для плотности материала

Cm - коэффициент демпфирования для массы

Ck - коэффициент демпфирования для жесткости

Оболочки и 3D-элементы

Изотропные материалы

Основные характеристики

№	Толщ.	E	v	ρ	$K\rho$
1	600	3.00e+7	0.20	2.75	0.00
2	600	3.00e+7	0.20	2.75	0.00
3	10	2.66e+4	0.30	264.06	0.00
4	250	2.04e+6	0.25	2.20	0.91
5	520	3.60e+7	0.20	0.01	0.91
6	220	3.00e+7	0.20	2.75	0.91
7	160	3.00e+7	0.20	2.75	0.91
8	200	2.75e+7	0.20	2.75	0.91
20	0	1.80e+4	0.30	0.00	0.00
21	600	3.00e+7	0.20	0.00	0.00

Дополнительные характеристики

№	fss	fdp	fSb	fP1	fsp	Cm	Ck
1	0.00	0.00	0.00	0.00	0	0.00	0.00
2	0.00	0.00	0.00	0.00	0	0.00	0.00
3	0.00	0.00	0.00	0.00	0	0.00	0.00
4	0.98	0.98	0.00	0.98	0	0.00	0.00
5	0.00	0.00	0.00	0.00	0	0.00	0.00
6	0.00	0.00	0.00	0.00	0	0.00	0.00
7	0.00	0.00	0.00	0.00	0	0.00	0.00
8	0.00	0.00	0.00	0.00	0	0.00	0.00
20	0.00	0.00	0.00	0.00	0	0.00	0.00
21	0.00	0.00	0.00	0.00	0	0.00	0.00

E - модуль упругости

v- коэффициент Пуассона

ρ - плотность

$K\rho$ - множитель для плотности материала

fss - коэф. уменьшения сдвиг. жесткости балки-стенки

fdp - коэф. уменьшения крутящейся жесткости плиты

fSb - коэф. уменьшения обычной жесткости балки-стенки

fP1 - коэф. уменьшения изгибной жесткости плиты

fsp - коэф. уменьшения сдвиг. жесткости толстой плиты

Cm - коэффициент демпфирования для массы

Ck - коэффициент демпфирования для жесткости

Ортотропные материалы

Основные характеристики

№	Толщ.	E1	E2	v1	v2	α	ρ	$K\rho$
16	220	1.47e+7	1.47e+2	0.20	0.00	90.00	1.38	0.91
17	220	1.47e+7	1.47e+2	0.20	0.00	0.00	1.38	0.91
18	220	3.25e+6	3.25e+3	0.20	0.00	0.00	1.50	0.91
19	220	3.25e+6	3.25e+3	0.20	0.00	90.00	1.50	0.91

Дополнительные характеристики

№	fss	fdp	fSb	fP1	fsp	Cm	Ck
16	0.00	0.00	0.00	0.00	0	0.00	0.00
17	0.00	0.00	0.00	0.00	0	0.00	0.00
18	0.00	0.00	0.00	0.00	0	0.00	0.00
19	0.00	0.00	0.00	0.00	0	0.00	0.00

Инв. № подл.	Поллпись и дата	Взам. инв. №

05/08-2019 ПР-PP1

Лист

17

Изм. Кол. Лист № Подп. Дата

E1 - модуль упругости по направлению '1'
 E2 - модуль упругости по направлению '2'
 ν_1 - коэффициент Пуассона по направлению '1'
 ν_2 - коэффициент Пуассона по направлению '2'
 α - угол между осью 't' элемента и 1-м направлением ортотропии
 ρ - плотность
 $K\rho$ - множитель для плотности материала
 fss - коэф. уменьшения сдвиг. жесткости балки-стенки
 fdp - коэф. уменьшения крутящейся жесткости плиты
 fSb - коэф. уменьшения обычной жесткости балки-стенки
 fP1 - коэф. уменьшения изгибной жесткости плиты
 fsp - коэф. уменьшения сдвиг. жесткости толстой плиты
 Cm - коэффициент демпфирования для массы
 Ck - коэффициент демпфирования для жесткости

Инв. № подл.	Полпись и дата	Взам. инв. №

Изм.	Кол.	Лист	№	Подп.	Дата

05/08-2019 ПР-PP1

Лист
18

1.5 Сбор нагрузок

Временные расчётные нагрузки на перекрытия принималась согласно СНиП 2.01.07-85* “Нагрузки и воздействия” (СП 20.13330.2016) (табл. 8.3).

для лоджий – 2.40 кПа, 4.8 – на ширине 0.8м вдоль ограждения балкона;

для жилых помещений – 1.95 кПа;

для лестничных площадок и коридоров – 3.60 кПа;

помещения общественного назначения – 6.00 кПа.

Ветровые нагрузки принимались согласно СНиП 2.01.07-85* “Нагрузки и воздействия” (СП 20.13330.2016) (III ветровой район по карте 2, обязательного приложения Е):

Нормативное значение ветрового давления – 0.38 кПа;

Коэффициент надёжности по нагрузке - 1.4;

Расчётное значение ветрового давления – 0.532 кПа..

Аэродинамический коэффициент активной составляющей ветрового давления – 0.8, пассивной – 0.5.

В расчете учтены пульсационные составляющие ветровой нагрузки путем создания нескольких дополнительных нагрузжений (при этом каждая группа нагрузжений соответствует нагрузкам от одной из учитываемых форм собственных колебаний).

Снеговые нагрузки принимались согласно СНиП 2.01.07-85* “Нагрузки и воздействия” (СП 20.13330.2016) (V снеговой район по карте 1 обязательного приложения Е);

Нормативное значение веса снегового покрова – 2.5 кПа;

Коэффициент надёжности по нагрузке – 1.4

Расчётное значение веса снегового покрова – 3.5 кПа.

Дополнительная нагрузка от снеговых мешков учтена в соответствии с обязательным приложением Б СНиП 2.01.07-85* (СП 20.13330.2016)

Расчёт производится на РСУ согласно СНиП 2.01.07-85* “Нагрузки и воздействия” (СП 20.13330.2016)

Инв. № подл.	Полпись и дата	Взам. инв. №

Изм.	Кол.	Лист	№	Подп.	Дата

05/08-2019 ПР-РР1

Лист

19

Сбор нагрузок от перекрытия, покрытия, внутренних и наружных стен представлен в таблицах:

Полы

Полы цокольного этажа:

Сбор нагрузок на перекрытие полов цокольного этажа

Материал	Толщина, мм.	Объемный вес, кг/куб.м.	Нормативная, кг/кв.м.	γ_f	Расчетная, кг/кв.м.	Расчетная, кН/кв.м.
Керамогранитная плитка	10	2200	22	1,1	24,2	0,242
Плиточный клей	10	1800	18	1,3	23,4	0,234
Стяжка из цем.-песч. р-ра.	30	1800	54	1,3	70,2	0,702
Пенополистерол	1000	35	35	1,3	45,5	0,455
2 слоя линокром ТПП	4	1000	4	1,3	5,2	0,052
Итого постоянная:			133,00	1,27	168,50	1,69
Временная полезная:			400	1,2	480	4,8
Всего:			533,00		648,50	6,49

Полы нежилых помещений 1-го и типовых этажей

Сбор нагрузок на перекрытие полов коридоров, лестниц

Материал	Толщина, мм.	Объемный вес, кг/куб.м.	Нормативная, кг/кв.м.	γ_f	Расчетная, кг/кв.м.	Расчетная, кН/кв.м.
Керамогранитная плитка	10	2200	22	1,1	24,2	0,242
Плиточный клей	5	1800	9	1,3	11,7	0,117
Стяжка из цем.-песч. р-ра.	45	1800	81	1,3	105,3	1,053
Итого постоянная:			112,00	1,26	141,20	1,41
Временная полезная:			300	1,2	360	3,6
Всего:			412,00		501,20	5,01

Инв. № подл.	Полпись и дата	Взам. инв. №

Изм.	Кол.	Лист	№	Подп.	Дата

05/08-2019 ПР-PP1

Лист

20

**Сбор нагрузок на перекрытие полов
лестничных площадок**

Материал	Толщина, мм.	Объемный вес, кг/куб.м.	Нормативная, кг/кв.м.	γ_f	Расчетная, кг/кв.м.	Расчетная, кН/кв.м.
Керамогранитная плитка	10	2200	22	1,1	24,2	0,242
Плиточный клей	5	1800	9	1,3	11,7	0,117
Стяжка из цем.-песч. р-ра.	25	1800	45	1,3	58,5	0,585
Итого постоянная:		76,00	1,24	94,40	0,94	
Временная полезная:		300	1,2	360	3,6	
Всего:		376,00		454,40		4,54

Полы жилых помещений 1-го, типового этажей:

**Сбор нагрузок на перекрытие полов
жилых комнат, кухонь, коридоров**

Материал	Толщина, мм.	Объемный вес, кг/куб.м.	Нормативная, кг/кв.м.	γ_f	Расчетная, кг/кв.м.	Расчетная, кН/кв.м.
Линолеум на теплозвукоизолирующей подоснове	5	1800	9	1,2	10,8	0,108
Прослойка из kleящей мастики	2	1000	2	1,3	2,6	0,026
Стяжка из цем.-песч. р-ра.	55	1800	99	1,3	128,7	1,287
Итого постоянная:		110,00	1,29	142,10	1,42	
Временная полезная:		150	1,3	195	1,95	
Всего:		260,00		337,10		3,37

**Сбор нагрузок на перекрытие полов
помещений балконов и лоджий**

Материал	Толщина, мм.	Объемный вес, кг/куб.м.	Нормативная, кг/кв.м.	γ_f	Расчетная, кг/кв.м.	Расчетная, кН/кв.м.
Стяжка из ц.п. р-ра	30	1800	54	1,3	70,2	0,702
Итого постоянная:		54,00	1,30	70,20	0,70	
Временная полезная:		200	1,2	240	2,4	
Всего:		254,00		310,20		3,10

Инв. № подл.	Полпись и дата	Взам. инв. №

Изм.	Кол.	Лист	№	Подп.	Дата
------	------	------	---	-------	------

05/08-2019 ПР-PP1

Лист
21

**Сбор нагрузок на перекрытие полов
помещений с/у**

Материал	Толщина, мм.	Объемный вес, кг/куб.м.	Нормативная, кг/кв.м.	γ_f	Расчетная, кг/кв.м.	Расчетная, кН/кв.м.
Керамическая плитка	8	1800	14,4	1,2	17,28	0,173
Плиточный клей	5	1800	9	1,3	11,7	0,117
Стяжка из цем.-песч. р-ра.	37	1800	66,6	1,3	86,58	0,866
Гидроизоляция - линокром	4	1000	4	1,2	4,8	0,048
Итого постоянная:		94,00	1,28	120,36	1,20	
Временная полезная:		150	1,3	195	1,95	
Всего:		244,00		315,36		3,15

Кровля:

Сбор нагрузок на перекрытие кровли

Материал	Толщина, мм.	Объемный вес, кг/куб.м.	Нормативная, кг/кв.м.	γ_f	Расчетная, кг/кв.м.	Расчетная, кН/кв.м.
Техноэласт ЭКП	5	1000	5	1,2	6	0,060
Унифлекс ВЕНТ	4	1000	4	1,2	4,8	0,048
Праймер битумный	2	1000	2	1,3	2,6	0,026
Стяжка из цементно-песчанного р-ра	50	1850	92,5	1,3	120,25	1,203
Плита ЦСП	12	1300	15,6	1,2	18,72	0,187
Разуклонка из керамзита	270	800	216	1,3	280,8	2,808
Рубероид	2	1000	2	1,2	2,4	0,024
Плита теплоизоляционная PIR ТехноНИКОЛЬ	160	35	5,6	1,3	7,28	0,073
Биполь ЭПП	2	1000	2	1,2	2,4	0,024
Итого постоянная:		344,70	1,29	445,25	4,45	
Временная полезная:		250	1,4	350	3,5	
Всего:		594,70		795,25		7,95

Инв. № подл.	Полпись и дата	Взам. инв. №
--------------	----------------	--------------

Изм.	Кол.	Лист	№	Подп.	Дата	Лист
						22

**Сбор нагрузок от межкомнатной перегородки
100 мм перегородочный газобетонный блок**

Материал	Толщина, м	Объемный вес, кг/куб.м.	Нормативная, кг/кв.м.	γ_f	Расчетная, кг/кв.м.	Расчетная, кН/кв.м.
Шпаклевка	0,005	1600	8,00	1,3	10,40	0,10
Газобетонный блок D700 на ц.п. растворе	0,1	900	90,00	1,2	108,00	1,08
Шпаклевка	0,005	1600	8,00	1,3	10,40	0,10

Итого постоянная по площади стены:	106,00	128,80	1,288	
Нагрузка от веса стены (тип. эт.), кг/м:	303,16	1,22	368,37	3,68
Нагрузка от веса стены (6 эт.), кг/м:	326,48	1,22	396,70	3,97

**Сбор нагрузок от перегородки
120 мм керамический кирпич**

Материал	Толщина, м	Объемный вес, кг/куб.м.	Нормативная, кг/кв.м.	γ_f	Расчетная, кг/кв.м.	Расчетная, кН/кв.м.
Штукатурка из ЦПР	0,015	1800	27,00	1,3	35,10	0,35
Керамический кирпич	0,12	1800	216,00	1,1	237,60	2,38
Штукатурка из ЦПР	0,015	1800	27,00	1,3	35,10	0,35

Итого постоянная по площади стены:	270,00	307,80	3,078	
Нагрузка от веса стены (тип. эт.), кг/м:	772,20	1,14	880,31	8,80
Нагрузка от веса стены (6 эт.), кг/м:	831,60	1,14	948,02	9,48

Инв. № подл.	Полпись и дата	Взам. инв. №

Изм.	Кол.	Лист	№	Подп.	Дата	Лист
						26

**Сбор нагрузок от перегородки с/у
120 мм керамический кирпич**

Материал	Толщина, м	Объемный вес, кг/куб.м.	Нормативная, кг/кв.м.	γ_f	Расчетная, кг/кв.м.	Расчетная, кН/кв.м.
Керамическая плитка на kleю	0,015	1800	27,00	1,2	32,40	0,32
Штукатурка из ЦПР	0,015	1800	27,00	1,3	35,10	0,35
Керамический кирпич	0,12	1800	216,00	1,1	237,60	2,38
Штукатурка из ЦПР	0,015	1800	27,00	1,3	35,10	0,35
Керамическая плитка на kleю	0,015	1800	27,00	1,2	32,40	0,32

Итого постоянная по площади стены:	324,00	372,60	3,726	
Нагрузка от веса стены (тип. эт.), кг/м:	926,64	1,15	1065,64	10,66
Нагрузка от веса стены (6 эт.), кг/м:	997,92	1,15	1147,61	11,48
Нагрузка от веса стены (цок. эт.), кг/м:	1020,60	1,15	1173,69	11,74

**Сбор нагрузок от перегородки
250 мм керамический кирпич**

Материал	Толщина, м	Объемный вес, кг/куб.м.	Нормативная, кг/кв.м.	γ_f	Расчетная, кг/кв.м.	Расчетная, кН/кв.м.
Штукатурка из ЦПР	0,015	1800	27,00	1,3	35,10	0,35
Керамический кирпич	0,25	1800	450,00	1,1	495,00	4,95
Штукатурка из ЦПР	0,015	1800	27,00	1,3	35,10	0,35

Итого постоянная по площади стены:	504,00	565,20	5,652	
Нагрузка от веса стены (тип. эт.), кг/м:	1441,44	1,12	1616,47	16,16
Нагрузка от веса стены (6 эт.), кг/м:	1552,32	1,12	1740,82	17,41
Нагрузка от веса стены (цок. эт.), кг/м:	1587,60	1,12	1780,38	17,80

Инв. № подл.	Полпись и дата	Взам. инв. №

Постоянная нагрузка включает в себя собственный вес конструкций каркаса, плит перекрытий, конструкций пола, кровли, наружных и внутренних стен. Собственный вес от расчетных элементов оболочек и с тержней системы программой собирается автоматически при описании материала элементов и характера формы сечений. Объемный вес железобетона принят 2500 кг/м³.

Несущие элементы здания армируются по результатам расчета на прочность, деформативность и трещиностойкость. Конструкции рассчитаны на восприятие вертикальных и ветровых нагрузок. Конструкции проектируются с учетом обеспечения устойчивости. Расчет производится программным комплексом «ING+» (сертификат соответствия № RA.RU.AB86.H01019).

Снеговые мешки.

Возле надстройки выхода на кровлю:

1) Коэффициент μ принимается по схеме Б.14 Приложения Б СНиПа 2.01.07-85* «Нагрузки и воздействия» (СП 20.13330.2016).

$$\mu = \frac{2h}{s_0} = \frac{2 \times 3.39}{2.50} = 2.712, \text{ но не более } 2.0, \text{ при } 5 < (d = 7.8) < 10 \text{ м}$$

Следовательно длина зоны повышенных снегоотложений:

$$b = 2h = 2 \times 3.39 = 6.78 \text{ м}$$

2) Для парапетов высотой $h_1 = 1,17 \text{ м}$, выполняется условие:

$$h = 1.17 < \frac{s_0}{2} = \frac{2.50}{2} = 1.25,$$

$$\mu = 1.$$

Ветровые нагрузки.

Ветровые нагрузки принимались согласно СНиП 2.01.07-85* «Нагрузки и воздействия» (СП 20.13330.2016) (III ветровой район по карте 2, обязательного приложения Е):

Нормативное значение ветрового давления – 0, кПа;

Коэффициент надёжности по нагрузке – 1,4;

Аэродинамический коэффициент активной составляющей ветрового давления – 0,8 пассивной – 0,5.

Ветровая нагрузка прикладывалась к перекрытию в виде узловых нагрузок. Увеличение ветровой нагрузки по высоте определялось по СНиП 2.01.07-85* «Нагрузки и воздействия». В расчёте учитываются пульсационные составляющие ветровой нагрузки (определяются программно).

Инв. № подп.	Подпись и дата	Взам. инв. №

Изм.	Кол.	Лист	№	Подп.	Дата

05/08-2019 ПР-PP1

Лист
29

Давление грунта на стены подвала.

Значения характеристик грунтов засыпки (γ' , ϕ' и c'), уплотненных согласно нормативным документам с коэффициентом уплотнения k_y не менее 0,95 от их плотности в природном сложении принимаем:

$$\gamma'_I = 0,95\gamma_I; \phi'_I = 0,8\phi_I; c'_I = 0,33c_I, \text{ но не более } 7 \text{ кПа.}$$

Интенсивность горизонтального активного давления грунта от собственного веса P_γ , на глубине y :

$$P_\gamma = [\gamma\gamma h\lambda - c(K_1 + K_2)] y/h,$$

где при горизонтальной поверхности засыпки $\rho = 0$, вертикальной стене $\varepsilon = 0$ и отсутствии трения и сцепления со стеной $\delta = 0$, $K_2 = 0$ коэффициент бокового давления грунта λ , коэффициент интенсивности сил сцепления K_1 и угол наклона плоскости скольжения θ_0 определяем по формулам:

$$\left. \begin{array}{l} \lambda = \tan^2 \theta_0 \\ K_1 = 2\sqrt{\lambda}, \\ \theta_0 = 45^\circ - \phi/2. \end{array} \right\}$$

грунт засыпки принимаем ИГЭ-2:

$$\gamma'_I = 0,95\gamma_I = 0,95 \times 16,2 = 15,39 \text{ кН/м}^3;$$

$$\phi'_I = 0,8\phi_I = 0,8 \times 32 = 25,6^\circ;$$

$$c'_I = 0,33c_I = 0,33 \times 1,0 = 0,33 \text{ кПа, принимаем } 7 \text{ кПа};$$

$$\theta_0 = 45^\circ - \phi/2 = 45^\circ - 25,6/2 = 32,2^\circ;$$

$$\lambda = \tan^2 \theta_0 = \tan^2 32,2^\circ = 0,397;$$

$$K_1 = 2\sqrt{\lambda} = 2\sqrt{0,397} = 1,26.$$

$\gamma = 1,1$ для песчанных грунтов.

Интенсивность горизонтального активного давления грунта от собственного веса на глубине подвала

$h=1,63$ м:

$$P_\gamma = [\gamma\gamma h\lambda - c(K_1 + K_2)] y/h = [15,39 \times 1,1 \times 1,63 \times 0,397 - 0,33 \times (1,26 + 0)] \times 1 = 10,539 \text{ кПа.}$$

Интенсивность горизонтального давления грунта от равномерно распределенной нагрузки q , расположенной на поверхности призмы обрушения при сплошном и фиксированном расположении нагрузки определяем по формуле:

$$P_q = q\gamma\lambda = 9,81 \times 1,1 \times 0,397 = 4,284 \text{ кПа.}$$

где $q = 9,81$ кПа.

Суммарная интенсивность горизонтального давления в уровне верха и низа стены подвала:

$h=5,09$ м:

$$\Sigma P_g = P_g^\gamma + P_g^q = 0 + 4,284 = 4,284 \text{ кПа.}$$

$$\Sigma P_h = P_h^\gamma + P_h^q = 10,539 + 4,284 = 14,823 \text{ кПа.}$$

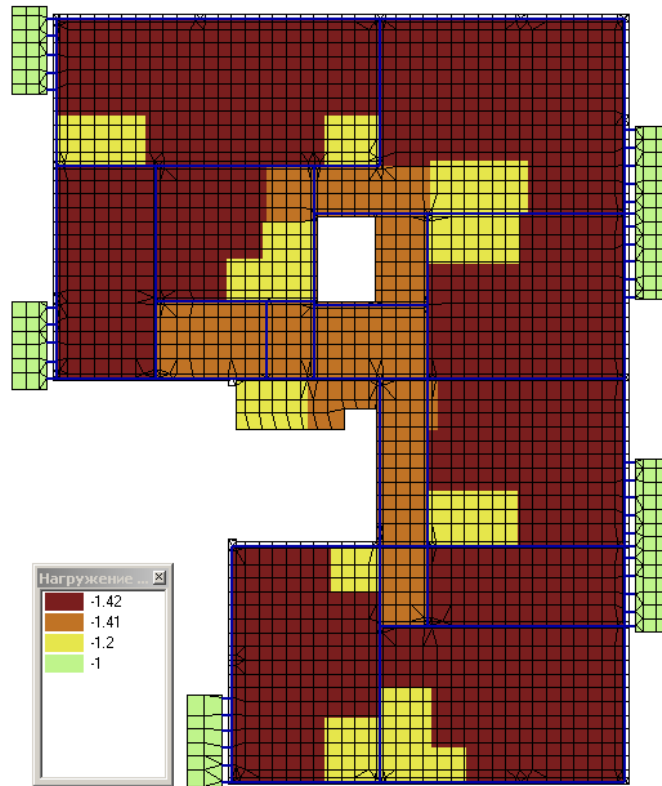
Инв. № подл.	Полпись и дата	Взам. инв. №
--------------	----------------	--------------

Изм.	Кол.	Лист	№	Подп.	Дата
------	------	------	---	-------	------

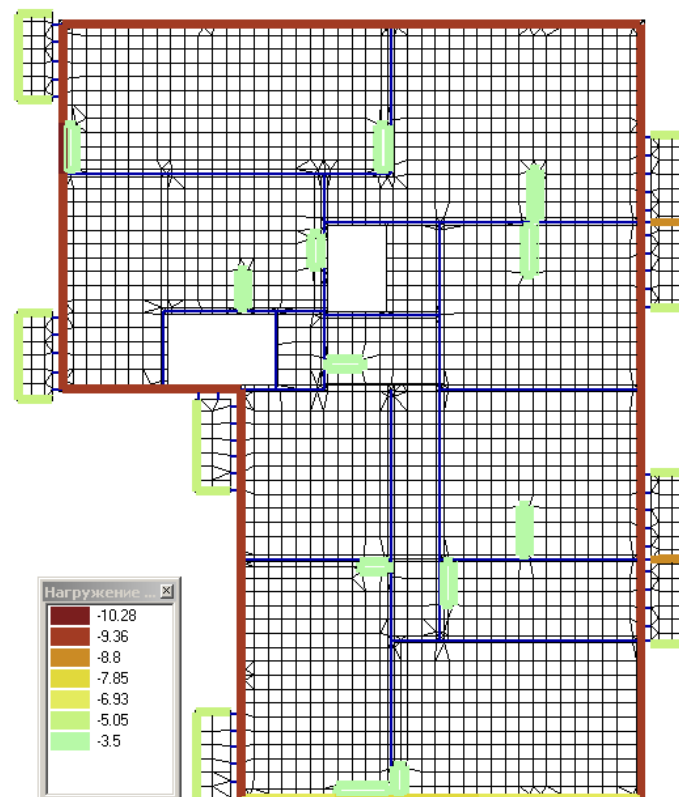
Схема приложения нагрузок на каркас.

Тип. этаж:

Постоянная полы – 2

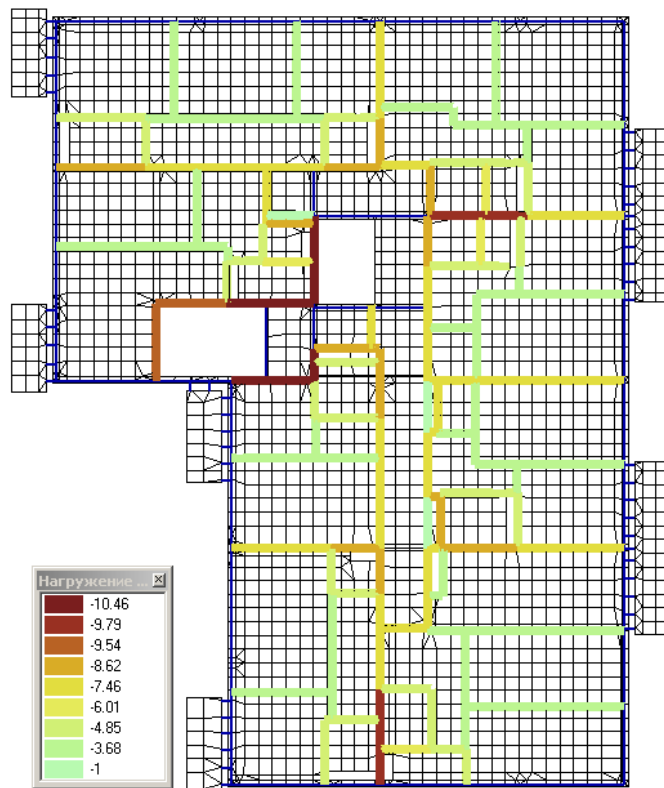


Постоянная наружные стены, вентблоки – 3

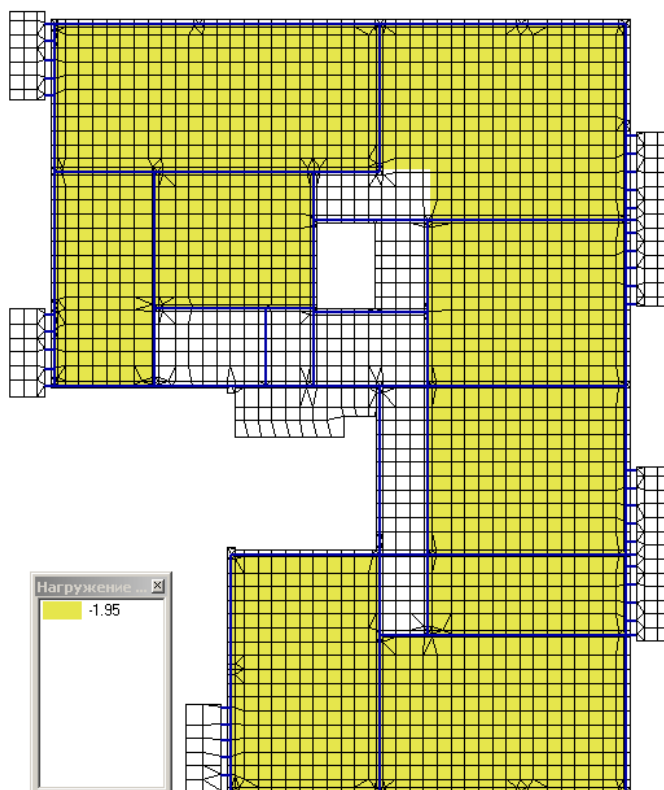


Инв. № подл.	Полпись и дата	Взам. инв. №

Постоянная внутренние стены – 4

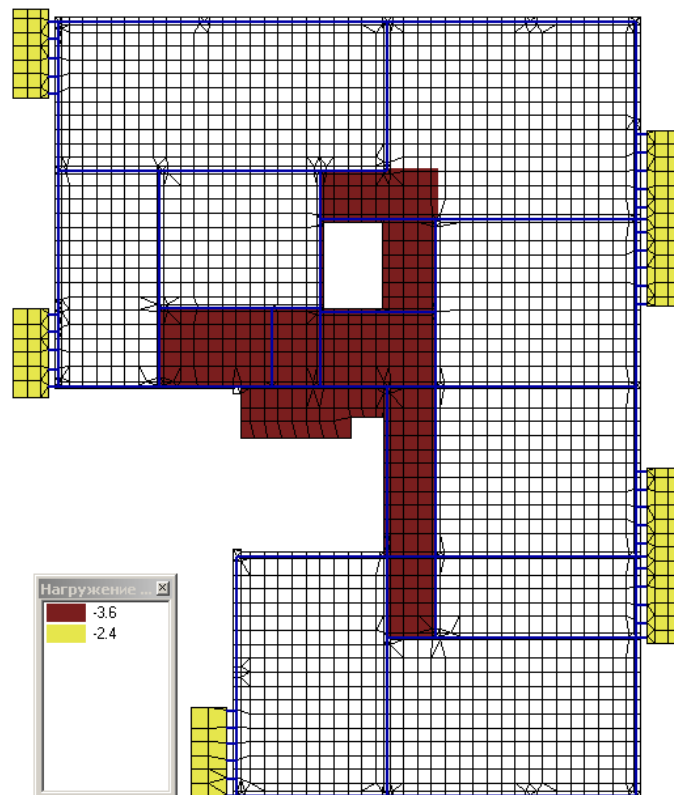


Временная полезная (жилье) – 6

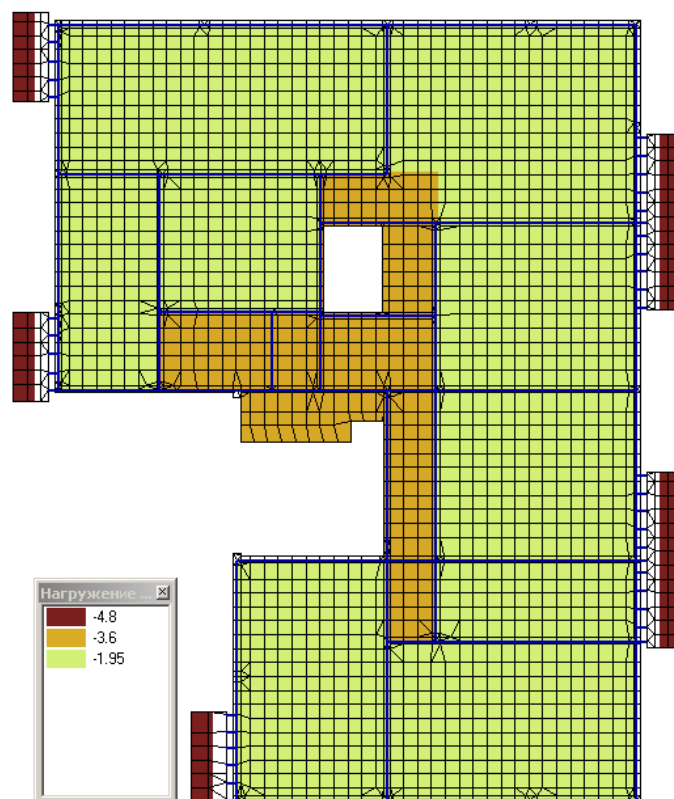


Инв. № подл.	Полпись и дата	Взам. инв. №

Временная полезная (коридоры, балконы) – 7



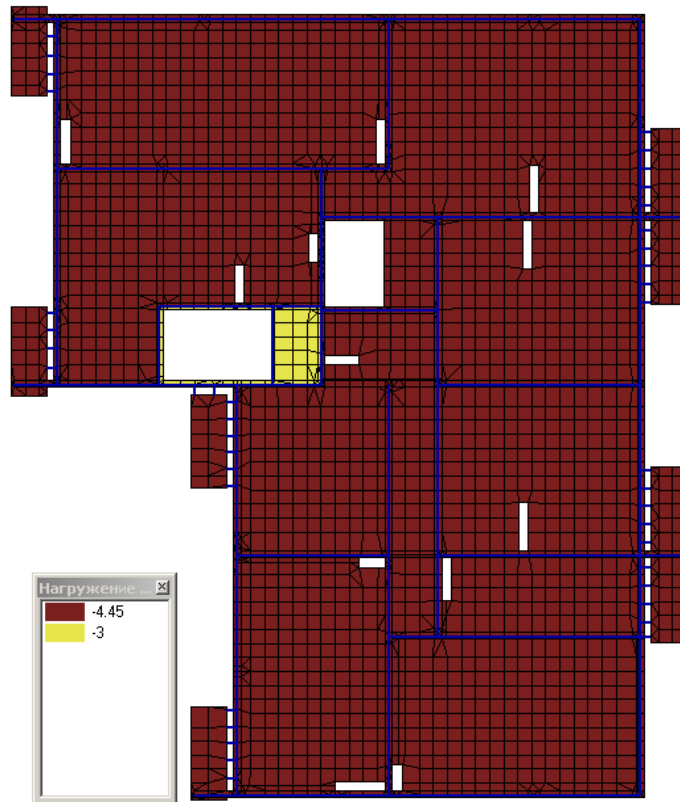
Временная полезная (коридоры, балконы) – 8



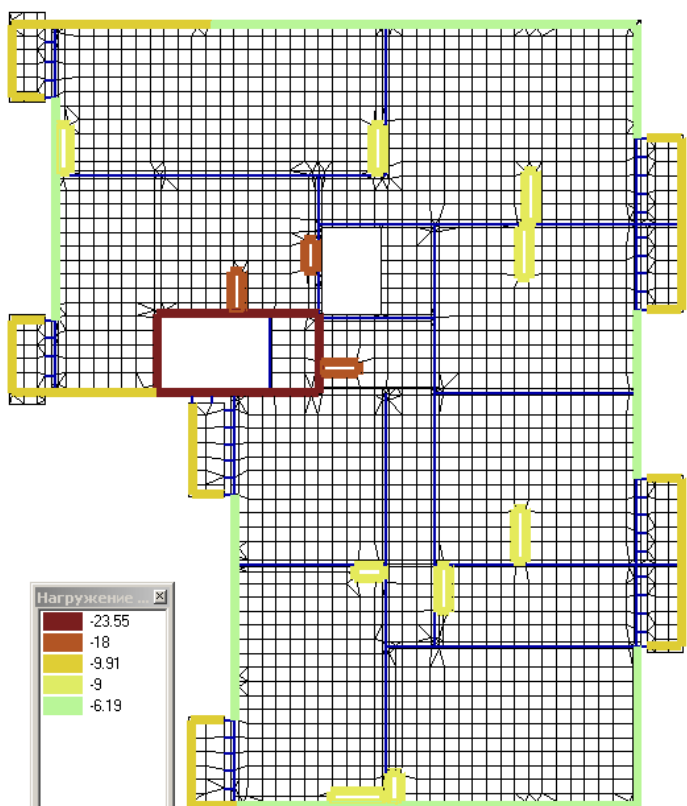
Инв. № подл.	Полпись и дата	Взам. инв. №

Отм. кровля:

Постоянная вес кровли – 2

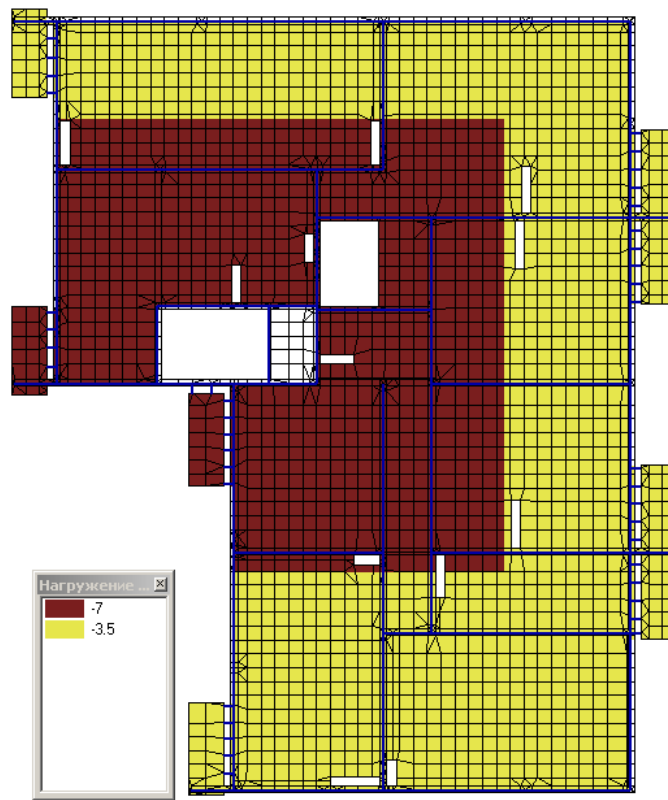


Постоянная стены, парапет – 3



Инв. № подл.	Полпись и дата	Взам. инв. №

Временная снег – 9



Инв. № подл.	Полпись и дата	Взам. инв. №

Изм.	Кол.	Лист	№	Подп.	Дата

05/08-2019 ПР-ПР1

Лист
35

1.6 Сводная таблица нагрузок на здание

№	Наименование	Коэффициент надежности	Коэффициент длительности
1	Собственный вес	1.1	1
2	Полы	1.2	1
3	Наружные стены	1.2	1
4	Внутренние стены	1.2	1
5	Давление грунта	1.15	1
6	Временные нагрузки (жилые помещения)	1.3	0.35
7	Временные нагрузки (коридоры, лестницы, балконы)	1.2	0.35
8	Временные нагрузки (невыгодное расположение)	1.2	0.35
9	Временные нагрузки (снег)	1.4	0.7
10	Ветер по направлению + X	1.4	0
11	Ветер по направлению - X	1.4	0
12	Ветер по направлению + Y	1.4	0
13	Ветер по направлению + Y	1.4	0
14	Ветер по направлению + X (пульсация)	1.4	0
15	Ветер по направлению – X (пульсация)	1.4	0
16	Ветер по направлению + Y (пульсация)	1.4	0
17	Ветер по направлению + Y (пульсация)	1.4	0
18	Соседней секции нет	1.2	1
19	Соседняя секция есть	1.2	1

Инв. № подп.	Полпись и дата	Взам. инв. №

Изм.	Кол.	Лист	№	Подп.	Дата

05/08-2019 ПР-PP1

Лист

36

1.7 Выводы

В результате расчета каркасного сборно-монолитного железобетонного жилого дома с диафрагмами жесткости (с учетом снеговой и ветровой статической и пульсационной составляющих) установлено:

1. Период собственных колебаний, совпадающих с главными факторами, составляет:
 $T_1=1.546\text{с}$ - вращательное движение вокруг оси Z.
 $T_2=1.532\text{с}$ - поступательное вдоль оси X.
 $T_3=1.492\text{с}$ - поступательное вдоль оси Y с вращением вокруг оси Z.
2. Максимальные горизонтальные перемещения составляют:
- в поперечном направлении (вдоль оси X):
Max: Узел=27098, $U_x=14.7949 \text{ мм} < H_{зд.}/500 = 22.13/500 = 0.04426\text{м}=44.26\text{мм}$.
- в продольном направлении (вдоль оси Y):
Max: Узел=23341, $U_y=-18.2707 \text{ мм} < H_{зд.}/500 = 22.13/500 = 0.04426\text{м}=44.26\text{мм}$
3. Максимальные осадки фундаментной плиты составляют $38.81 \text{ мм} < [150\text{мм}]$
4. Среднее давление под подошвой фундаментной плиты составляет 140.03kPa , что не
 $633,0\text{m}^2$
5. Максимальная относительная разность осадок составляет $i = \frac{\Delta s}{L} = 0.0017 < [0.003]$

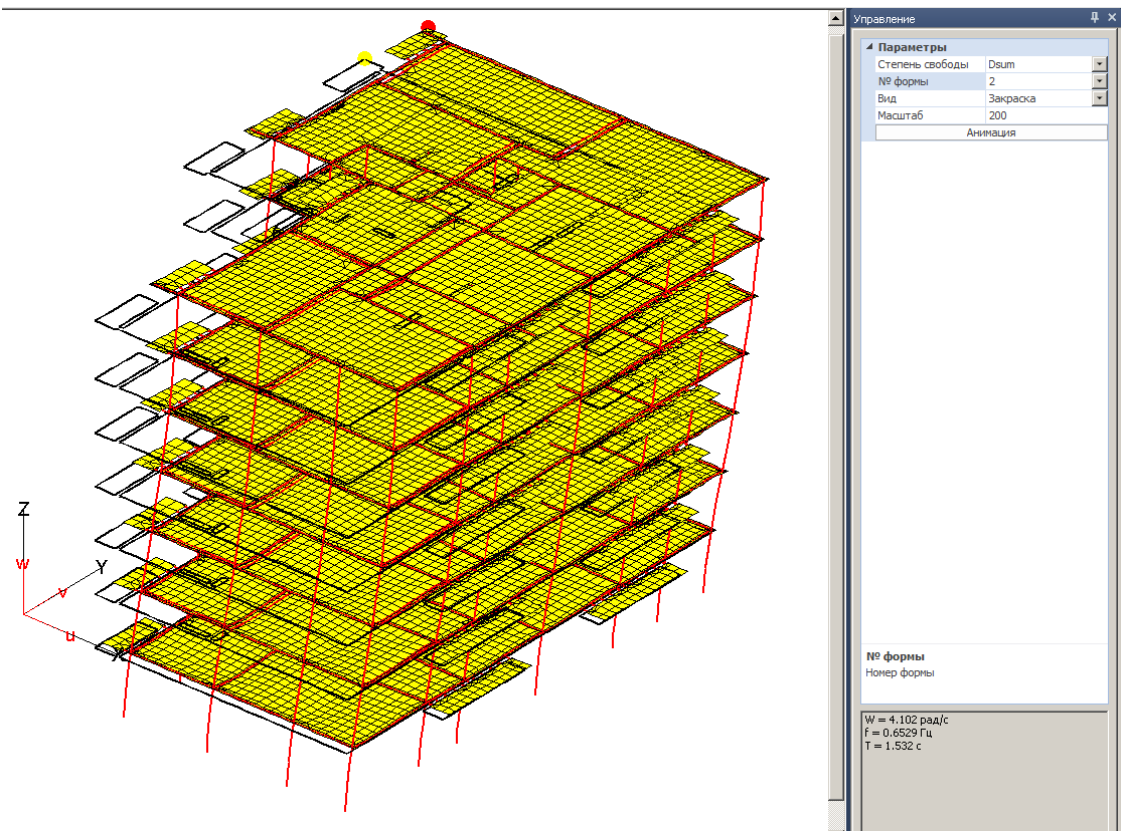
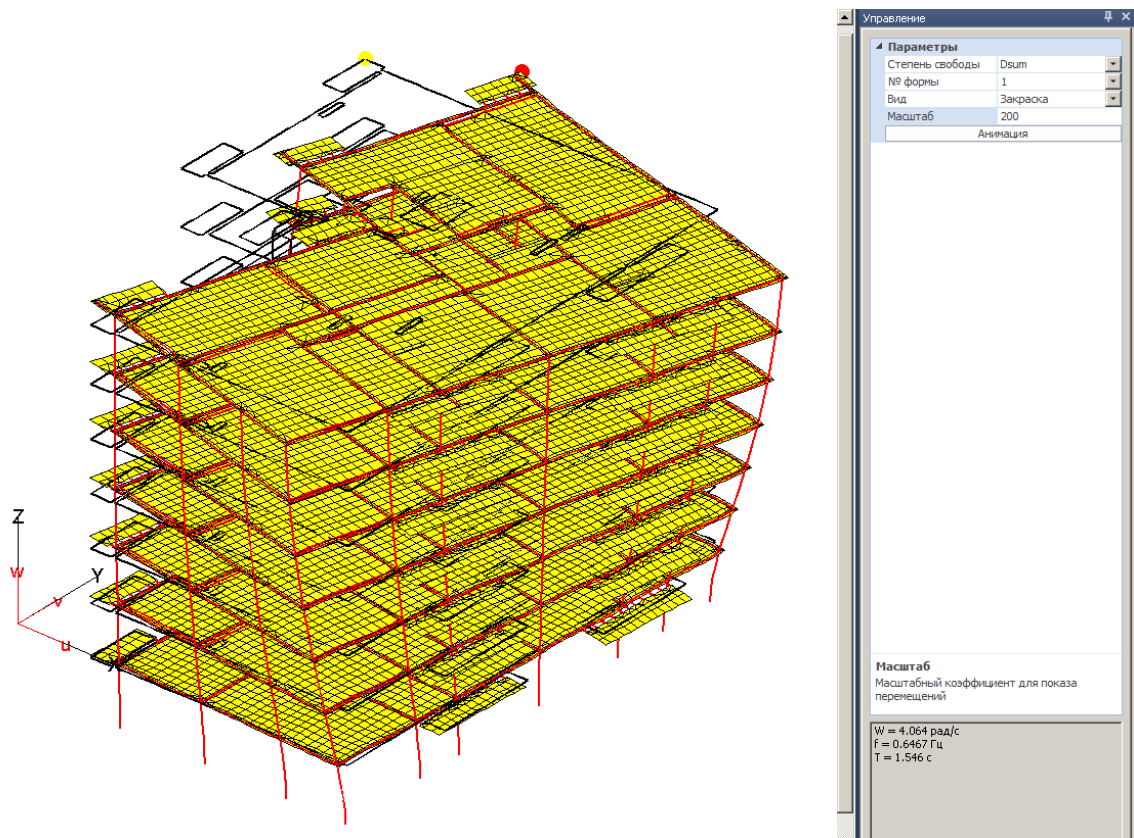
С учетом анализа результатов выполненного расчета каркасного сборно-монолитного железобетонного дома с диафрагмами жесткости на основное сочетание нагрузок, конструктивная система обладает достаточной жесткостью и устойчивостью и пригодна для безопасной эксплуатации.

Инв. № подп.	Полпись и дата	Взам. инв. №

Изм.	Кол.	Лист	№	Подп.	Дата

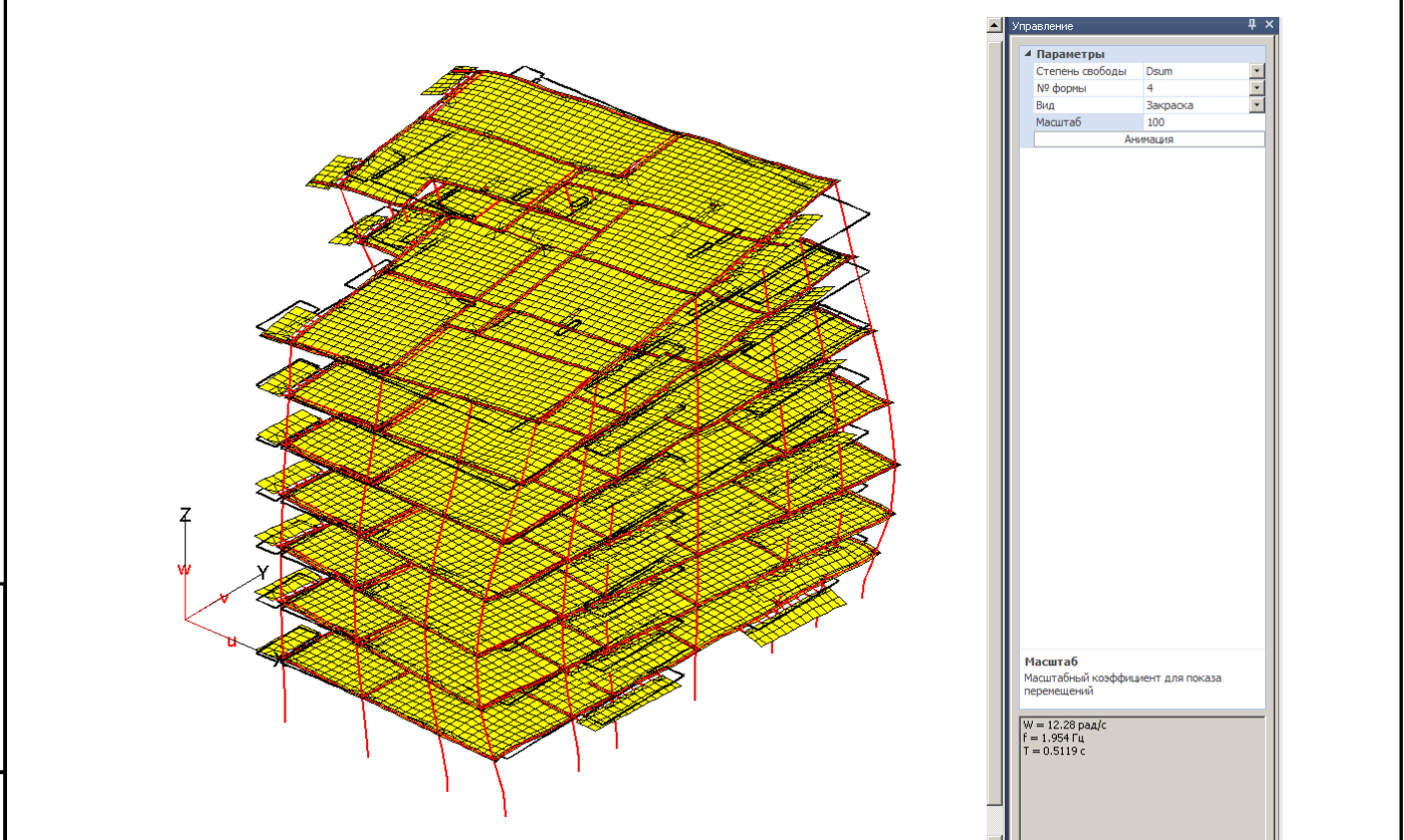
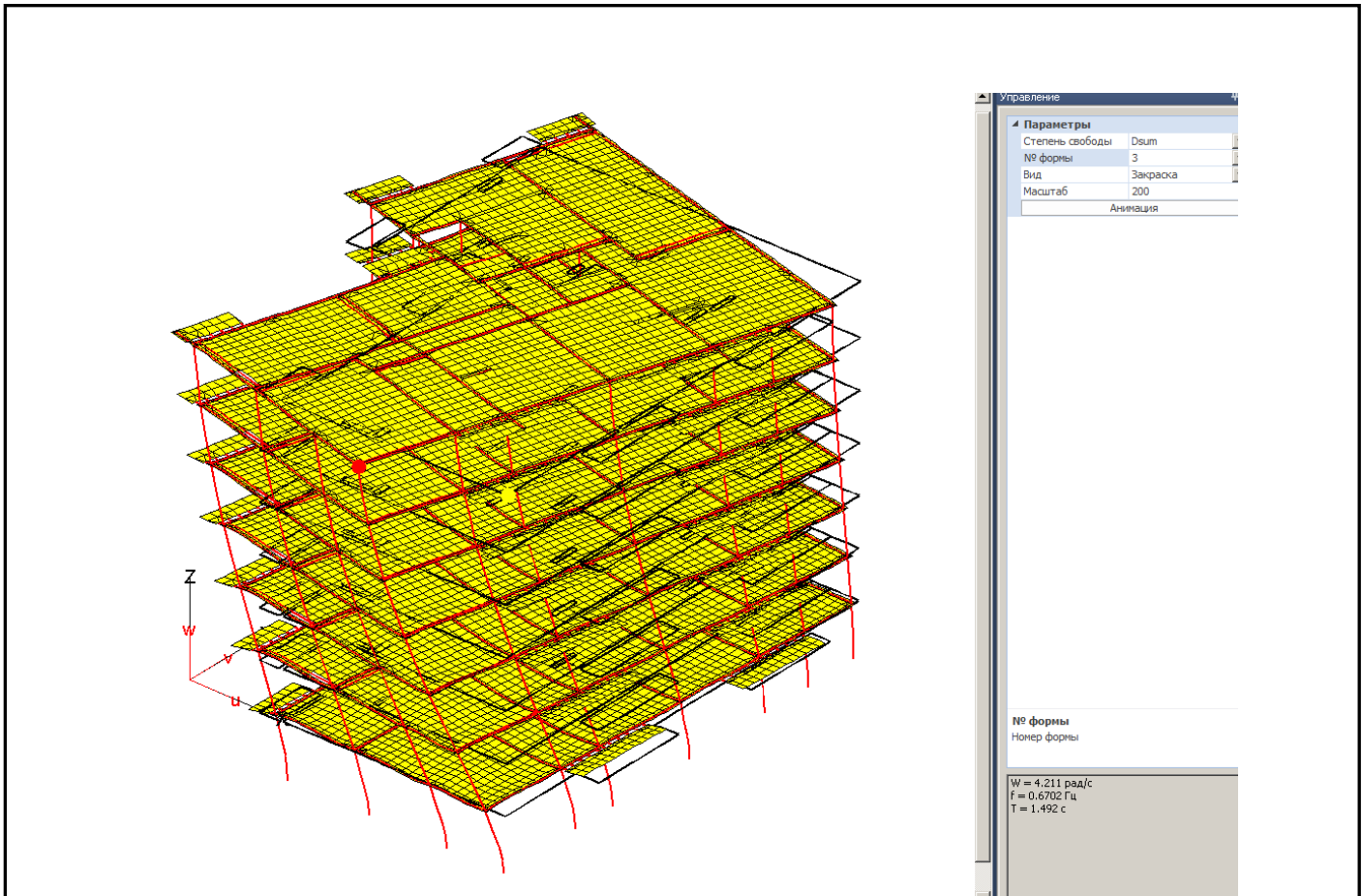
2. Результаты динамического, статического расчёта. Деформации и усилия.

2.1 Результаты расчёта на собственные колебания



Инв. № подл.	Полпись и дата	Взам. инв. №

Изм.	Кол.	Лист	№	Подп.	Дата

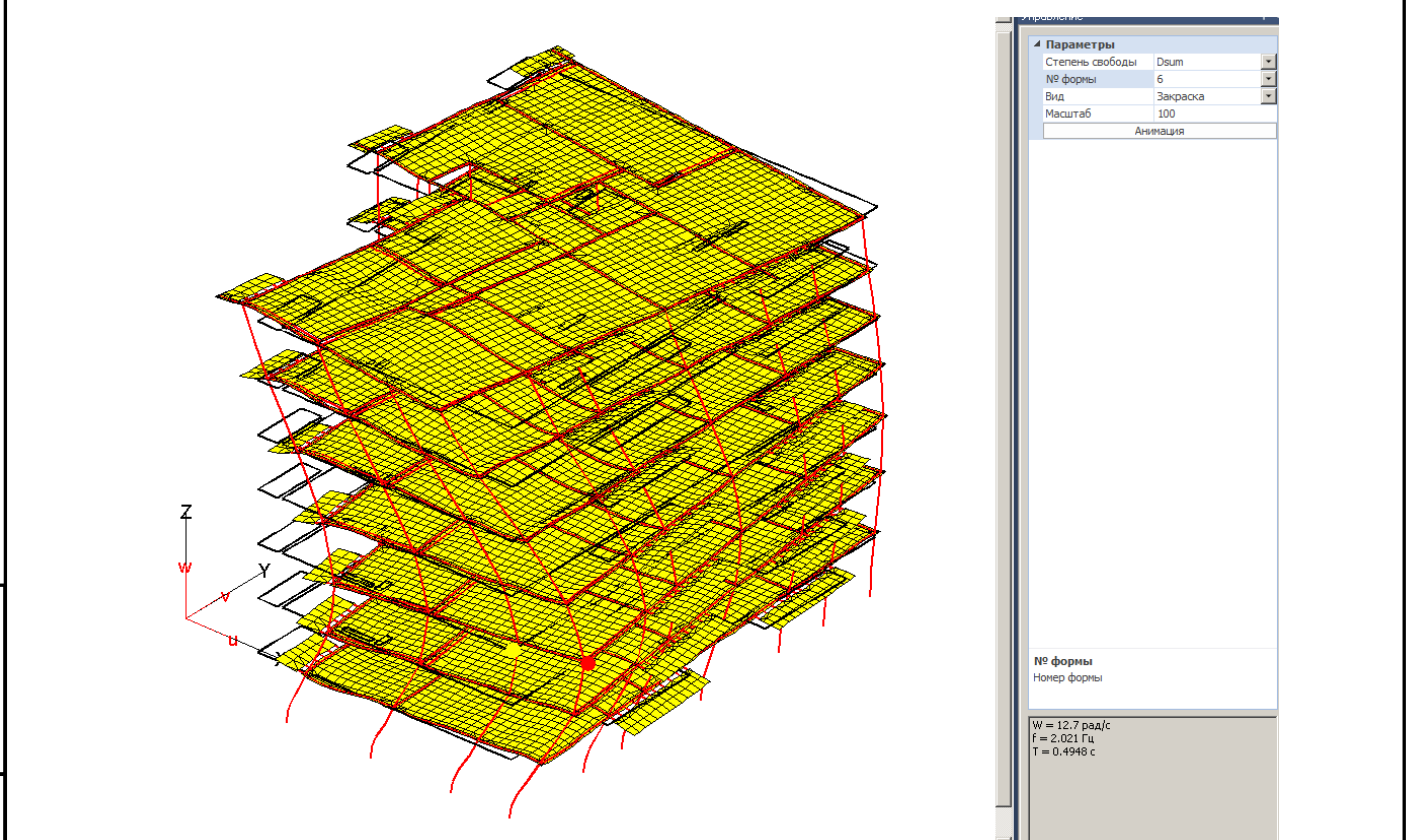
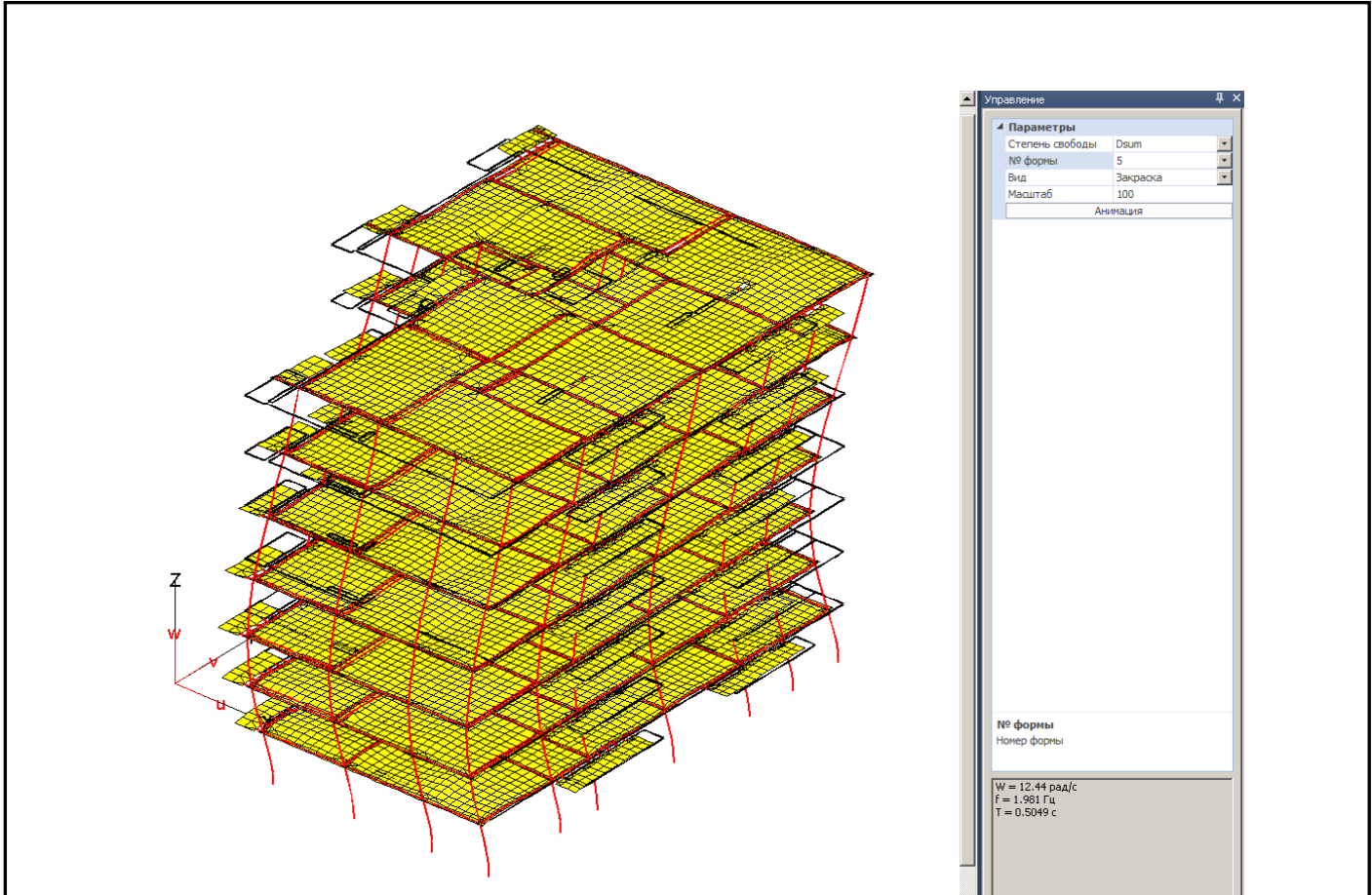


Инв. № подл.	Полпись и дата	Взам. инв. №			
Изм.	Кол.	Лист	№	Подп.	Дата

05/08-2019 ПР-ПР1

Лист

39



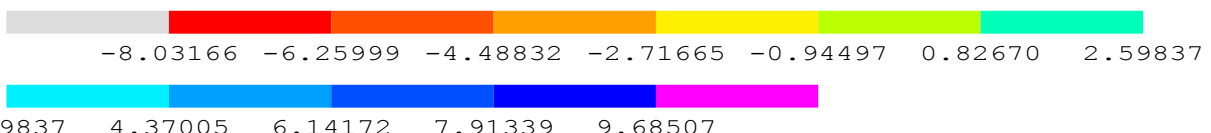
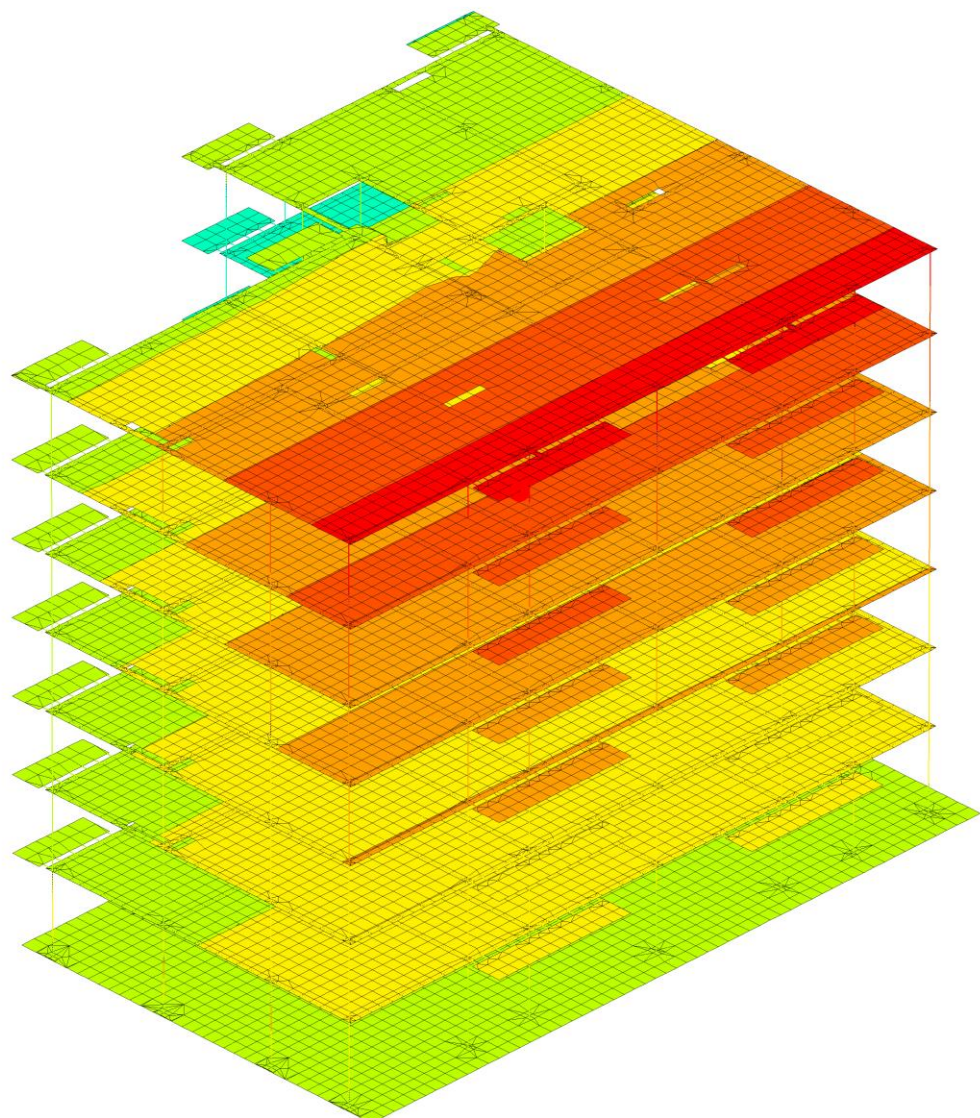
Инв. № подл.	Полпись и дата	Взам. инв. №

Изм.	Кол.	Лист	№	Подп.	Дата

05/08-2019 ПР-ПР1

Лист
40

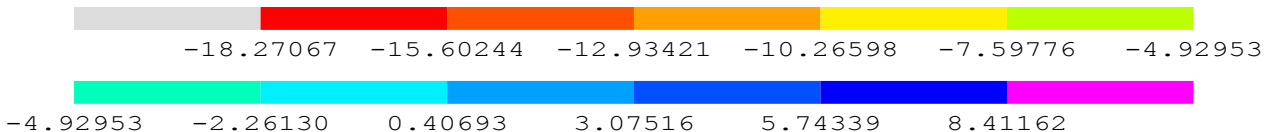
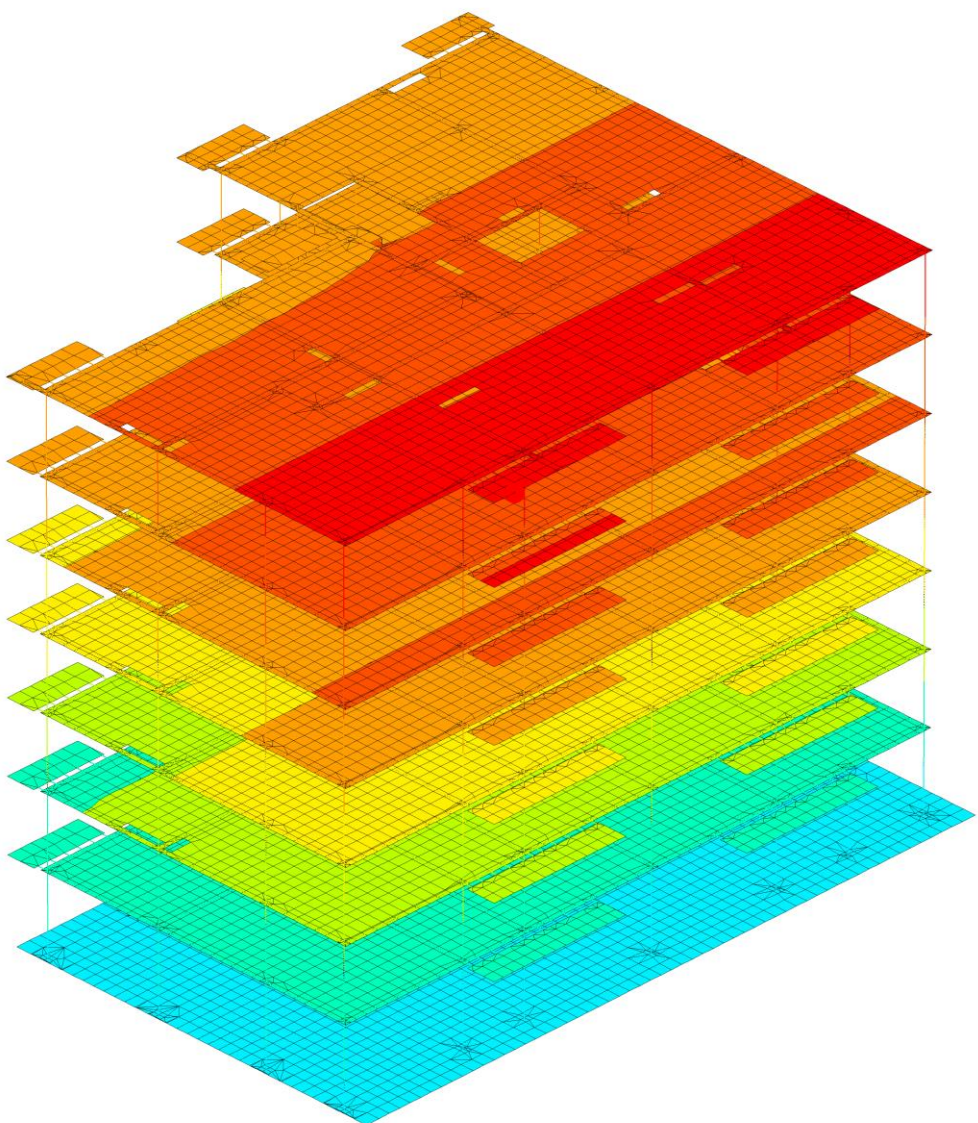
2.2 Деформации каркаса



Max: Узел=7195, Uy=9.68507 мм Min: Узел=23341, Uy=-8.03166 мм
Комбинация - ветер +Y

Инв. № подл.	Полпись и дата	Взам. инв. №

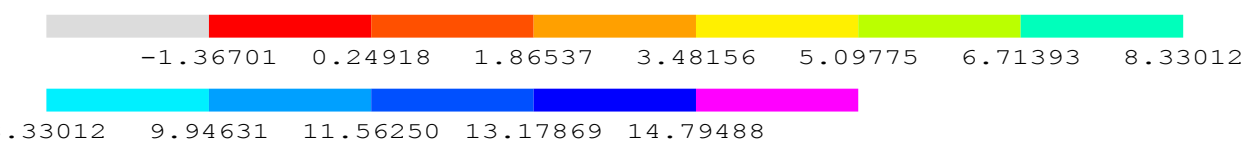
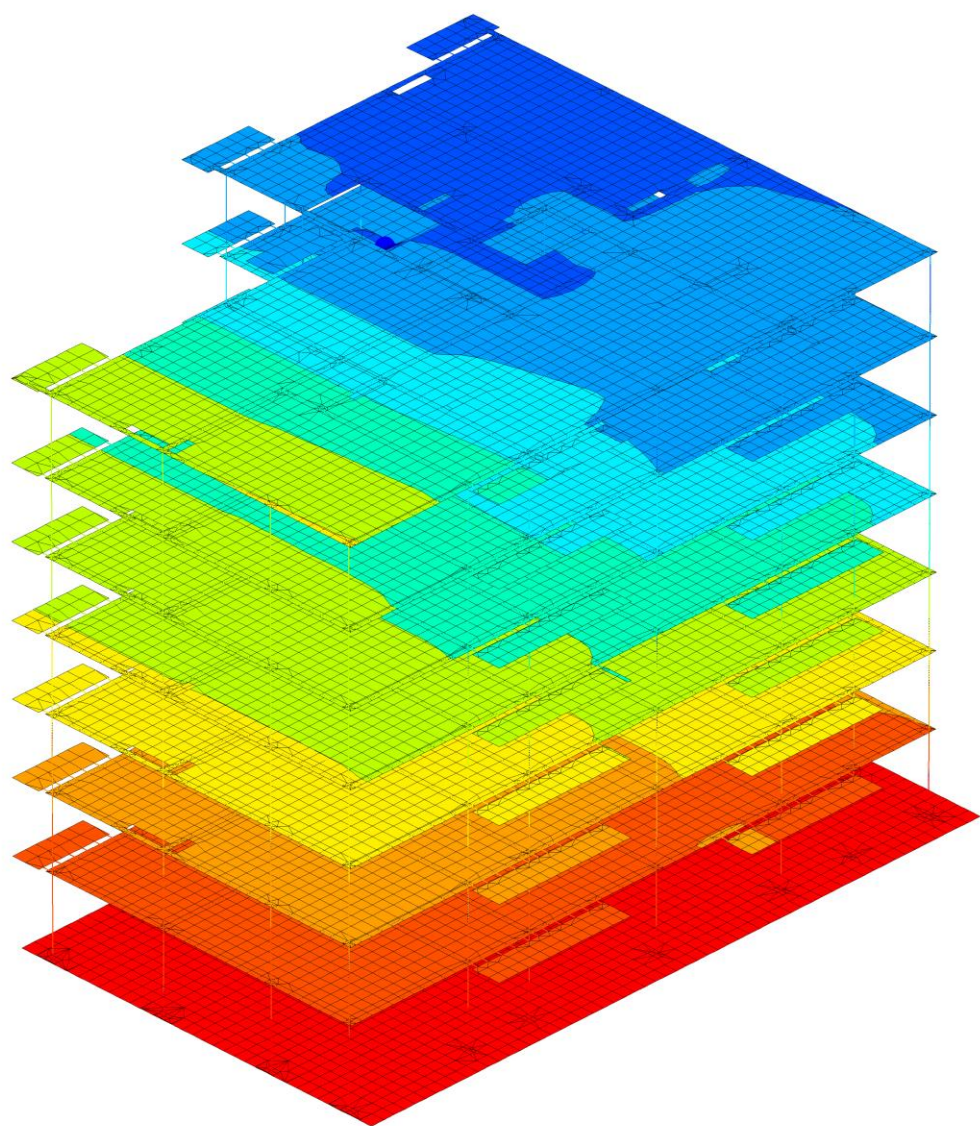
Изм.	Кол.	Лист	№	Подп.	Дата



Max: Узел=7195, Uy=8.41162 мм Min: Узел=23341, Uy=-18.2707 мм
Комбинация - ветер -Y

Инв. № подл.	Полпись и дата	Взам. инв. №

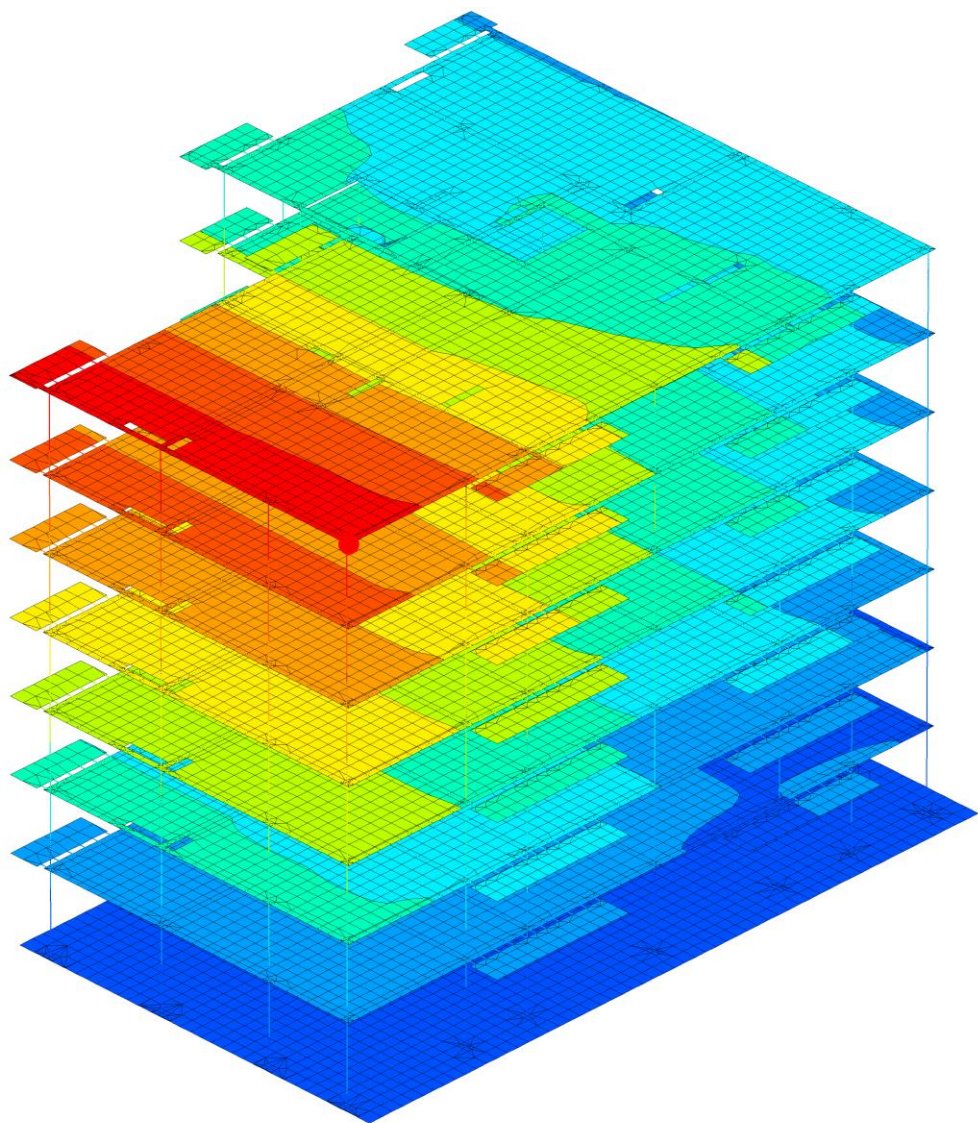
Изм.	Кол.	Лист	№	Подп.	Дата



Max: Узел=27098, Ux=14.7949 мм Min: Узел=26562, Ux=-1.36701 мм
Комбинация - ветер +X

Инв. № подл.	Полпись и дата	Взам. инв. №

Изм.	Кол.	Лист	№	Подп.	Дата



Max: Узел=30227, Ux=2.34945 мм Min: Узел=23567, Ux=-14.4131 мм

Комбинация - ветер -X

Вывод:

Максимальная деформация составила 18.207мм (ветер вдоль оси -Y), что меньше предельно допустимого

$$\text{Нзд./500} = 22.13/500 = 0.04426\text{м} = 44.26\text{мм.}$$

Жесткостные характеристики материалов принимаются при непродолжительном действии нагрузок.

Инв. № подл.	Полпись и дата	Взам. инв. №

Изм.	Кол.	Лист	№	Подп.	Дата

2.3 Усилия на обрезе стыка сборных колонн и фундаментов

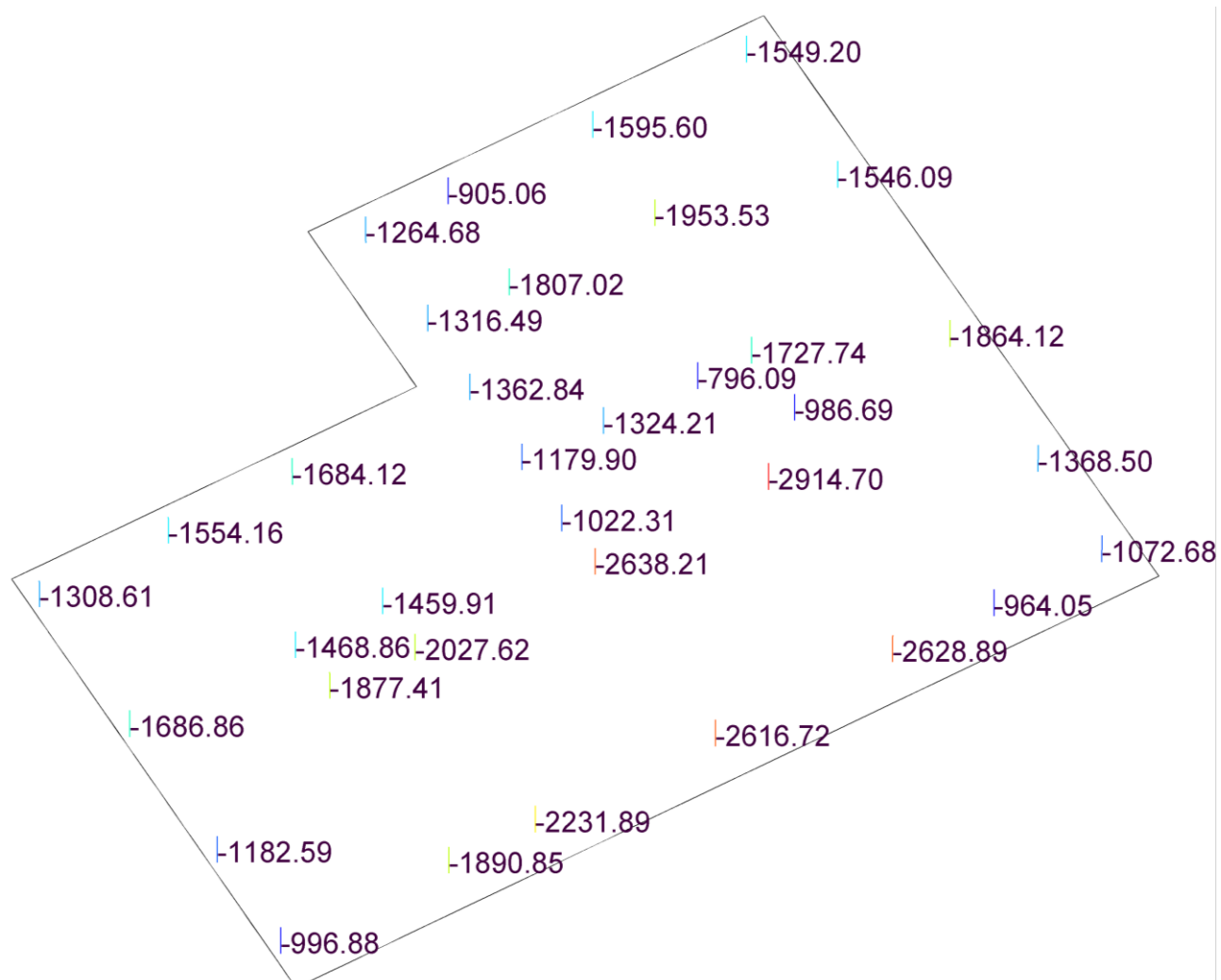
Min-Max наложение

в локальных осях координат:

Ось t – направлена вдоль длиной стороны колонны;

Ось s – направлена вдоль узкой стороны колоны.

Продольная сила N, кН

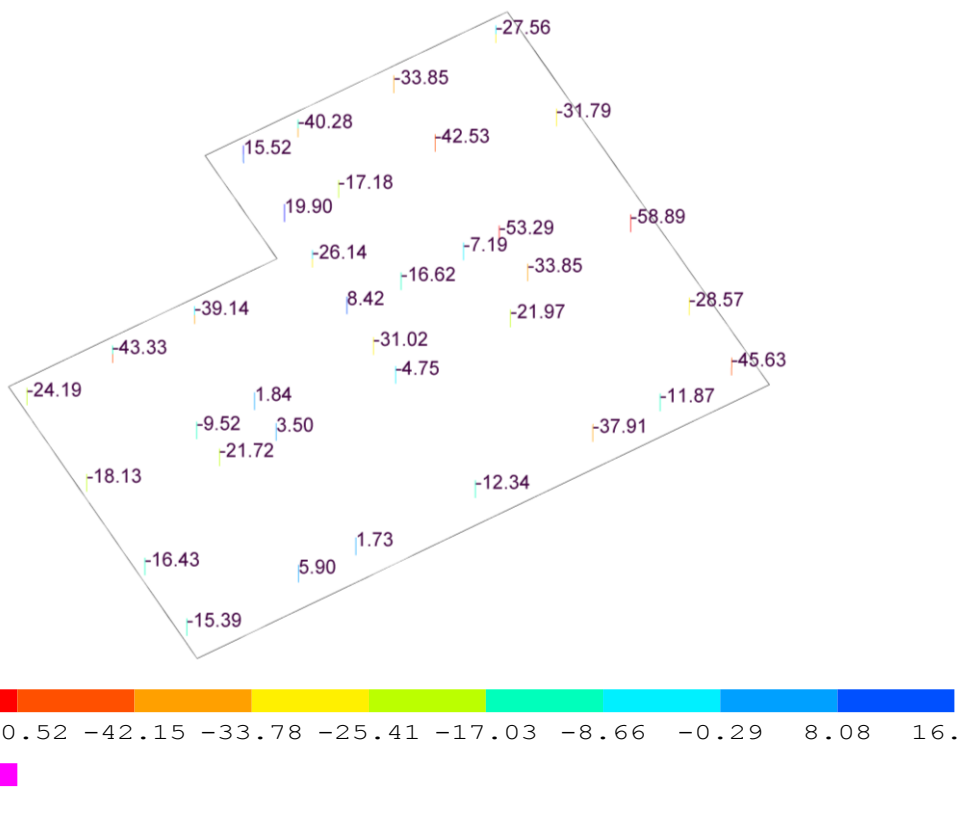


Max N=-583.828 кН (Elem N 35314), Min N=-2914.7 кН (Elem N 35317)
MinMax наложение(комбинации)

Инв. № подп.	Полпись и дата	Взам. инв. №

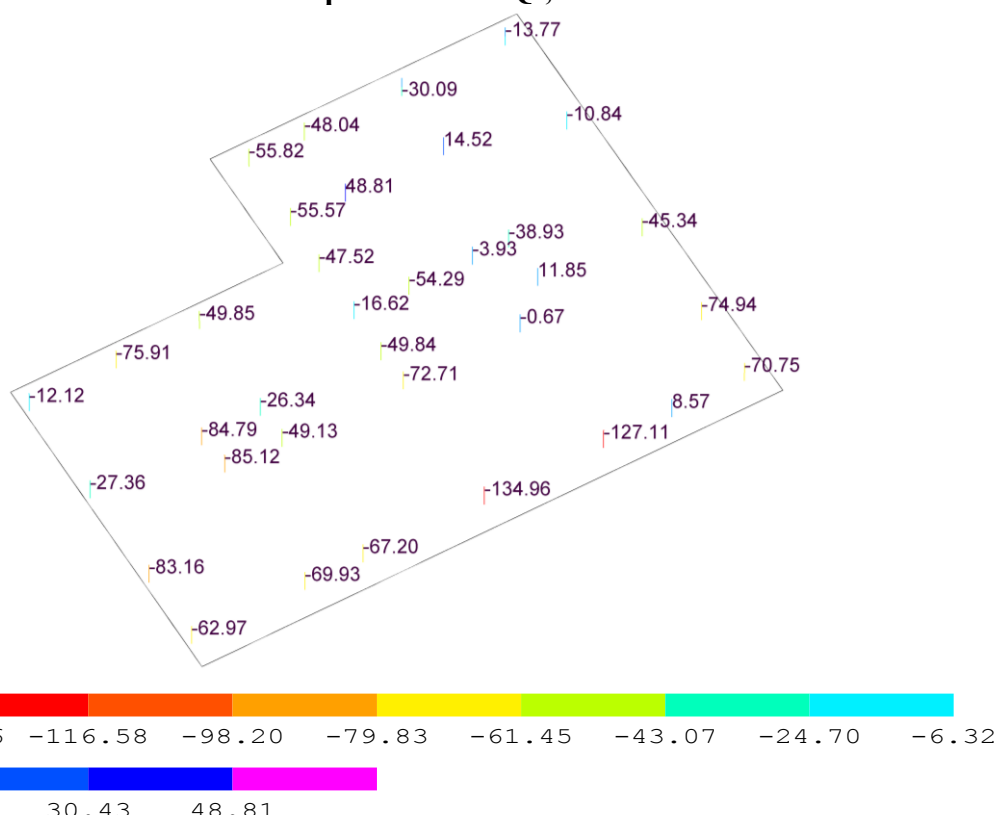
Изм.	Кол.	Лист	№	Подп.	Дата

Поперечная сила Qs, кН



Max $Q_s=67.0377$ кН (Elem N 35303), Min $Q_s=-58.8931$ кН (Elem N 35357)
MinMax наложение(комбинации)

Поперечная сила Qt, кН

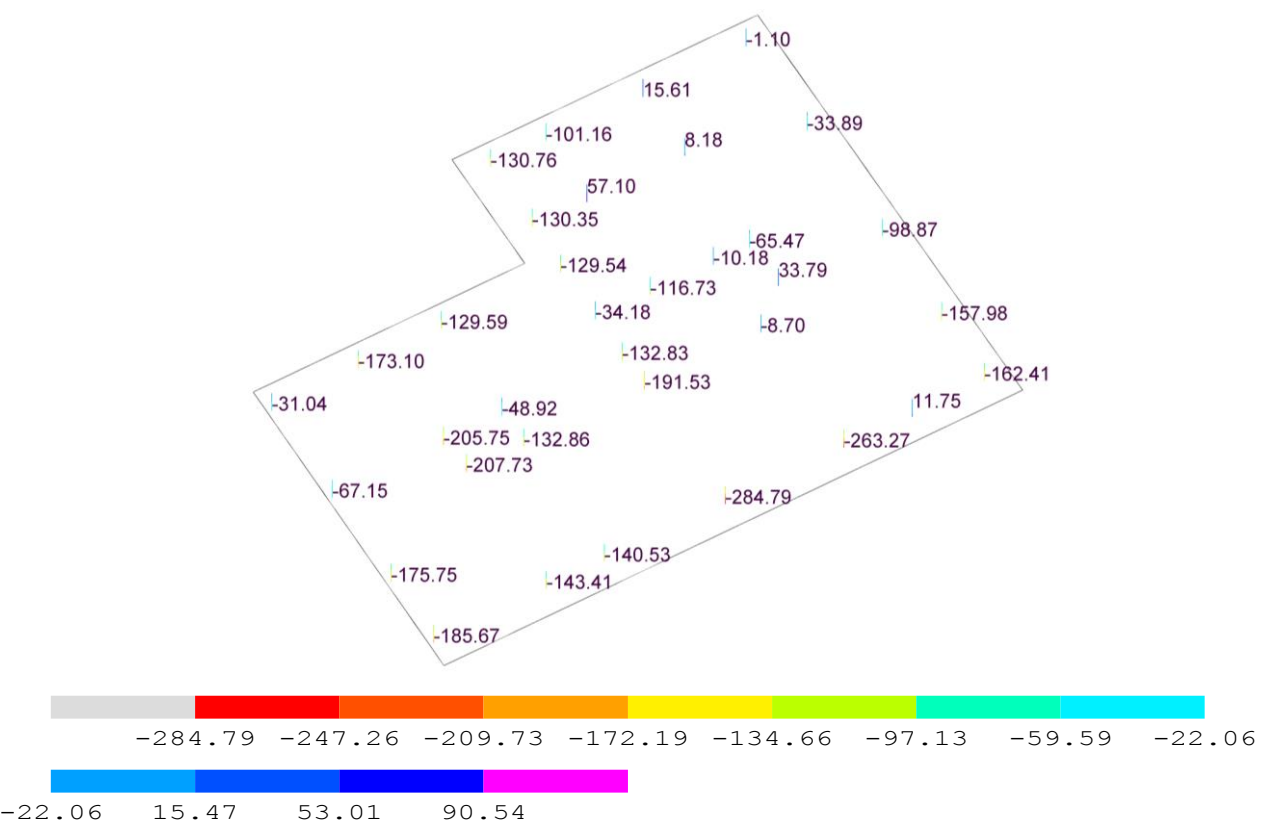


Max $Q_t=110.565$ кН (Elem N 35345), Min $Q_t=-134.957$ кН (Elem N 35342)
MinMax наложение(комбинации)

Инв. № подл.	Полпись и дата	Взам. инв. №

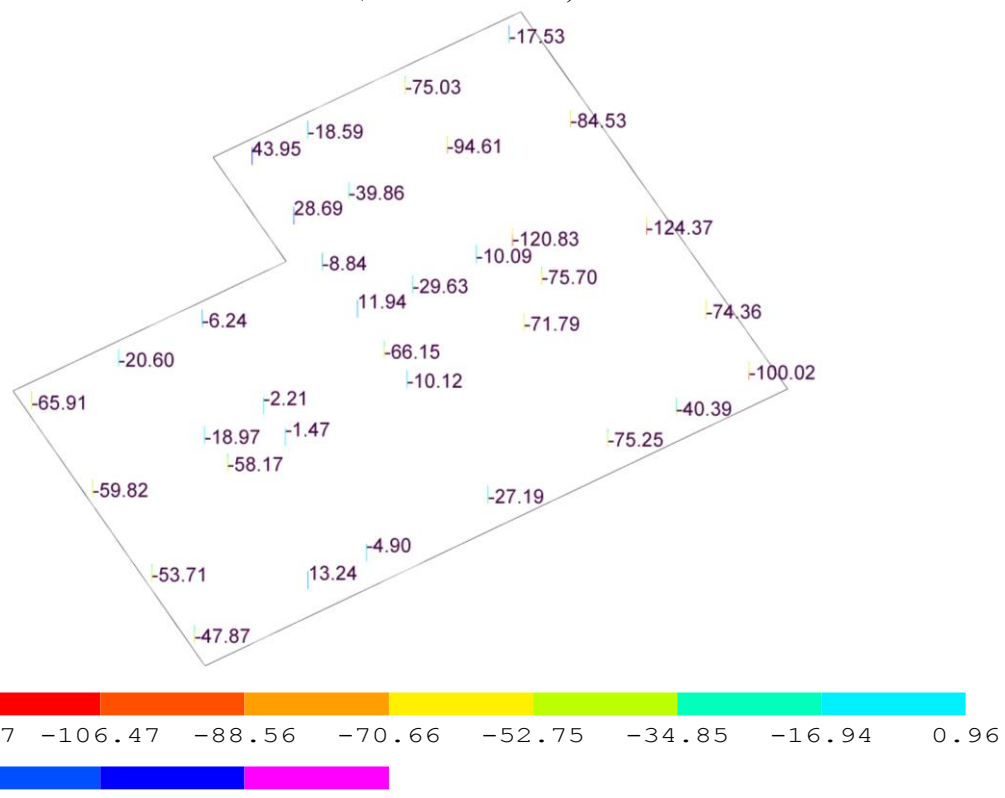
Изм.	Кол.	Лист	№	Подп.	Дата

Изгибающий момент Ms, кН*м



Max $Ms=237.709$ кНм (Elem N 35345), Min $Ms=-284.794$ кНм (Elem N 35343)
MinMax наложение(комбинации)

Изгибающий момент Mt, кН*м



Max $Mt=151.133$ кНм (Elem N 35303), Min $Mt=-124.374$ кНм (Elem N 35357)
MinMax наложение(комбинации)

Инв. № подл.	Полпись и дата	Взам. инв. №

Изм.	Кол.	Лист	№	Подп.	Дата

3. Конструктивный расчёт элементов каркаса

3.1 Расчёт монолитной фундаментной плиты

3.1.1 Исходные данные

Данные для расчёта фундамента:

- Материал – бетон класса В25 ГОСТ 26633-91*
- Модуль упругости $E_b^0 = 3.00 \times 10^7$ кПа
- Коэффициент Пуассона $\mu=0.2$
- Толщина плиты 600 мм
- Нормативный объёмный вес бетона $\gamma_0^H = 2500$ кг/м³
- Арматура:
 - рабочая класса А500С ГОСТ Р 52544-2006
 - распределительная класса А-400 ГОСТ Р 52544-2006
 - модуль упругости $E_s = 2 \times 10^8$ кН/м²;

3.1.2 Пояснения к расчёту

Оболочка:

S_r – мембранные напряжения в "r"-направлении, (кН/м²);

S_s – мембранные напряжения в "s"-направлении, (кН/м²);

S_{rs} – мембранные сдвиговые напряжения, (кН/м²);

M_r – изгибающий момент M_r (создает напряжения в "r"- направлении), (кНм/м);

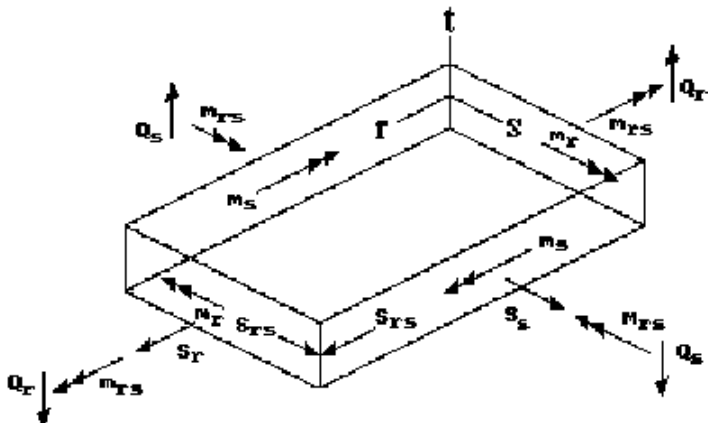
M_s – изгибающий момент M_s (создает напряжения в "s"- направлении), (кНм/м);

M_{rs} – крутящий момент (кНм/м);

Q_r – поперечная сила на площадке, перпендикулярной оси "r", (кН/м);

Q_s – поперечная сила на площадке, перпендикулярной оси "s", (кН/м).

Усилия в оболочках



1. Усилия выводятся в локальной системе координат t-r-s. Положительные значения S_r и S_s соответствуют растяжению, отрицательные – сжатию. Положительный момент M_r вызывает на нижней стороне оболочки растягивающие усилия в направлении оси r . Положительный момент M_s вызывает на нижней стороне оболочки растягивающие усилия в направлении оси s . Нижняя сторона оболочки находится по отрицательному направлению оси t .

2. Для получения наглядных результатов необходимо, чтобы все элементы одной поверхности имели одинаковое направление нормали (оси t). Конечно-элементная сетка, созданная модулем генерации автоматически и имеющая самоопределяющуюся систему координат, удовлетворяет этому требованию.

Направление локальных осей -

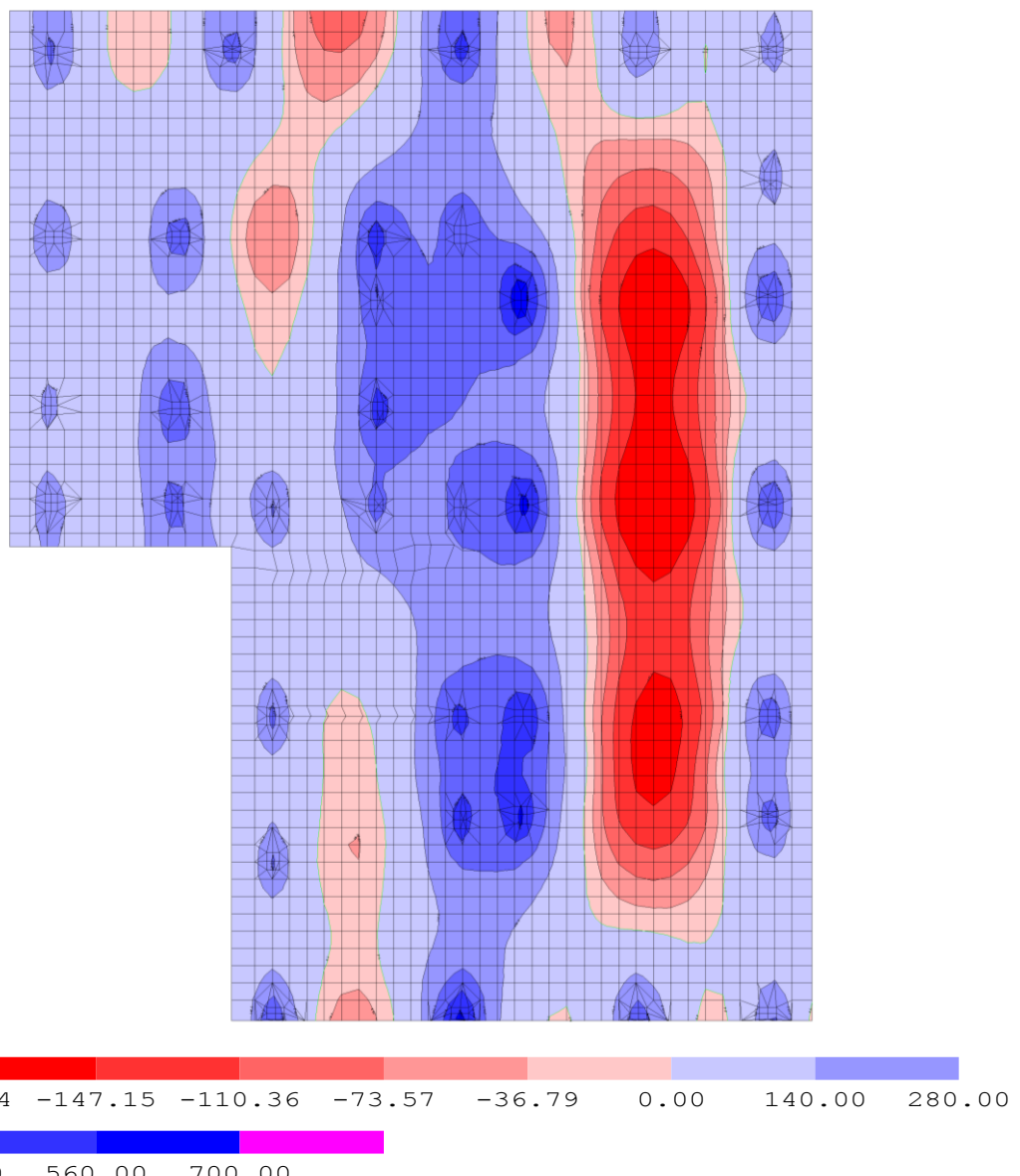


Инв. № подл.	Подпись и дата	Взам. инв. №

Изм.	Кол.	Лист	№	Подп.	Дата

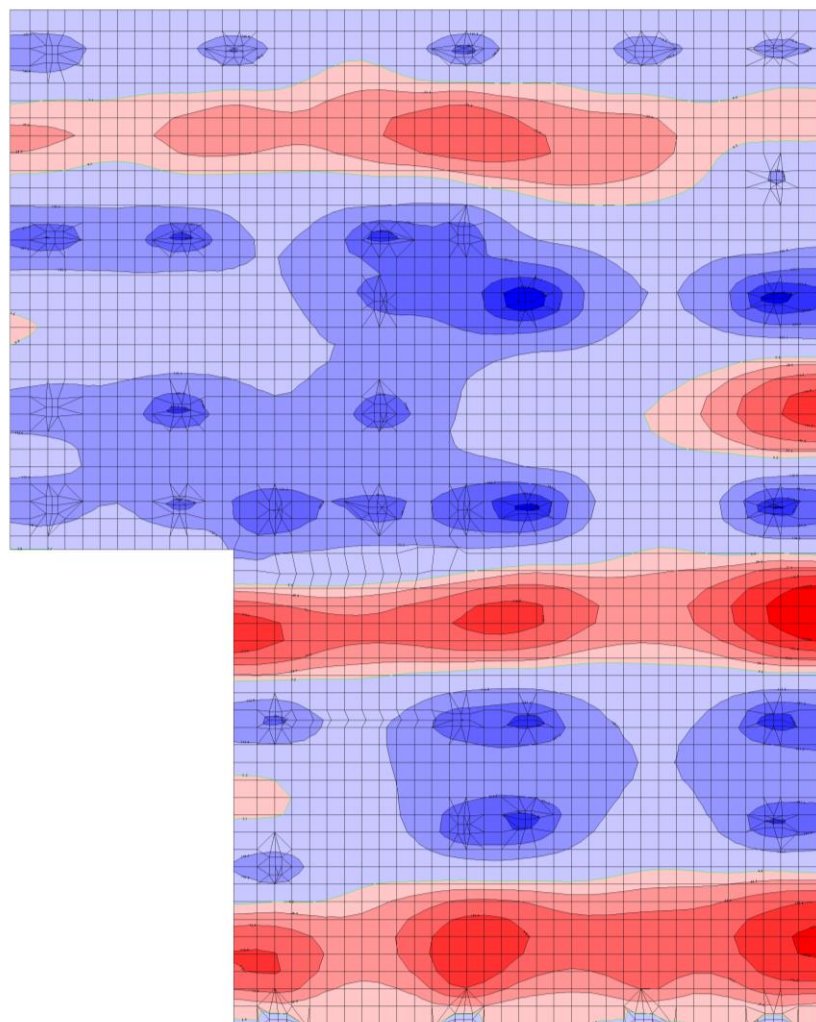
3.1.3 Усилия в монолитной фундаментной плите (эпюры)

Эпюры моментов - Mr, Ms; поперечных сил – Q1.



Инв. № подл.	Полпись и дата	Взам. инв. №

Изм.	Кол.	Лист	№	Подп.	Дата

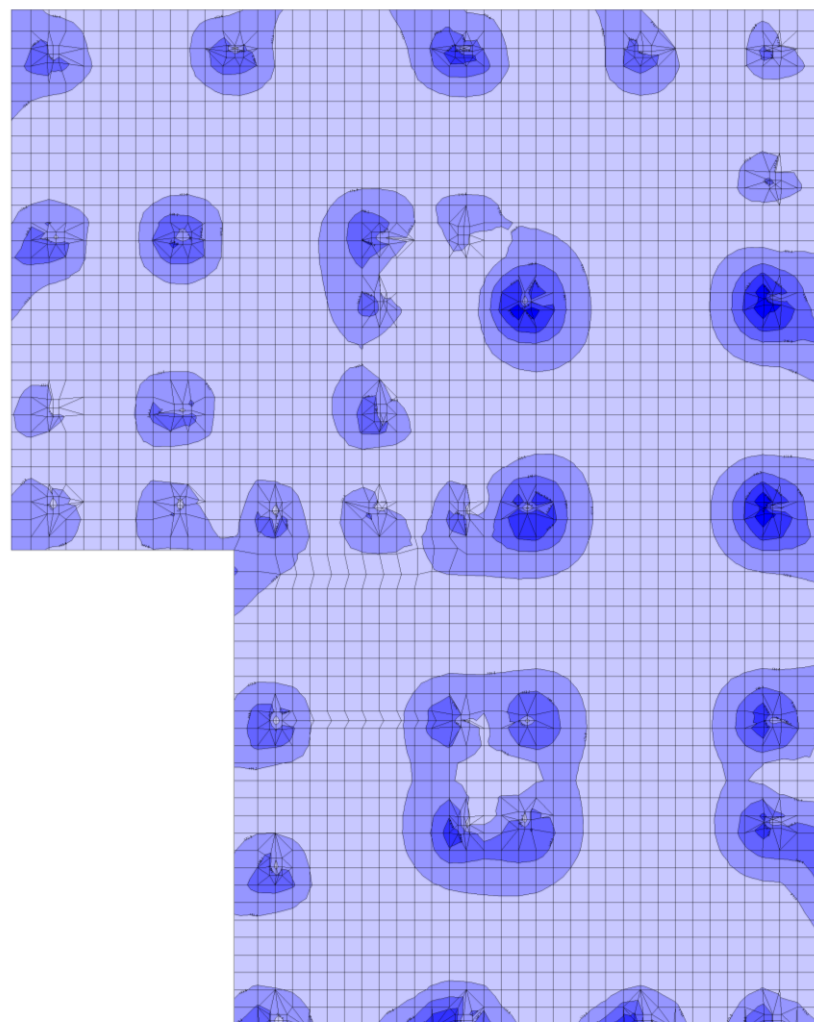


Min Ms = -184.379 кНм/м, Max Ms = 703.01 кНм/м
 MinMax наложение(комбинации)

Инв. № подл.	Полпись и дата	Взам. инв. №			
Изм.	Кол.	Лист	№	Подп.	Дата

05/08-2019 ПР-ПР1

Лист
50



1.77 173.49 345.21 516.93 688.65 860.37

Min Q1 = 1.77224 кН/м, Max Q1 = 860.368 кН/м

MinMax наложение(комбинации)

Инв. № подл.	Полпись и дата	Взам. инв. №			
Изм.	Кол.	Лист	№	Подп.	Дата

05/08-2019 ПР-PP1

Лист

51

3.1.4 Теоретическое армирование монолитной фундаментной плиты.

Продольная арматура определяется для прямоугольного сечения, ширина которого равна 1м, а высота - толщине плиты или оболочки. Рассматриваются два сечения – перпендикулярное оси *r* (или *x*) и перпендикулярное оси *s* (или *y*). Для каждого из сечений по имеющимся силовым факторам *S_r*, *S_s*, *S_{rs}*, *M_r*, *M_s*, *M_{rs}* рассчитываются приведенные *N*, *M*.

Возможно определение теоретической арматуры либо только по условиям прочности, либо по условиям прочности и трещиностойкости.

Для арматуры в оболочках:

As_{r0} [см²/м] продольная арматура по локальной оси “*r*” (глоб. *x*) сверху

As_{r0} [см²/м] продольная арматура по локальной оси “*r*”(глоб. *x*) снизу

As_{s0} [см²/м] продольная арматура по локальной оси “*s*”(глоб. *y*) сверху

As_{s0} [см²/м] продольная арматура по локальной оси “*s*”(глоб. *y*) снизу

Расчет арматуры проводился по прочности и трещиностойкости

Расчет проводился по СП 63.13330.2012

Характеристики материала:

Тип бетона - тяжелый

Класс бетона – В25

Класс продольной арматуры – А500С

Класс поперечной арматуры – А500С

Влажность - 40 - 75%

Диаграмма - двухлинейная

Коэф. условий работы бетона *G_b*(без *G_{b1}*) = 0.90 *M_{krb}* = 1.00

Толщина защитного слоя (см):

сверху (по оси *r*) = 7.7 сверху (по оси *s*) = 5.2

снизу (по оси *r*) = 5.6 снизу (по оси *s*) = 8.8

Параметры для расчета по второму предельному состоянию:

Тип расчета - из условия обеспечения сохранности арматуры

Максимальные диаметры арматуры

по оси *r(x)*: для верхней - 25, для нижней - 32;

по оси *s(y)*: для верхней - 25, для нижней - 32;

для поперечной: 14.

As_{r0} - теоретическое верхнее армирование плиты перекрытия по оси “*r*” [см²/м]

As_{s0} - теоретическое верхнее армирование плиты перекрытия по оси “*s*” [см²/м]

As_{r0} - теоретическое нижнее армирование плиты перекрытия по оси “*r*” [см²/м]

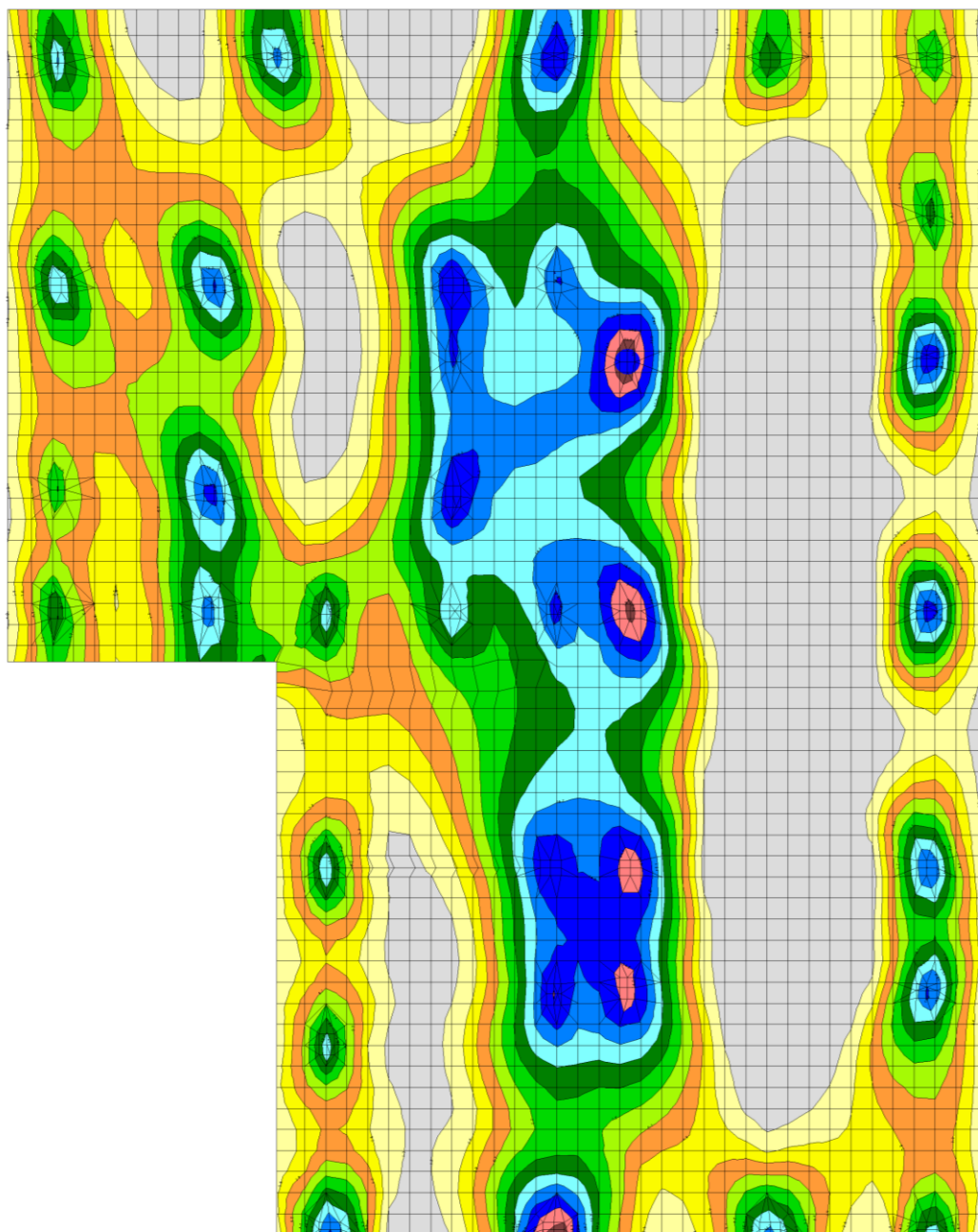
As_{s0} - теоретическое нижнее армирование плиты перекрытия по оси “*s*” [см²/м]

Направление локальных осей -



Инв. № подл.	Подпись и дата	Взам. инв. №

Изм.	Кол.	Лист	№	Подп.	Дата



[d, <<] 5 8 10 12 14 16 18 20 22 25 28 32 36 28

[h, <<] 200 200 200 200 200 200 200 200 200 200 200 200 200 100

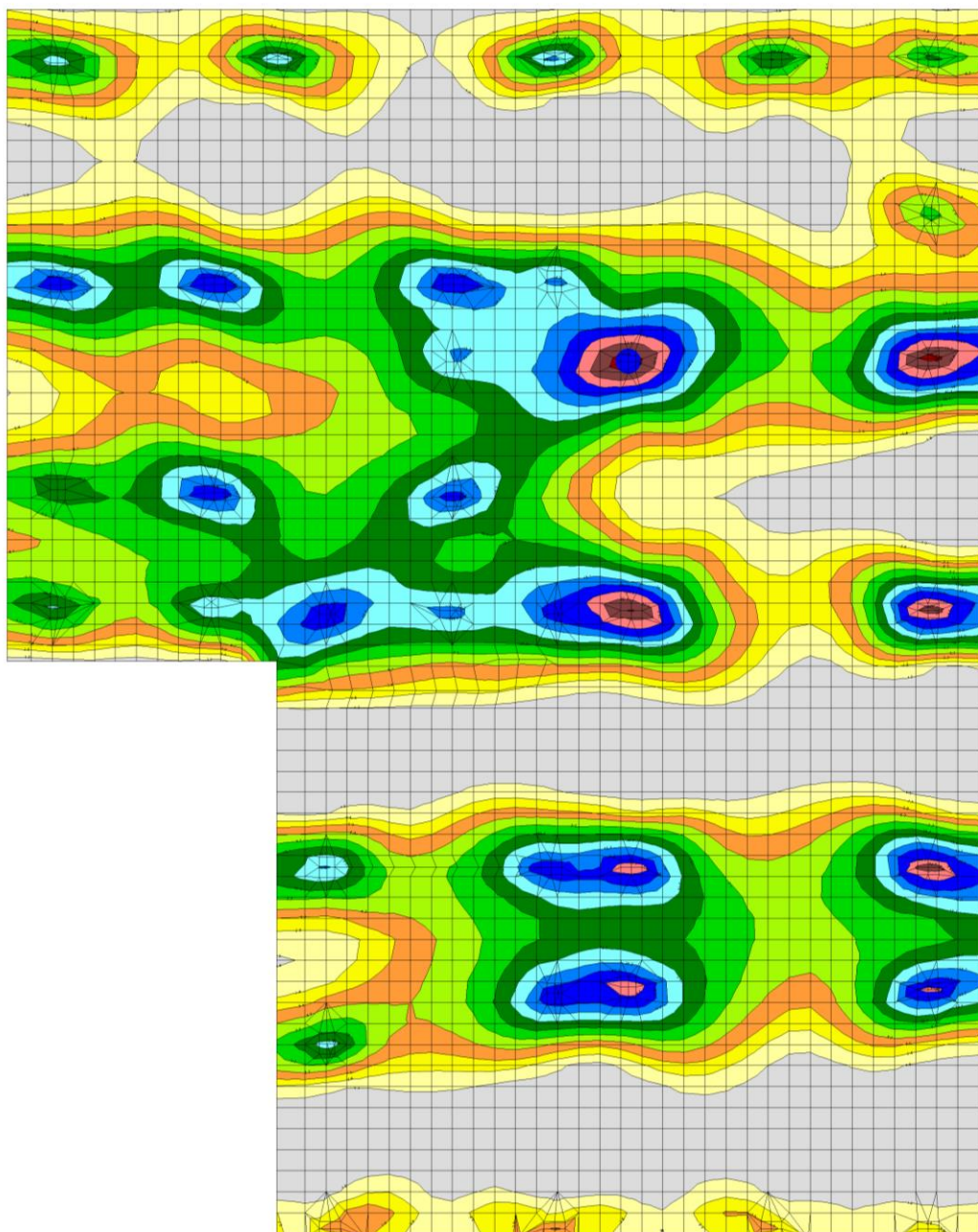
[d, <<] 28 32 36

[h, <<] 100 100 100

Max Asru = 38.77 см²/м (узел 1894)

Инв. № подл.	Полпись и дата	Взам. инв. №

Изм.	Кол.	Лист	№	Подп.	Дата



[d, <<] 5 8 10 12 14 16 18 20 22 25 28 32 36 28

[h, <<] 200 200 200 200 200 200 200 200 200 200 200 200 200 100

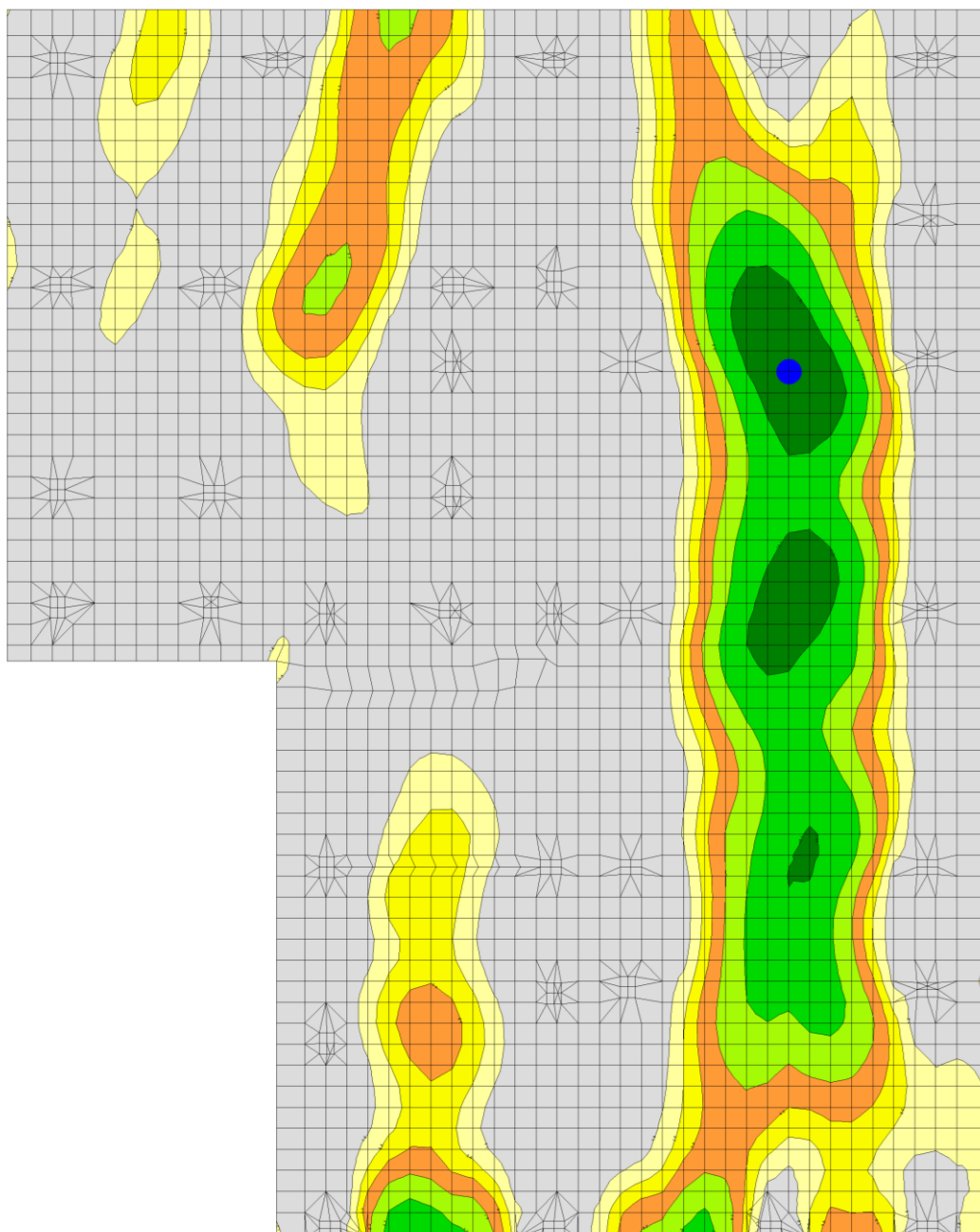
[d, <<] 28 32 36

[h, <<] 100 100 100

Max Assu = 46.05 см²/м (узел 1894)

Инв. № подл.	Полпись и дата	Взам. инв. №

Изм.	Кол.	Лист	№	Подп.	Дата



[d, <<] 5 8 10 12 14 16 18 20 22 25 28 32 36 28



[h, <<] 200 200 200 200 200 200 200 200 200 200 200 200 200 100

[d, <<] 28 32 36



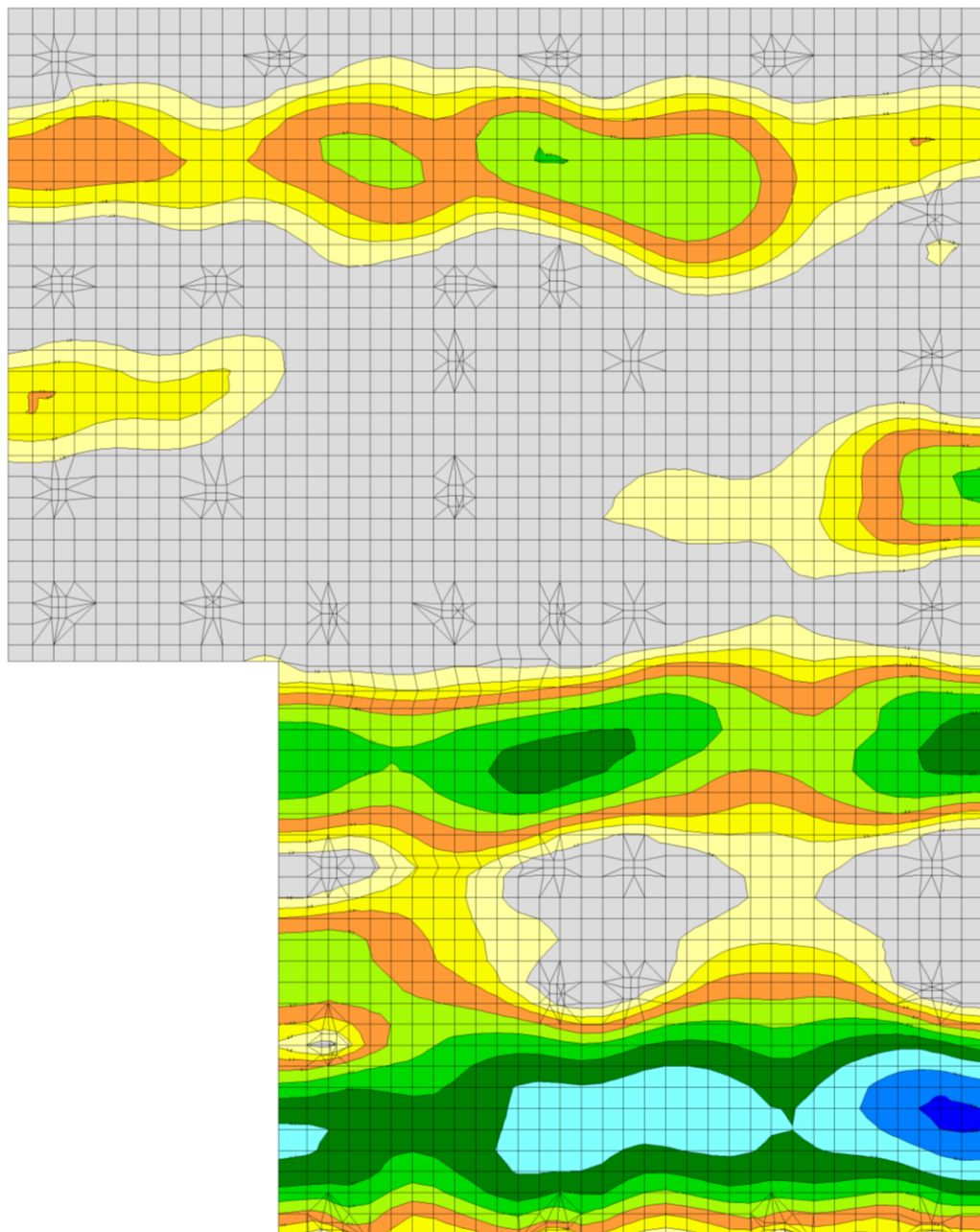
[h, <<] 100 100 100

Max Asro = 11.97 см²/м (узел 1846)

Инв. № подл.	Полпись и дата	Взам. инв. №

Изм.	Кол.	Лист	№	Подп.	Дата

05/08-2019 ПР-PP1



[d, <<] 5 8 10 12 14 16 18 20 22 25 28 32 36 28

[h, <<] 200 200 200 200 200 200 200 200 200 200 200 200 200 100

[d, <<] 28 32 36

[h, <<] 100 100 100

Max Asso = 19.75 см²/м (узел 366)

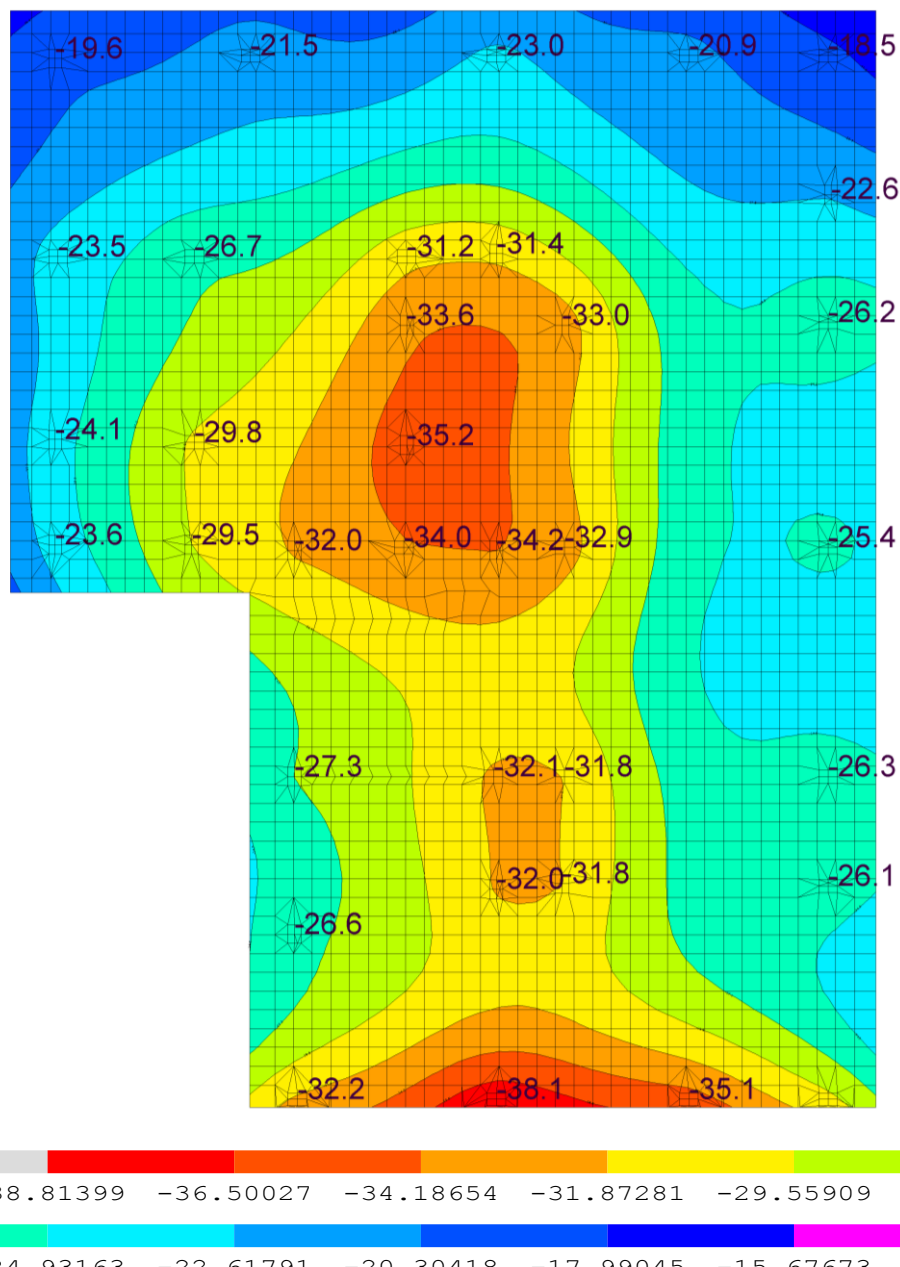
Инв. № подл.	Полпись и дата	Взам. инв. №

Изм.	Кол.	Лист	№	Подп.	Дата

05/08-2019 ПР-ПР1

Лист
56

3.1.5 Деформации монолитной фундаментной плиты.



Комбинация - Нормативные длительные нагрузки.

Вывод:

Макс. деформация = 38.10 мм, что меньше предельно допустимого значения [150мм] по приложению Г, СП 22.13330.2016.

Максимальная относительная разность осадок составляет:

$$i = \frac{\Delta s}{L} = \frac{0.0381 - 0.0266}{6.95} = 0.0017 < [0.003],$$

меньше предельно допустимой, по СП 22.13330.2016 (Приложение Г).

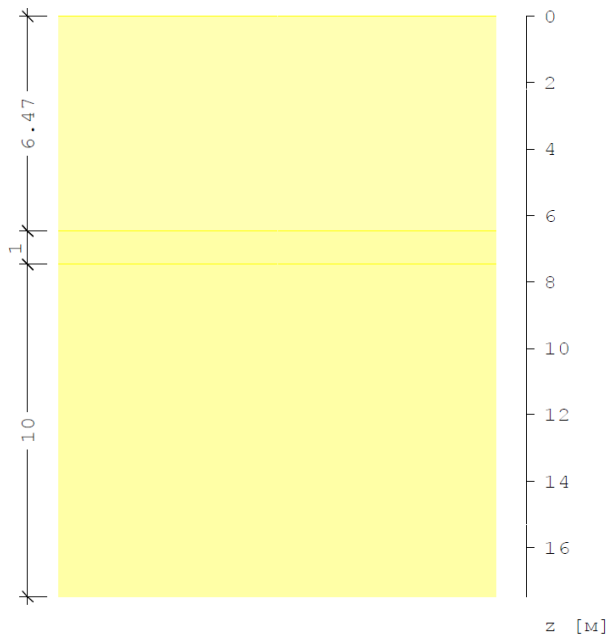
Следовательно максимальные деформации и разности осадок в фундаменте не превышают предельно допустимых.

Инв. № подп.	Полпись и дата	Взам. инв. №

Изм.	Кол.	Лист	№	Подп.	Дата

3.1.6 Расчёт несущей способности основания.

Схема геологического разреза



Нагрузка

N	= 8 241 3	кН
M _x	= 6 655	кНм
M _y	= 1 028 5	кНм

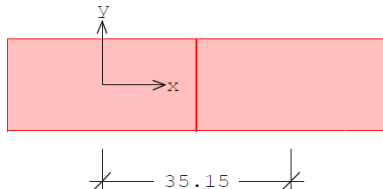
Нагрузка на поверхности земли q = 10.0 кПа

Расчет

согласно СП 22.13330.2011

Соседний фундамент

l _x [м]	l _y [м]	x [м]	y [м]	N [кН]
35.13	16.75	35.15	0.00	8 241 3.4



Данные для определения расчетного сопротивления грунта основания R по формуле (5.7)

γ_{c1}	γ_{c2}	k	$M\gamma$	M_q	M_c	k_z
1.30	1.00	1.00	1.440	6.760	8.880	0.68
b [м]	d ₁ [м]	d _b [м]	γ_{ii} [кН/м ³]	γ'_{ii} [кН/м ³]	ϕ_{ii} [град]	c _{ii} [кПа]
16.75	0.93	1.10	16.2	16.2	33.0	2.0

Примечание

Учтено, что ϕ_{ii} и c_{ii} определены испытаниями

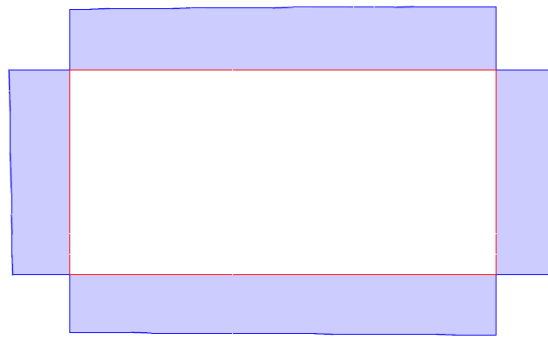
Инв. № подп.	Полпись и дата	Взам. инв. №

Изм.	Кол.	Лист	№	Подп.	Дата

Расчетное сопротивление $R = 633.0$ кПа

Проверка допустимости давления на грунт

Давление на грунт



Наименьшее давление $p_{min} = 133.0$ кПа
Наибольшее давление по оси x $p_{max,x} = 143.0$ кПа
Наибольшее давление по оси y $p_{max,y} = 144.1$ кПа
Наибольшее давление $p_{max} = 147.1$ кПа

$$p_{min} / p_{max} = 0.904 -$$

$$\text{Среднее давление на грунт } p = 140.1 \text{ кПа}$$

$$p / R = 140.1 / 633.0 = 0.221 \leq 1$$

$$p_{max,x} / 1.2R = 143.0 / 759.7 = 0.188 \leq 1$$

$$p_{max,y} / 1.2R = 144.1 / 759.7 = 0.190 \leq 1$$

$$p_{max} / 1.5R = 147.1 / 949.6 = 0.155 \leq 1$$

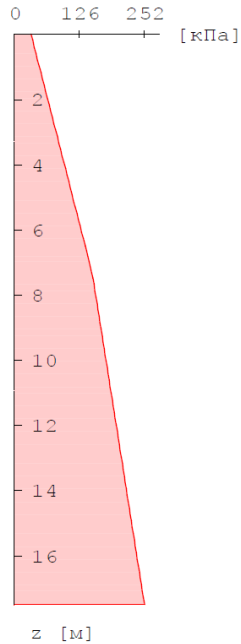
Расчет осадки основания

Напряжения в грунте	z [м]	σ_{zg} [кПа]	σ_{zy} [кПа]	σ_{zp} [кПа]	$\sigma_{zp} / \sigma_{zg}$
	0.00	32.9	32.9	150.1	4.563
	1.00	49.1	32.9	150.0	3.055
	2.00	65.3	32.7	149.3	2.286
	3.00	81.5	32.3	147.6	1.812
	4.00	97.7	31.6	144.8	1.483
	5.00	113.9	30.7	141.0	1.238
	6.00	130.1	29.6	136.4	1.048
	7.00	145.8	28.3	131.1	0.899
	8.00	158.3	26.9	125.6	0.793
	9.00	168.3	25.5	119.9	0.713
	10.00	178.3	24.1	114.3	0.641
	11.00	188.3	22.7	108.9	0.578
	12.00	198.3	21.4	103.6	0.523
	13.00	208.3	20.2	98.7	0.474
	14.00	218.3	19.0	94.0	0.430
	15.00	228.3	17.8	89.6	0.392
	16.00	238.3	16.8	85.4	0.358
	17.00	248.3	15.8	81.6	0.328
	17.47	253.0	15.4	79.8	0.316

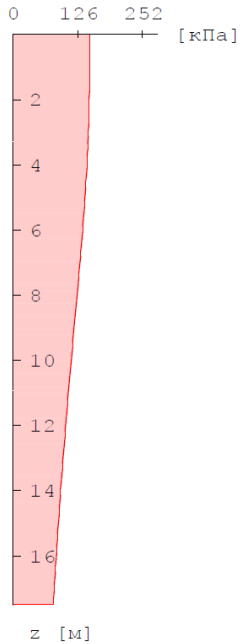
Инв. № подл.	Полпись и дата	Взам. инв. №

Напряжения в грунте

σ_{zg}



σ_{zp}



Глубина сжимаемой толщи

$H_c = 12.45 \text{ м}$

Напряжение при $z = H_c$

$\sigma_{zp} / \sigma_{zg} = 101.4 \text{ кПа}$

$$\sigma_{zp} = 0.500$$

Осадка основания

$s = 3.71 \text{ см}$

$$s / s_u = 3.71 / 8.00 = 0.464 \leq 1$$

Расчет крена фундамента по формуле (5.24)

Коэффициент в формуле (5.24) $D \cdot 10^3 = 31.1 \text{ 1/MPa}$

Примечание

Значение D принято согласно 5.6.44 средним в пределах сжимаемой толщи H_c

Коэффициенты по табл. 5.9

$k_{e,x} = 0.854$

$k_{e,y} = 0.272$

Крен в плоскости оси x

$i_x = 0.00005$

оси у

$i_y = 0.00010$

$$i_x / i_u = 0.00005 / 0.001 = 0.050 \leq 1$$

$$i_y / i_u = 0.00010 / 0.001 = 0.096 \leq 1$$

Инв. № подл.	Полпись и дата	Взам. инв. №

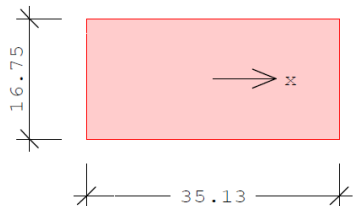
Лист

60

Фундамент

Размеры фундамента

$$\begin{aligned} l_x &= 35.13 \text{ м} \\ l_y &= 16.75 \text{ м} \end{aligned}$$



Глубина заложения фундамента
от уровня планировки $d = 2.03 \text{ м}$
от поверхности рельефа $d_n = 2.08 \text{ м}$

Конструктивная схема сооружения является гибкой

Толщина грунта выше подошвы $h_s = 0.00 \text{ м}$
Толщина конструкции пола $h_{cf} = 0.60 \text{ м}$
Уд. вес конструкции пола $\gamma_{cf} = 25.0 \text{ кН/м}^3$

Грунт

Удельный вес грунта выше уровня подошвы фундамента
нормативное значение $\gamma_0 = 16.2 \text{ кН/м}^3$

Слой	Название	h [м]	Вид грунта	γ_s [кН/м ³]	γ [кН/м ³]	W [%]
1	2	6.71	Песок мелкий	26.5	16.2	3.0
2	3	1.60	Песок сред. круп.	26.5	15.3	14.0
3	4	10.00	Песок сред. круп.	26.5	19.6	22.0

Взвешивание в воде учитывается в слое 3

Характеристики
грунта

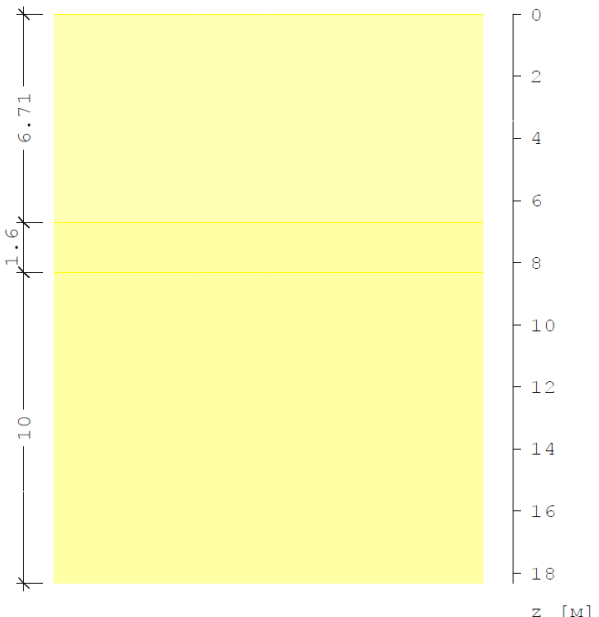
Слой	с _{ii} [кПа]	φ_{ii} [град]	E [МПа]	E _e [МПа]	v [-]	γ_{sv} [кН/м ³]
1	2.0	33.0	26.6	133.0	0.30	
2	1.0	33.0	32.6	163.0	0.30	
3	1.0	34.0	34.1	170.5	0.30	10.0

 γ_{sv} – удельный вес с учетом взвешивания в воде

Инв. № подл.	Подпись и дата	Взам. инв. №

Изм.	Кол.	Лист	№	Подп.	Дата

Схема геологического разреза



Нагрузка

$$\begin{array}{lll} N & = & 82413 \quad \text{kH} \\ M_x & = & 6655 \quad \text{kNm} \\ M_y & = & 10285 \quad \text{kNm} \end{array}$$

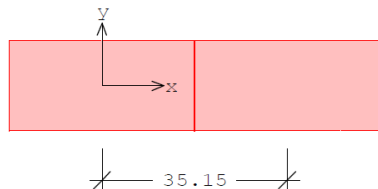
Нагрузка на поверхности земли q = 10.0 kPa

Расчет

согласно СП 22.13330.2011

Соседний фундамент

l_x [м]	l_y [м]	x [м]	y [м]	N [кН]
35.13	16.75	35.15	0.00	82413.4



Данные для определения расчетного сопротивления грунта основания R по формуле (5.7)

γ_{c1}	γ_{c2}	k	$M\gamma$	M_q	M_c	k_z
1.30	1.00	1.00	1.440	6.760	8.880	0.68

b [м]	d_1 [м]	d_b [м]	γ_{II} [кН/м ³]	γ'_{II} [кН/м ³]	ϕ_{II} [град]	c_{II} [кПа]
16.75	0.93	1.10	16.2	16.2	33.0	2.0

Примечание

Учтено, что ϕ_{II} и c_{II} определены испытаниями

Инв. № подл.	Полпись и дата	Взам. инв. №

Лист

62

05/08-2019 ПР-РР1

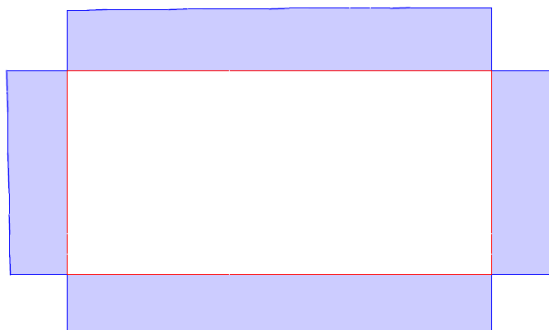
Изм.	Кол.	Лист	№	Подп.	Дата

Расчетное сопротивление

R = 633.0 кПа

Проверка допустимости давления на грунт

Давление на грунт

Наименьшее давление $p_{min} = 133.0$ кПаНаибольшее давление по оси x $p_{max,x} = 143.0$ кПаНаибольшее давление по оси y $p_{max,y} = 144.1$ кПаНаибольшее давление $p_{max} = 147.1$ кПа

$$p_{min} / p_{max} = 0.904 -$$

Среднее давление на грунт $p = 140.1$ кПа

$$p / R = 140.1 / 633.0 = 0.221 \leq 1$$

$$p_{max,x} / 1.2R = 143.0 / 759.7 = 0.188 \leq 1$$

$$p_{max,y} / 1.2R = 144.1 / 759.7 = 0.190 \leq 1$$

$$p_{max} / 1.5R = 147.1 / 949.6 = 0.155 \leq 1$$

Расчет осадки основания

Напряжения в грунте		z [м]	σ_{zg} [кПа]	σ_{zy} [кПа]	σ_{zp} [кПа]	$\sigma_{zp} / \sigma_{zg}$
0.00	32.9	32.9	150.1	4.563		
1.00	49.1	32.9	150.0	3.055		
2.00	65.3	32.7	149.3	2.287		
3.00	81.5	32.3	147.6	1.812		
4.00	97.7	31.6	144.8	1.483		
5.00	113.9	30.7	141.0	1.238		
6.00	130.1	29.6	136.4	1.048		
7.00	146.0	28.3	131.1	0.898		
8.00	161.3	26.9	125.6	0.778		
9.00	173.0	25.5	119.9	0.693		
10.00	183.0	24.1	114.3	0.625		
11.00	193.0	22.7	108.9	0.564		
12.00	203.0	21.4	103.6	0.511		
13.00	213.0	20.2	98.7	0.463		
14.00	223.0	19.0	94.0	0.421		
15.00	233.0	17.8	89.6	0.384		
16.00	243.0	16.8	85.4	0.352		
17.00	253.0	15.8	81.6	0.322		
18.00	263.0	14.9	78.0	0.296		
18.31	266.1	14.6	76.9	0.289		

Инв. № подп.	Полпись и дата	Взам. инв. №

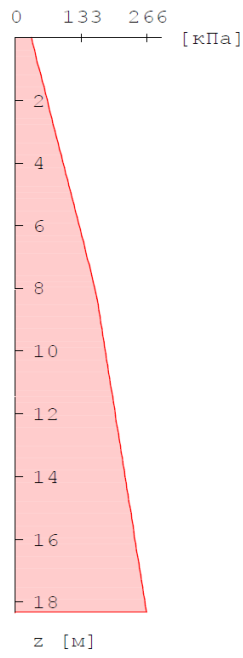
Изм.	Кол.	Лист	№	Подп.	Дата

05/08-2019 ПР-PP1

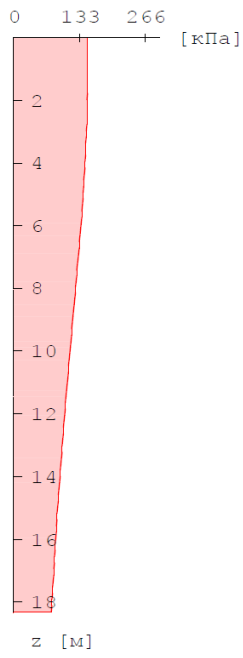
Лист

Напряжения в грунте

σ_{zg}



σ_{zp}



Глубина сжимаемой толщи

$$H_c = 12.21 \text{ м}$$

Напряжение при $z = H_c$

$$\sigma_{zp} / \sigma_{zg} = 102.6 / 133 = 0.763 \text{ кПа}$$

Осадка основания

$$s = 3.69 \text{ см}$$

$$s / s_u = 3.69 / 8.00 = 0.461 \leq 1$$

Расчет крена фундамента по формуле (5.24)

Коэффициент в формуле (5.24) $D \cdot 10^3 = 31.4 \text{ 1/MPa}$

Примечание

Значение D принято согласно 5.6.44 средним в пределах сжимаемой толщи H_c

Коэффициенты по табл. 5.9

$$\begin{aligned} k_{e,x} &= 0.854 \\ k_{e,y} &= 0.272 \end{aligned}$$

Крен в плоскости оси x

$$\begin{aligned} i_x &= 0.00005 \\ i_y &= 0.00010 \end{aligned}$$

$$i_x / i_u = 0.00005 / 0.001 = 0.051 \leq 1$$

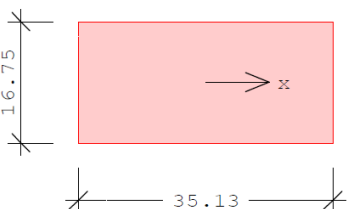
$$i_y / i_u = 0.00010 / 0.001 = 0.097 \leq 1$$

Инв. № подп.	Полпись и дата	Взам. инв. №						
Изм.	Кол.	Лист	№	Подп.	Дата			

Фундамент

Размеры фундамента

$$\begin{array}{lcl} l_x & = & 35.13 \\ l_y & = & 16.75 \end{array}$$



Глубина заложения фундамента

$$\begin{array}{lcl} \text{от уровня планировки} & d & = 2.03 \\ \text{от поверхности рельефа} & d_n & = 2.08 \end{array}$$

Конструктивная схема сооружения является гибкой

$$\begin{array}{lcl} \text{Толщина грунта выше подошвы} & h_s & = 0.00 \\ \text{Толщина конструкции пола} & h_{cf} & = 0.60 \\ \text{Уд. вес конструкции пола} & \gamma_{cf} & = 25.0 \text{ кН/м}^3 \end{array}$$

Грунт

Удельный вес грунта выше уровня подошвы фундамента нормативное значение

$$\gamma_0 = 16.2 \text{ кН/м}^3$$

Слой	Название	h [м]	Вид грунта	γ_s [кН/м ³]	γ [кН/м ³]	W [%]
1	2	5.26	Песок мелкий	26.5	16.2	3.0
2	3	2.40	Песок сред. круп.	26.5	15.3	14.0
3	4	10.00	Песок сред. круп.	26.5	19.6	22.0

Взвешивание в воде учитывается в слое 3

Характеристики грунта

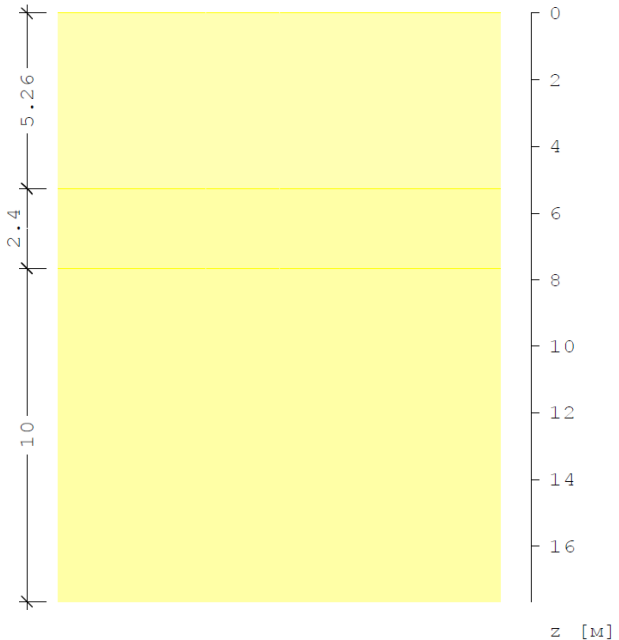
Слой	C_{II} [кПа]	ϕ_I [град]	E [МПа]	E _e [МПа]	v [-]	γ_{sb} [кН/м ³]
1	2.0	33.0	26.6	133.0	0.30	
2	1.0	33.0	32.6	163.0	0.30	
3	1.0	34.0	34.1	170.5	0.30	10.0

γ_{sb} – удельный вес с учетом взвешивания в воде

Инв. № подп.	Полпись и дата	Взам. инв. №

Изм.	Кол.	Лист	№	Подп.	Дата
------	------	------	---	-------	------

Схема геологического разреза



Нагрузка

$$\begin{aligned} N &= 82413 \text{ кН} \\ M_x &= 6655 \text{ кНм} \\ M_y &= 10285 \text{ кНм} \end{aligned}$$

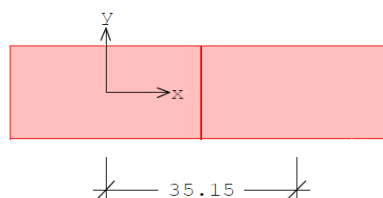
Нагрузка на поверхности земли q = 10.0 кПа

Расчет

согласно СП 22.13330.2011

Соседний фундамент

l_x [м]	l_y [м]	x [м]	y [м]	N [кН]
35.13	16.75	35.15	0.00	82413.4



Данные для определения расчетного сопротивления грунта основания R по формуле (5.7)

γ_{c1}	γ_{c2}	k	M_γ	M_q	M_c	k_z
1.31	1.00	1.00	1.440	6.760	8.880	0.68

b [м]	d_1 [м]	d_b [м]	γ_{II} [кН/м ³]	γ'_{II} [кН/м ³]	ϕ_{II} [град]	c_{II} [кПа]
16.75	0.93	1.10	16.1	16.2	33.0	1.9

Примечание

Учтено, что ϕ_{II} и c_{II} определены испытаниями

Инв. № подл.	Полпись и дата	Взам. инв. №

Изм.	Кол.	Лист	№	Подп.	Дата

05/08-2019 ПР-РР1

Примечание

Значения γ_{c1} , γ_{c2} , γ_{II} , ϕ_{II} и c_{II} приняты средними в пределах слоёв до глубины $z = 5.67$ м

Расчетное сопротивление

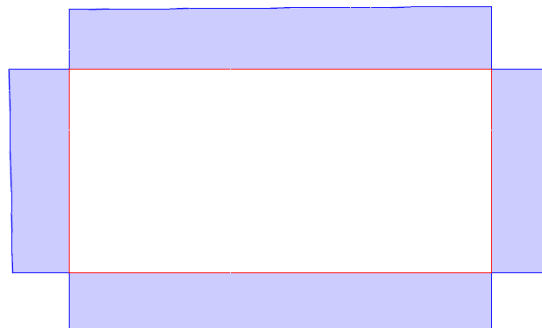
R

= 634.3

кПа

Проверка допустимости давления на грунт

Давление на грунт

Наименьшее давление $p_{min} = 133.0$ кПаНаибольшее давление по оси x $p_{max,x} = 143.0$ кПаНаибольшее давление по оси y $p_{max,y} = 144.1$ кПаНаибольшее давление $p_{max} = 147.1$ кПа

$$p_{min} / p_{max} = 0.904 -$$

Среднее давление на грунт $p = 140.1$ кПа

$$p / R = 140.1 / 634.3 = 0.221 \leq 1$$

$$p_{max,x} / 1.2R = 143.0 / 761.2 = 0.188 \leq 1$$

$$p_{max,y} / 1.2R = 144.1 / 761.2 = 0.189 \leq 1$$

$$p_{max} / 1.5R = 147.1 / 951.5 = 0.155 \leq 1$$

Расчет осадки основания

Напряжения в грунте	z [м]	σ_{zg} [кПа]	$\sigma_{z\gamma}$ [кПа]	σ_{zp} [кПа]	$\sigma_{zp} / \sigma_{zg}$
	0.00	32.9	32.9	150.1	4.563
	1.00	49.1	32.9	150.0	3.055
	2.00	65.3	32.7	149.3	2.286
	3.00	81.5	32.3	147.6	1.812
	4.00	97.7	31.6	144.8	1.483
	5.00	113.9	30.7	141.0	1.238
	6.00	129.4	29.6	136.4	1.054
	7.00	144.7	28.3	131.1	0.906
	8.00	158.2	26.9	125.6	0.794
	9.00	168.2	25.5	119.9	0.713
	10.00	178.2	24.1	114.3	0.642
	11.00	188.2	22.7	108.9	0.578
	12.00	198.2	21.4	103.6	0.523
	13.00	208.2	20.2	98.7	0.474
	14.00	218.2	19.0	94.0	0.431
	15.00	228.2	17.8	89.6	0.392
	16.00	238.2	16.8	85.4	0.359

Инв. № подл.	Полпись и дата	Взам. инв. №

Лист

67

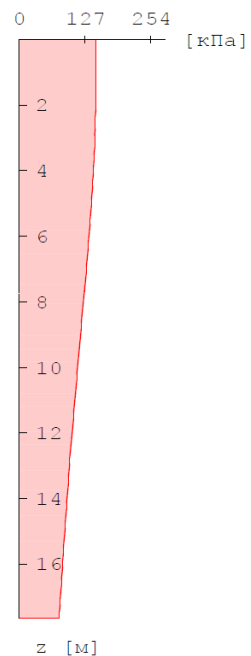
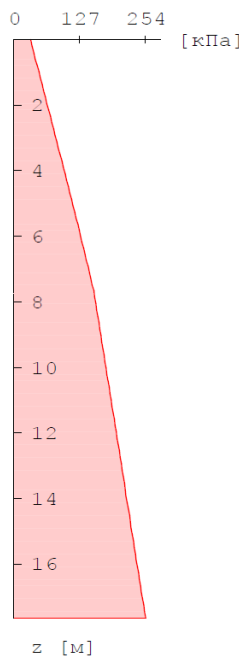
05/08-2019 ПР-PP1

17.00	248.2	15.8	81.6	0.329
17.66	254.8	15.2	79.2	0.311

Напряжения в грунте

σ_{zg}

σ_{zp}



Глубина сжимаемой толщи H_c = 12.45 м

Напряжение при $z = H_c$ $\sigma_{zp} / \sigma_{zg}$ = 101.4 / 0.500 = 0.500 кПа

Осадка основания s = 3.64 см

$$s / s_u = 3.64 / 8.00 = 0.455 \leq 1$$

Расчет крена фундамента по формуле (5.24)

Коэффициент в формуле (5.24) $D \cdot 10^3 = 30.5$ 1/МПа

Примечание

Значение D принято согласно 5.6.44 средним в пределах сжимаемой толщи H_c

Коэффициенты по табл. 5.9 $k_{e,x} = 0.854$ $k_{e,y} = 0.272$

Крен в плоскости оси x $i_x = 0.00005$ $i_y = 0.00009$

$$i_x / i_u = 0.00005 / 0.001 = 0.049 \leq 1$$

$$i_y / i_u = 0.00009 / 0.001 = 0.094 \leq 1$$

Инв. № подп.	Полпись и дата	Взам. инв. №

Изм.	Кол.	Лист	№	Подп.	Дата

3.1.7 Расчёт на продавливание фундаментной плиты.

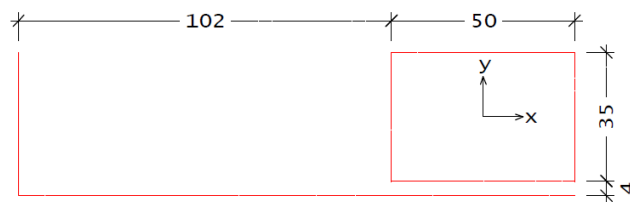
Расчет на продавливание угловой, краевой и средней колонной:

Pos. уг_ГК8

Расчет на продавливание

Расчетная схема

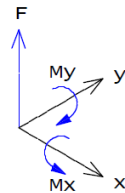
Размеры сечения колонны	c_x	=	50	см
	c_y	=	35	см
Толщина плиты	h	=	60	см
Рабочая высота сечения плиты	h_{0x}	=	51.3	см
	h_{0y}	=	51.3	см
Расстояния до краев плиты	a_x	=	102	см
	a_y	=	4	см



Нагрузки

Nº	F [кН]	M_x [кНм]	M_y [кНм]	p [кПа]
1	-1308.6	72.7	181.3	100.0
2	-996.9	91.6	-185.7	100.0

Положительные направления силы и моментов



Расчет

Согласно СП 63.13330.2012 Бетон и железобетон.кон.

Бетон	$B 25$ (тяжелый)	
Коэффициент условий работы	$\gamma_b = 1.000$	-
Сопротивление бетона	$\gamma_b R_b t = 1.050$	МПа

Поперечная арматура	A_{500}	
Сопротивление арматуры	$R_s w = 300$	МПа

Расчетный периметр	$u = 230.6$	см
--------------------	-------------	----

Координаты центра тяжести расчетного контура		
$x_c = 0.0$ см	$y_c = 25.0$ см	

Моменты инерции контура относительно осей x_0, y_0		
$I_{x_0} = 0.1044$ м ³	$I_{y_0} = 0.4183$ м ³	

Моменты сопротивления расчетного контура		
$W_{x_0} = 0.2244$ м ²	$W_{y_0} = 0.8259$ м ²	

x_0, y_0 - центральные оси расчетного контура

Инв. № подл.	Полпись и дата	Взам. инв. №

Изм. Кол. Лист № Подп. Дата

05/08-2019 ПР-PP1

Лист
69

Наиболее опасной нагрузкой является нагрузка №1

Равнодействующая давления $P = 137.8$ кН
Площадь при учете давления $A_p = 13780$ см²

Примечание. Площадь A_p ограничивается контуром на расстоянии $h_0/2$ от расчетного контура

Координаты точки приложения равнодействующей P
 $x_p = 0.0$ см $y_p = 23.7$ см

Моменты равнодействующей P относительно осей x, y
 $M_{px} = 32.6$ кНм $M_{py} = -0.0$ кНм

Продавливающая сила с учетом давления грунта
 $F = -1171$ кН

Расчетные моменты относительно осей x_0, y_0
 $M_{x0} = 398.3$ кНм $M_{y0} = 181.3$ кНм

Пределевые усилия в бетоне

F_b, ult [кН]	$M_{bx, ult}$ [кНм]	$M_{by, ult}$ [кНм]
1242.1	120.9	444.9

Требуемая погонная

площадь арматуры $A_{sw}/s_w = 9.29$ см²/м

Пределевые усилия в арматуре

$F_{sw, ult}$ [кН]	$M_{sw, x, ult}$ [кНм]	$M_{sw, y, ult}$ [кНм]
514.1	50.0	184.1

Условие прочности

$$F / F_{ult} + M_x / M_{x, ult} + M_y / M_{y, ult} = 0.6667 + 0.2966 + 0.0367 = 1.000 \leq 1$$

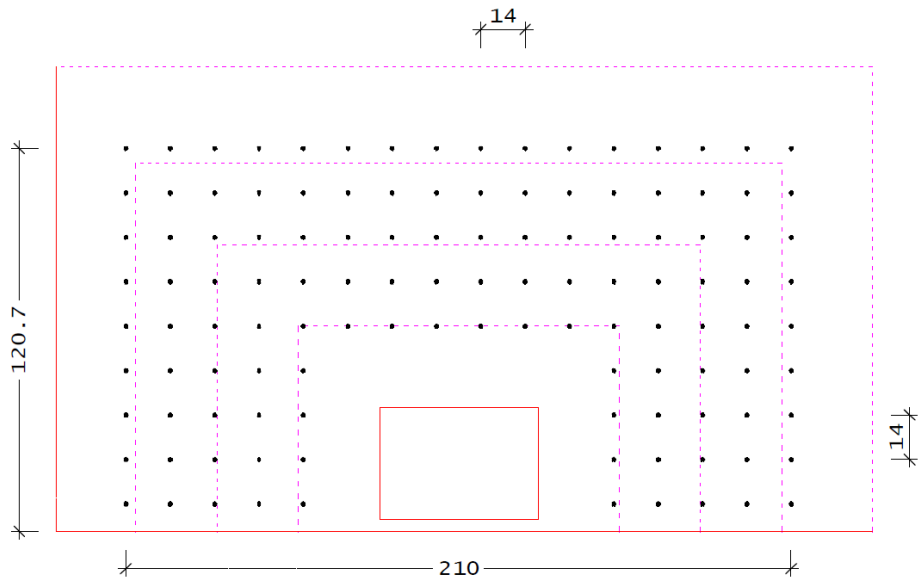
Вклад моментов ограничен согласно 8.1.4.6

Конструирование

Диаметр хомутов $d_{sw} = 12$ мм
Шаг хомутов $s_w = 14$ см
Погонная площадь арматуры $A_{sw}/s_w = 16.16$ см²/м
 $A_{sw} = 2 * 1.13 = 2.26$ см²
Число хомутов $n_w = 120$ -

Инв. № подл.	Полпись и дата	Взам. инв. №

Изм.	Кол.	Лист	№	Подп.	Дата



Проверка прочности плиты за границей расположения поперечной арматуры

Расчетный периметр $u = 403.9$ см

Координаты центра тяжести расчетного контура
 $x_c = 48.5$ см $y_c = 98.3$ см

Моменты инерции контура относительно осей x_0, y_0
 $I_{x0} = 0.7603$ м³ $I_{y0} = 2.9739$ м³

Моменты сопротивления расчетного контура
 $W_{x0} = 0.6346$ м² $W_{y0} = 1.6947$ м²

Равнодействующая давления $P = 376.9$ кН
 Площадь при учете давления $A_p = 376.94$ см²

Координаты точки приложения равнодействующей P
 $x_p = 1.8$ см $y_p = 51.6$ см

Моменты равнодействующей P относительно осей x, y
 $M_{px} = 194.7$ кНм $M_{py} = -6.9$ кНм

Продавливающая сила с учетом давления грунта
 $F = -931.7$ кН

Расчетные моменты относительно осей x_0, y_0
 $M_{x0} = 1183$ кНм $M_{y0} = -277$ кНм

Предельные усилия в бетоне	$F_{b, ult}$ [кН]	$M_{bx, ult}$ [кНм]	$M_{by, ult}$ [кНм]
	2175.9	341.8	912.9

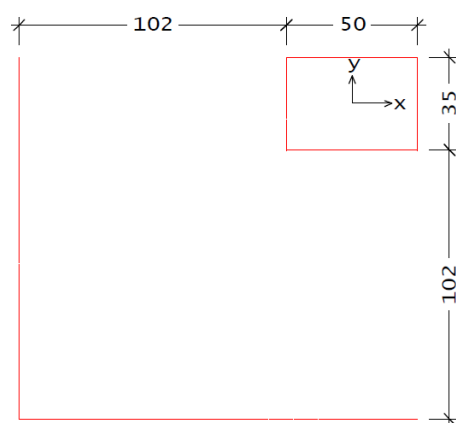
Условие прочности $F / F_{ult} + M_x / M_{x, ult} + M_y / M_{y, ult} =$
 $0.4282 + 0.1968 + 0.0173 = 0.642 \leq 1$

Вклад моментов ограничен согласно 8.1.4.6

Инв. № подл.	Подпись и дата	Взам. инв. №

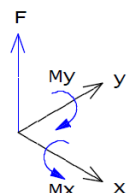
Расчетная схема

Размеры сечения колонны	c_x	=	50	см
	c_y	=	35	см
Толщина плиты	h	=	60	см
Рабочая высота сечения плиты	h_{0x}	=	51.3	см
	h_{0y}	=	51.3	см
Расстояния до краев плиты	a_x	=	102	см
	a_y	=	102	см

Нагрузки

$\#$	F [кН]	M_x [кНм]	M_y [кНм]	p [кПа]
1	-1264.7	151.1	-130.8	80.0
2	-1549.2	72.1	184.3	80.0
3	-1072.7	-100.0	-162.4	80.0

Положительные направления силы и моментов

Расчет

Согласно СП 63.13330.2012 Бетон. и железобетон. кон.

Бетон	$B 25$ (тяжелый)
Коэффициент условий работы	$\gamma_b = 1.000$ -
Сопротивление бетона	$\gamma_b R_{bt} = 1.050$ МПа
Поперечная арматура	A_{500}
Сопротивление арматуры	$R_{sw} = 300$ МПа
Расчетный периметр	$u = 375.2$ см
Моменты инерции расчетного контура	
$I_x = 0.4843 \text{ м}^3$	$I_y = 0.6160 \text{ м}^3$

Инв. № подл.	Полпись и дата	Взам. инв. №

Лист

72

Моменты сопротивления расчетного контура
 $W_x = 1.1225 \text{ м}^2$ $W_y = 1.2163 \text{ м}^2$

Наиболее опасной нагрузкой является нагрузка №2

Равнодействующая давления $P = 168.0 \text{ кН}$
Площадь при учете давления $A_p = 20998 \text{ см}^2$

Примечание. Площадь A_p ограничивается контуром на расстоянии $h_0/2$ от расчетного контура

Продавливающая сила с учетом давления грунта
 $F = -1381 \text{ кН}$

Пределные усилия
в бетоне

$F_{b, \text{ult}}$ [кН]	$M_{bx, \text{ult}}$ [кНм]	$M_{by, \text{ult}}$ [кНм]
2021.0	604.6	655.1

Требуемая погонная

площадь арматуры $A_{sw}/s_w = 5.61 \text{ см}^2/\text{м}$

Пределные усилия
в арматуре

$F_{sw, \text{ult}}$ [кН]	$M_{sw, x, \text{ult}}$ [кНм]	$M_{sw, y, \text{ult}}$ [кНм]
505.3	151.2	163.8

Условие прочности

$$F / F_{ult} + M_x / M_{x, \text{ult}} + M_y / M_{y, \text{ult}} = 0.5467 + 0.0814 + 0.1920 = 0.820 \leq 1$$

Вклад моментов ограничен согласно 8.1.4.6

Конструирование

Диаметр хомутов $d_{sw} = 10 \text{ мм}$

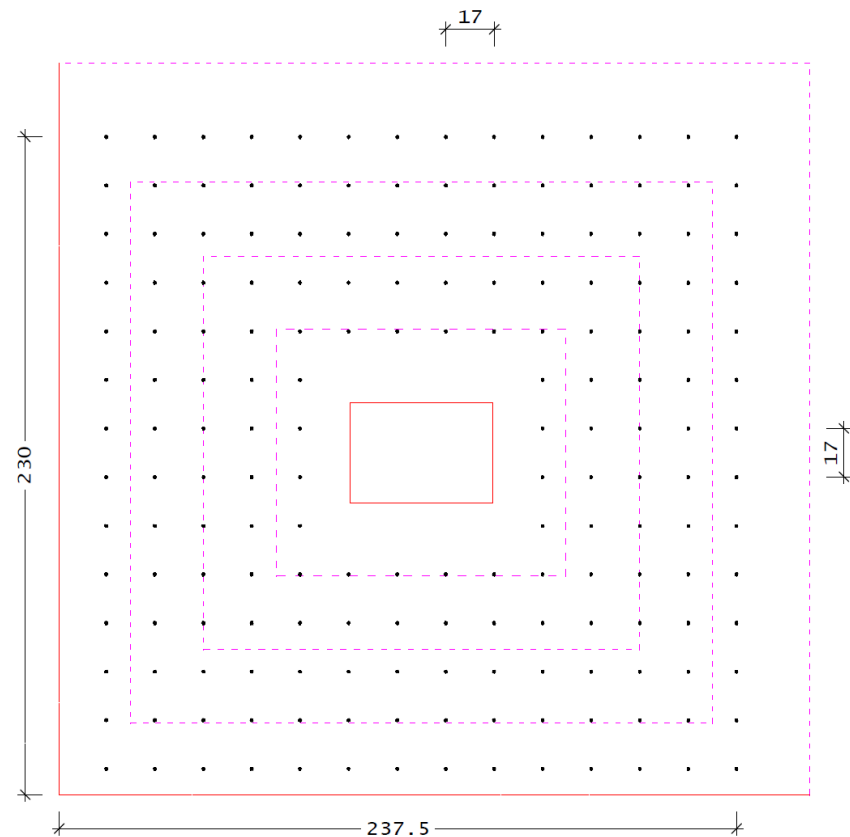
Шаг хомутов $s_w = 17 \text{ см}$

Погонная площадь арматуры $A_{sw}/s_w = 9.24 \text{ см}^2/\text{м}$
 $A_{sw} = 2 * 0.79 = 1.57 \text{ см}^2$

Число хомутов $n_w = 180$

Инв. № подл.	Подпись и дата	Взам. инв. №

Изм.	Кол.	Лист	№	Подп.	Дата



Проверка прочности плиты за границей расположения поперечной арматуры

Расчетный периметр $u = 518.8$ см

Координаты центра тяжести расчетного контура
 $x_c = 69.4$ см $y_c = 73.2$ см

Моменты инерции контура относительно осей x_0, y_0
 $I_{x_0} = 3.5111$ м³ $I_{y_0} = 3.7634$ м³

Моменты сопротивления расчетного контура
 $W_{x_0} = 1.8224$ м² $W_{y_0} = 1.9161$ м²

Равнодействующая давления $P = 538.2$ кН
 Площадь при учете давления $A_p = 67274$ см²

Координаты точки приложения равнодействующей P
 $x_p = 4.6$ см $y_p = 8.3$ см

Моменты равнодействующей P относительно осей x, y
 $M_{p_x} = 44.8$ кНм $M_{p_y} = -24.6$ кНм

Продавливающая сила с учетом давления грунта
 $F = -1011$ кН

Расчетные моменты относительно осей x_0, y_0
 $M_{x_0} = 856.6$ кНм $M_{y_0} = -542.1$ кНм

Предельные усилия в бетоне	F_b, ult [кН]	$M_{p_x, ult}$ [кНм]	$M_{p_y, ult}$ [кНм]
	2794.5	981.7	1032.1

Условие прочности $F / F_{ult} + M_x / M_{x, ult} + M_y / M_{y, ult} =$
 $0.3618 + 0.1129 + 0.0680 = 0.543 <= 1$

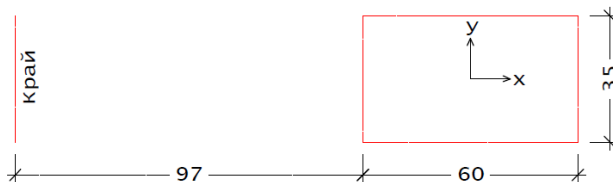
Вклад моментов ограничен согласно 8.1.46

Инв. № подл.	Полпись и дата	Взам. инв. №

Изм.	Кол.	Лист	№	Подп.	Дата

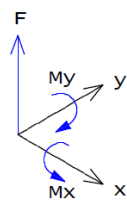
Расчетная схема

Размеры сечения колонны	c_x = 60	см
	c_y = 35	см
Толщина плиты	h = 60	см
Рабочая высота сечения плиты	h_{0x} = 51.3	см
	h_{0y} = 51.3	см
Расстояние до края плиты	a = 97	см

Нагрузки

№	F [кН]	M_x [кНм]	M_y [кНм]	p [кПа]
1	-2616.7	89.6	-284.8	100.0
2	-2628.9	-75.2	-263.3	100.0

Положительные направления силы и моментов

Расчет

Согласно СП 63.13330.2012 Бетон и железобетон.кон.

Бетон	$B 25$ (тяжелый)	-
Коэффициент условий работы	$\gamma_b = 1.000$	
Сопротивление бетона	$\gamma_b R_{bt} = 1.050$	МПа

Поперечная арматура	A_{500}	-
Сопротивление арматуры	R_{sw}	МПа

Расчетный периметр	u = 395.2	см
--------------------	-------------	----

Моменты инерции расчетного контура	I_x = 0.5216 м ³	I_y = 0.7643 м ³	-
------------------------------------	-------------------------------	-------------------------------	---

Моменты сопротивления расчетного контура	W_x = 1.2088 м ²	W_y = 1.3734 м ²	-
--	-------------------------------	-------------------------------	---

Наиболее опасной нагрузкой является нагрузка №1

Равнодействующая давления	P = 223.7	кН
Площадь при учете давления	A_p = 22374	см ²

Примечание. Площадь A_p ограничивается контуром на расстоянии $h_0 / 2$ от расчетного контура

Инв. № подп.	Полпись и дата	Взам. инв. №

Лист

75

Продавливающая сила с учетом давления грунта
 $F = -2393$ кН

Пределевые усилия в бетоне

$F_{b,ult}$ [кН]	$M_{bx,ult}$ [кНм]	$M_{by,ult}$ [кНм]
2128.7	651.1	739.8

Требуемая погонная

площадь арматуры

$$A_{sw}/s_w = 14.51 \text{ см}^2/\text{м}$$

Пределевые усилия в арматуре

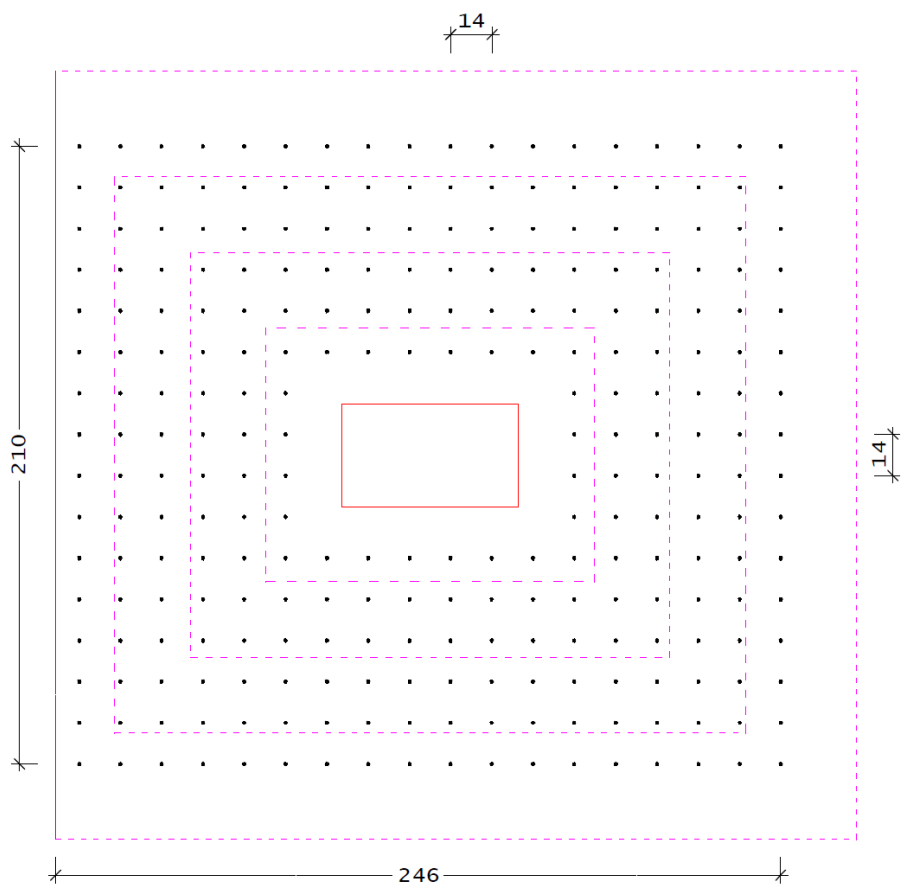
$F_{sw,ult}$ [кН]	$M_{sw,x,ult}$ [кНм]	$M_{sw,y,ult}$ [кНм]
1376.7	421.1	478.4

Условие прочности

$$F / F_{ult} + M_x / M_{x,ult} + M_y / M_{y,ult} = 0.6826 + 0.0836 + 0.2338 = 1.000 \leq 1$$

Конструирование

$$\begin{aligned} \text{Диаметр хомутов} & d_{sw} = 10 \text{ мм} \\ \text{Шаг хомутов} & s_w = 14 \text{ см} \\ \text{Погонная площадь арматуры} & A_{sw}/s_w = 16.83 \text{ см}^2/\text{м} \\ A_{sw} = 3 * 0.79 & = 2.36 \text{ см}^2 \\ \text{Число хомутов} & n_w = 264 \end{aligned}$$



Проверка прочности

плиты за границей расположения поперечной арматуры

Расчетный периметр $u = 804.6$ см

Инв. № подл.	Полпись и дата	Взам. инв. №

Изм.	Кол.	Лист	№	Подп.	Дата

Координаты центра тяжести расчетного контура
 $x_c = 52.9$ см $y_c = 0.0$ см

Моменты инерции контура относительно осей x_0, y_0
 $I_{x_0} = 10.7606$ м³ $I_{y_0} = 6.5961$ м³

Моменты сопротивления расчетного контура
 $W_{x_0} = 8.2362$ м² $W_{y_0} = 3.6658$ м²

Наиболее опасной нагрузкой является нагрузка №2

Равнодействующая давления $P = 709.8$ кН
 Площадь при учете давления $A_p = 70982$ см²

Координаты точки приложения равнодействующей P
 $x_p = 8.8$ см $y_p = 0.0$ см

Моменты равнодействующей P относительно осей x, y
 $M_{px} = 0.0$ кНм $M_{py} = -62.6$ кНм

Продавливающая сила с учетом давления грунта
 $F = -1919$ кН

Расчетные моменты относительно осей x_0, y_0
 $M_{x_0} = -75$ кНм $M_{y_0} = -1342$ кНм

Пределевые усилия в бетоне	F_b, ult [кН] 4334.0	$M_{bx, ult}$ [кНм] 4436.4	$M_{by, ult}$ [кНм] 1974.6
----------------------------	------------------------------	----------------------------------	----------------------------------

Условие прочности $F / F_{ult} + M_x / M_{x, ult} + M_y / M_{y, ult} =$
 $0.4428 + 0.0054 + 0.2160 = 0.664 <= 1$

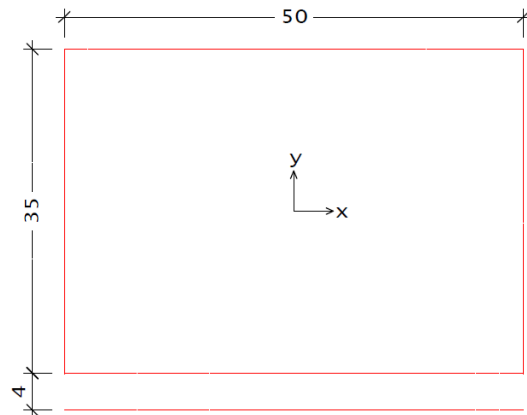
Вклад моментов ограничен согласно 8.1.4.6

Инв. № подл.	Подпись и дата	Взам. инв. №

Изм.	Кол.	Лист	№	Подп.	Дата

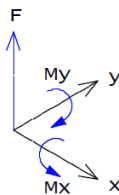
Расчетная схема

Размеры сечения колонны	c_x = 50	см
	c_y = 35	см
Толщина плиты	h = 60	см
Рабочая высота сечения плиты	h_{0x} = 51.3	см
	h_{0y} = 51.3	см
Расстояние до края плиты	a = 4	см

Нагрузки

Nº	F [кН]	M_x [кНм]	M_y [кНм]	p [кПа]
1	-1686.9	98.8	150.8	100.0
2	-1182.6	62.1	-175.8	90.0

Положительные направления силы и моментов

Расчет

Согласно СП 63.13330.2012 Бетон и железобетон.кон.

Бетон	B 25 (тяжелый)
Коэффициент условий работы	γ_b = 1.000
Сопротивление бетона	$\gamma_b R_{bt}$ = 1.050 МПа
Поперечная арматура	A_{500}
Сопротивление арматуры	R_{sw} = 300 МПа
Расчетный периметр	u = 230.6 см
Координаты центра тяжести расчетного контура	
x_c = 0.0 см	y_c = 25.0 см

Инв. № подл.	Подпись и дата	Взам. инв. №

Лист

78

Моменты инерции контура относительно осей x_0, y_0
 $I_{x0} = 0.1044 \text{ м}^3$ $I_{y0} = 0.4183 \text{ м}^3$

Моменты сопротивления расчетного контура
 $W_{x0} = 0.2244 \text{ м}^2$ $W_{y0} = 0.8259 \text{ м}^2$

x_0, y_0 - центральные оси расчетного контура

Наиболее опасной нагрузкой является нагрузка №1

Равнодействующая давления $P = 137.8 \text{ кН}$
Площадь при учете давления $A_p = 13780 \text{ см}^2$

Примечание. Площадь A_p ограничивается контуром на расстоянии $h_0/2$ от расчетного контура

Координаты точки приложения равнодействующей P
 $x_p = 0.0 \text{ см}$ $y_p = 23.7 \text{ см}$

Моменты равнодействующей P относительно осей x, y
 $M_{px} = 32.6 \text{ кНм}$ $M_{py} = -0.0 \text{ кНм}$

Продавливающая сила с учетом давления грунта
 $F = -1549 \text{ кН}$

Расчетные моменты относительно осей x_0, y_0
 $M_{x0} = 519.1 \text{ кНм}$ $M_{y0} = 150.8 \text{ кНм}$

Пределные усилия в бетоне

F_b, ult [кН]	$M_{bx, ult}$ [кНм]	$M_{by, ult}$ [кНм]
1242.1	120.9	444.9

Требуемая погонная площадь арматуры $A_{sw}/s_w = 19.54 \text{ см}^2/\text{м}$

Пределные усилия в арматуре

$F_{sw, ult}$ [кН]	$M_{sw, x, ult}$ [кНм]	$M_{sw, y, ult}$ [кНм]
1081.6	105.2	387.4

Условие прочности $F / F_{ult} + M_x / M_{x, ult} + M_y / M_{y, ult} = 0.6667 + 0.3089 + 0.0244 = 1.000 \leq 1$

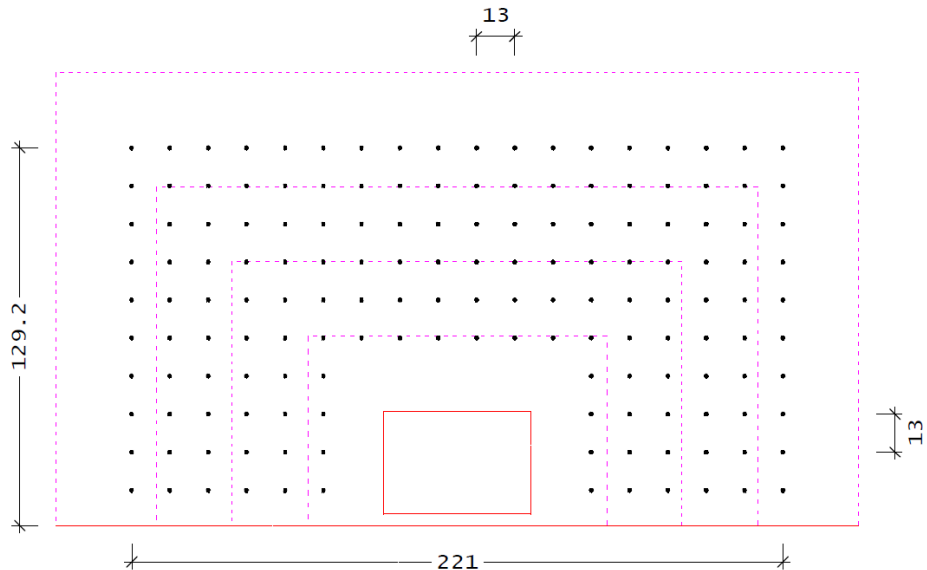
Вклад моментов ограничен согласно 8.1.4.6

Конструирование

Диаметр хомутов	d_{sw}	= 12	мм
Шаг хомутов	s_w	= 13	см
Погонная площадь арматуры	A_{sw}/s_w	= 26.10	см ² /м
$A_{sw} = 3 * 1.13$	= 3.39	см ²	
Число хомутов	n_w	= 156	-

Инв. № подл.	Полпись и дата	Взам. инв. №

Изм.	Кол.	Лист	№	Подп.	Дата
------	------	------	---	-------	------



Проверка прочности плиты за границей расположения поперечной арматуры

Расчетный периметр $u = 581.9$ см

Координаты центра тяжести расчетного контура
 $x_c = 0.0$ см $y_c = 92.1$ см

Моменты инерции контура относительно осей x_0, y_0
 $I_{x_0} = 1.4862$ м³ $I_{y_0} = 7.4215$ м³

Моменты сопротивления расчетного контура
 $W_{x_0} = 1.3080$ м² $W_{y_0} = 5.4510$ м²

Равнодействующая давления $P = 421.5$ кН
 Площадь при учете давления $A_p = 42152$ см²

Координаты точки приложения равнодействующей P
 $x_p = 0.0$ см $y_p = 55.9$ см

Моменты равнодействующей P относительно осей x, y
 $M_{p_x} = 235.6$ кНм $M_{p_y} = -0.0$ кНм

Продавливающая сила с учетом давления грунта
 $F = -1265$ кН

Расчетные моменты относительно осей x_0, y_0
 $M_{x_0} = 1500$ кНм $M_{y_0} = 151$ кНм

Пределевые усилия в бетоне

$F_{b, ult}$ [кН]	$M_{bx, ult}$ [кНм]	$M_{by, ult}$ [кНм]
3134.4	704.6	2936.2

Условие прочности

$$F / F_{ult} + M_x / M_{x, ult} + M_y / M_{y, ult} = \\ 0.4037 + 0.1971 + 0.0048 = 0.606 \leq 1$$

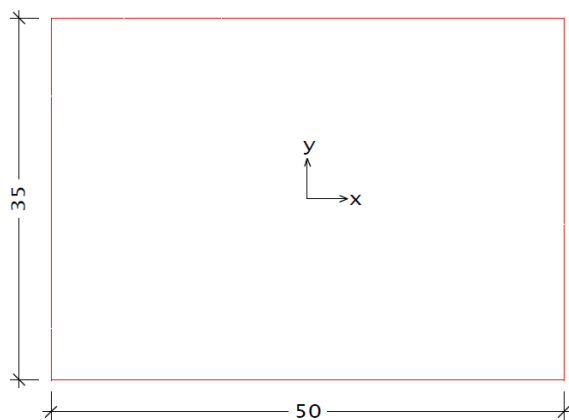
Вклад моментов ограничен согласно 8.1.4.6

Инв. № подл.	Полпись и дата	Взам. инв. №

Изм.	Кол.	Лист	№	Подп.	Дата

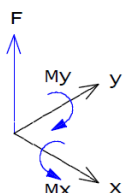
Расчетная схема

Размеры сечения колонны	$c_x = 50$	см
	$c_y = 35$	см
Толщина плиты	$h = 60$	см
Рабочая высота сечения плиты	$h_{0x} = 51.3$	см
	$h_{0y} = 51.3$	см

Нагрузки

Nº	F [кН]	M_x [кНм]	M_y [кНм]	p [кПа]
1	-2638.3	80.1	-191.5	100.0
2	-2914.7	-71.8	147.8	100.0

Положительные направления силы и моментов

Расчет

Согласно СП 63.13330.2012 Бетон и железобетон.кон.

Бетон	$B 25$ (тяжелый)	
Коэффициент условий работы	$\gamma_b = 1.000$	-
Сопротивление бетона	$\gamma_b R_b t = 1.050$	МПа
Поперечная арматура	A_{500}	
Сопротивление арматуры	$R_{sw} = 300$	МПа
Расчетный периметр	$u = 375.2$	см
Моменты инерции расчетного контура		
$I_x = 0.4843 \text{ м}^3$	$I_y = 0.6160 \text{ м}^3$	
Моменты сопротивления расчетного контура		
$W_x = 1.1225 \text{ м}^2$	$W_y = 1.2163 \text{ м}^2$	

Инв. № подл.	Подпись и дата	Взам. инв. №

Лист

81

Наиболее опасной нагрузкой является нагрузка №2

Равнодействующая давления $P = 210.0$ кН
Площадь при учете давления $A_p = 20998$ см²

Примечание. Площадь A_p ограничивается контуром на расстоянии $h_0/2$ от расчетного контура

Продавливающая сила с учетом давления грунта $F = -2705$ кН

Пределные усилия в бетоне

$F_{b, \text{ult}}$ [кН]	$M_{bx, \text{ult}}$ [кНм]	$M_{by, \text{ult}}$ [кНм]
2021.0	604.6	655.1

Требуемая погонная

площадь арматуры $A_{sw}/s_w = 15.32$ см²/м

Пределные усилия в арматуре

$F_{sw, \text{ult}}$ [кН]	$M_{sw, x, \text{ult}}$ [кНм]	$M_{sw, y, \text{ult}}$ [кНм]
1379.7	412.8	447.2

Условие прочности

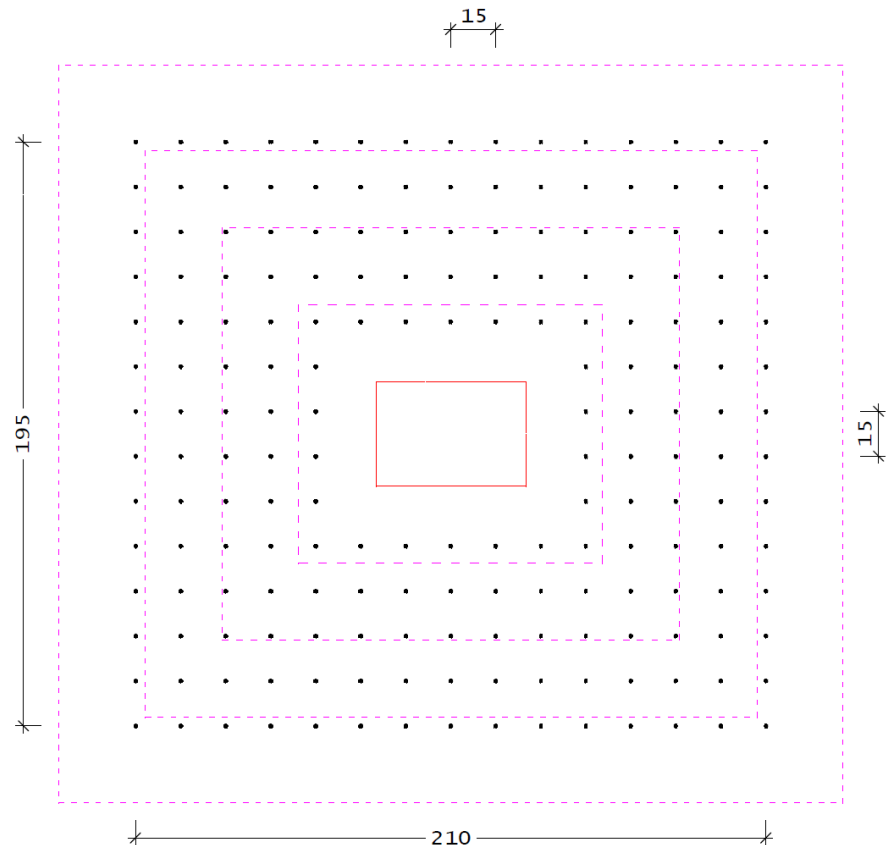
$$F / F_{ult} + M_x / M_{x, \text{ult}} + M_y / M_{y, \text{ult}} = 0.7953 + 0.0706 + 0.1341 = 1.000 \leq 1$$

Конструирование

Диаметр хомутов	d_{sw}	=	12	мм
Шаг хомутов	s_w	=	15	см
Погонная площадь арматуры	A_{sw}/s_w	=	22.62	см ² /м
$A_{sw} = 3 * 1.13$	=	3.39	см ²	-
Число хомутов	n_w	=	190	-

Инв. № подл.	Полпись и дата	Взам. инв. №

Изм.	Кол.	Лист	№	Подп.	Дата



Проверка прочности плиты за границей расположения поперечной арматуры

Расчетный периметр $u = 1015$ см

Моменты инерции расчетного контура
 $I_x = 10.4160$ м³ $I_y = 11.3819$ м³

Моменты сопротивления расчетного контура
 $W_x = 8.4579$ м² $W_y = 8.7117$ м²

Равнодействующая давления $P = 930.3$ кН
 Площадь при учете давления $A_p = 93030$ см²

Продавливающая сила с учетом давления грунта
 $F = -1984$ кН

Предельные усилия в бетоне

$F_{b, ult}$ [кН]	$M_{bx, ult}$ [кНм]	$M_{by, ult}$ [кНм]
5468.4	4555.9	4692.6

Условие прочности

$$F / F_{ult} + M_x / M_{x, ult} + M_y / M_{y, ult} = \\ 0.3629 + 0.0158 + 0.0315 = 0.410 \leq 1$$

Инв. № подл.	Полпись и дата	Взам. инв. №

Изм.	Кол.	Лист	№	Подп.	Дата

Расчетная схема

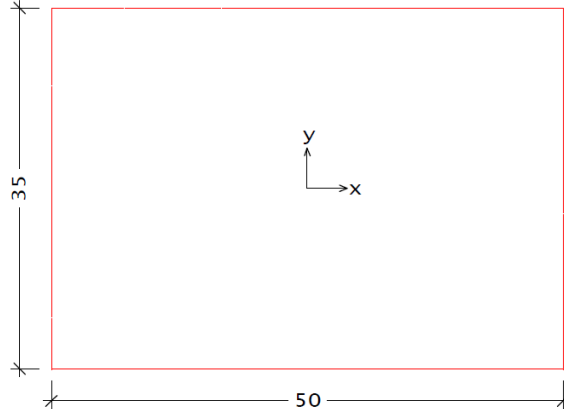
Размеры сечения колонны

с_x = 50 смс_y = 35 см

Толщина плиты

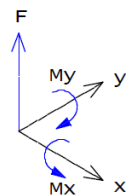
h = 60 см

Рабочая высота сечения плиты

h_{0x} = 51.3 смh_{0y} = 51.3 смНагрузки

Nº	F [кН]	M _x [кНм]	M _y [кНм]	p [кПа]
1	-1468.9	69.3	-205.8	100.0
2	-1459.9	73.4	136.1	100.0
3	-1877.4	-58.2	-207.7	100.0
4	-2027.6	75.8	-132.9	100.0
5	-1807.0	45.2	237.7	100.0
6	-1953.5	-94.6	181.5	100.0
7	-1727.7	-120.8	89.3	100.0

Положительные направления силы и моментов

Расчет

Согласно СП 63.13330.2012 Бетон и железобетон.кон.

Бетон В 25 (тяжелый)
 Коэффициент условий работы γ_b = 1.000 -
 Сопротивление бетона γ_{b R_bt} = 1.050 МПа

Поперечная арматура A500
 Сопротивление арматуры R_{s w} = 300 МПа

Расчетный периметр u = 375.2 см

Инв. № подл.	Полпись и дата	Взам. инв. №

Изм.	Кол.	Лист	№	Подп.	Дата

Моменты инерции расчетного контура
 $I_x = 0.4843 \text{ м}^3$ $I_y = 0.6160 \text{ м}^3$

Моменты сопротивления расчетного контура
 $W_x = 1.1225 \text{ м}^2$ $W_y = 1.2163 \text{ м}^2$

Наиболее опасной нагрузкой является нагрузка №6

Равнодействующая давления $P = 210.0 \text{ кН}$
Площадь при учете давления $A_p = 20998 \text{ см}^2$

Примечание. Площадь A_p ограничивается контуром на расстоянии $h_0/2$ от расчетного контура

Продавливающая сила с учетом давления грунта
 $F = -1744 \text{ кН}$

Пределные усилия в бетоне	$F_{b, \text{ult}}$ [кН]	$M_{bx, \text{ult}}$ [кНм]	$M_{by, \text{ult}}$ [кНм]
	2021.0	604.6	655.1

Требуемая погонная площадь арматуры $A_{sw}/s_w = 6.60 \text{ см}^2/\text{м}$

Пределные усилия в арматуре	$F_{sw, \text{ult}}$ [кН]	$M_{sw, x, \text{ult}}$ [кНм]	$M_{sw, y, \text{ult}}$ [кНм]
	594.3	177.8	192.7

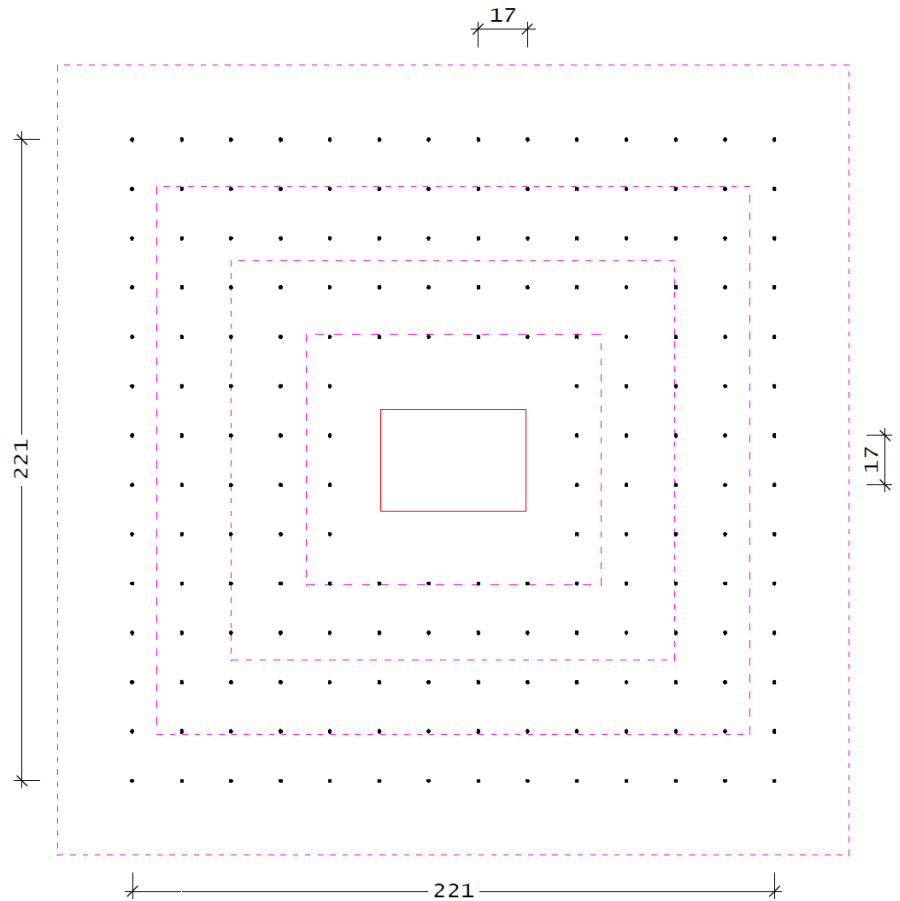
Условие прочности $F / F_{\text{ult}} + M_x / M_{x, \text{ult}} + M_y / M_{y, \text{ult}} = 0.6667 + 0.1203 + 0.2130 = 1.000 <= 1$

Вклад моментов ограничен согласно 8.1.46

<u>Конструирование</u>	Диаметр хомутов	d_{sw}	= 10	мм
	Шаг хомутов	s_w	= 17	см
	Погонная площадь арматуры	A_{sw}/s_w	= 9.24	см ² /м
	$A_{sw} = 2 * 0.79$	= 1.57	см ²	-
	Число хомутов	n_w	= 180	-

Инв. № подл.	Полпись и дата	Взам. инв. №

Изм.	Кол.	Лист	№	Подп.	Дата



Проверка прочности плиты за границей расположения поперечной арматуры

Расчетный периметр $u = 1089$ см

Моменты инерции расчетного контура
 $I_x = 13.4602$ м³ $I_y = 13.4602$ м³

Моменты сопротивления расчетного контура
 $W_x = 9.8863$ м² $W_y = 9.8863$ м²

Равнодействующая давления $P = 1047$ кН
 Площадь при учете давления $A_p = 104717$ см²

Продавливающая сила с учетом давления грунта
 $F = -906.3$ кН

Предельные усилия в бетоне

F_b, u_{lt} [кН]	$M_{bx, u_{lt}}$ [кНм]	$M_{by, u_{lt}}$ [кНм]
5867.0	5325.3	5325.3

Условие прочности

$$F / F_{ult} + M_x / M_{x, ult} + M_y / M_{y, ult} = \\ 0.1545 + 0.0178 + 0.0341 = 0.206 \leq 1$$

Инв. № подл.	Полпись и дата	Взам. инв. №

Изм.	Кол.	Лист	№	Подп.	Дата

3.3 Расчёт колонн

Колонны составные сечением: 250×400, 250×500 – В40

Данные для расчета колонн:

- бетон класса В40 ГОСТ 26633-91*;
- модуль упругости $E_b = 3.6 \times 10^7$ кН/м²;
- коэффициент Пуассона $\mu = 0.2$;
- нормативный объемный вес бетона $\gamma_0^h = 2500$ кг/м³

Арматура:

рабочая класса А-500С ГОСТ Р 52544-2006,
распределительная класса А-400 ГОСТ Р 52544-2006,
модуль упругости $E_s = 2 \times 10^8$ кН/м²;

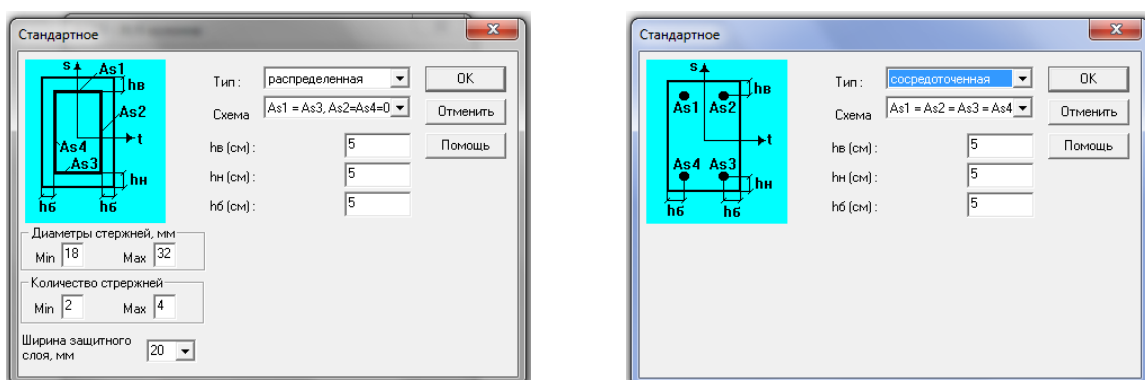
Армирование железобетонных стержней

Осуществляется расчёт по прочности железобетонных балок. Предварительно должны быть определены расчётные сочетания усилий или комбинаций нагрузок.

Возможно решение следующих задач:

- определение теоретической арматуры (для 2D- и 3D-балок) по условию прочности;
- проверка прочности армированного сечения (для 2D- и 3D-балок);
- подбор арматуры (раскладка);
- учет кручения (для 3D-балок прямоугольного сечения);

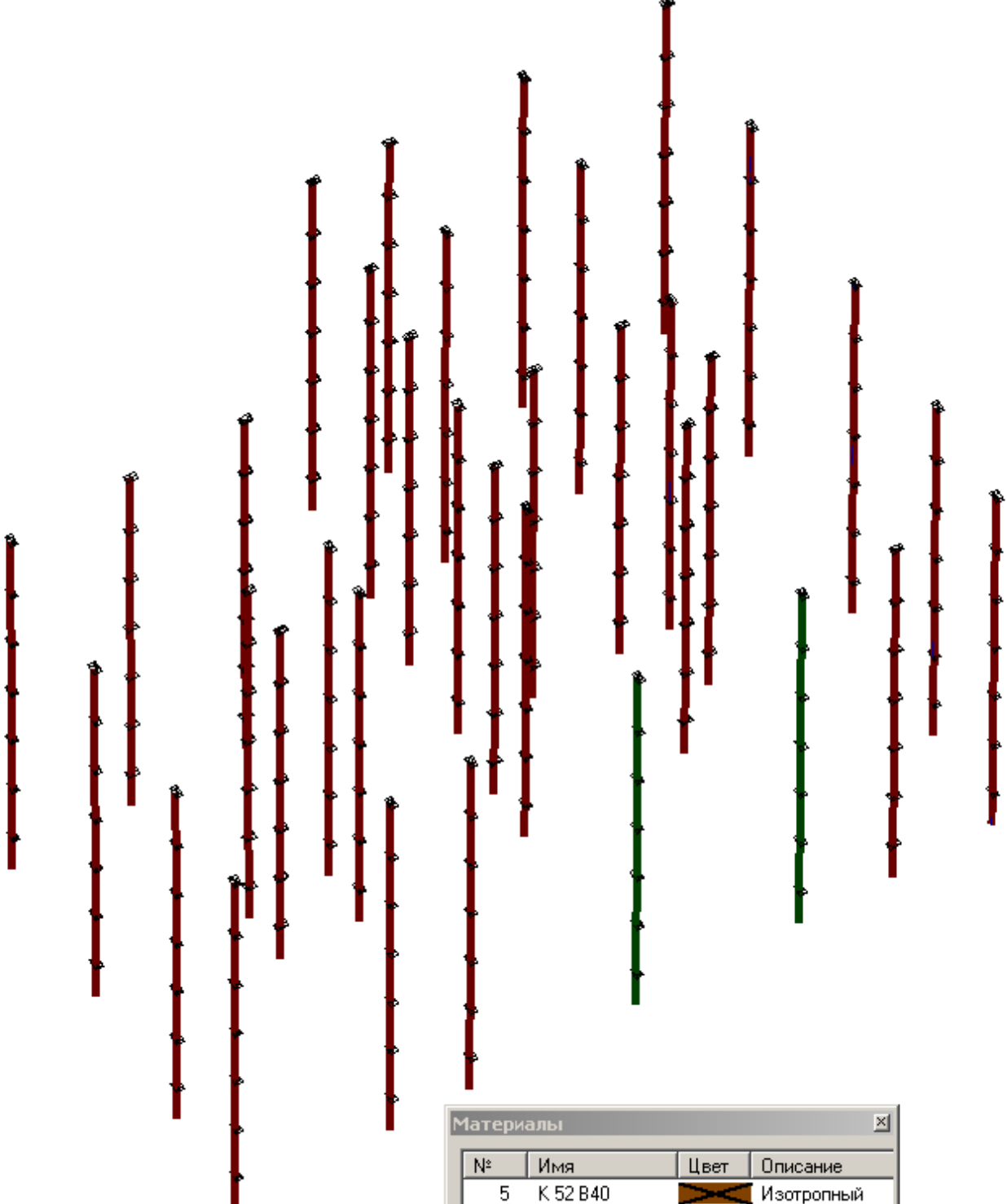
Схема армирования колонн



Инв. № подл.	Полпись и дата	Взам. инв. №

Изм.	Кол.	Лист	№	Подп.	Дата

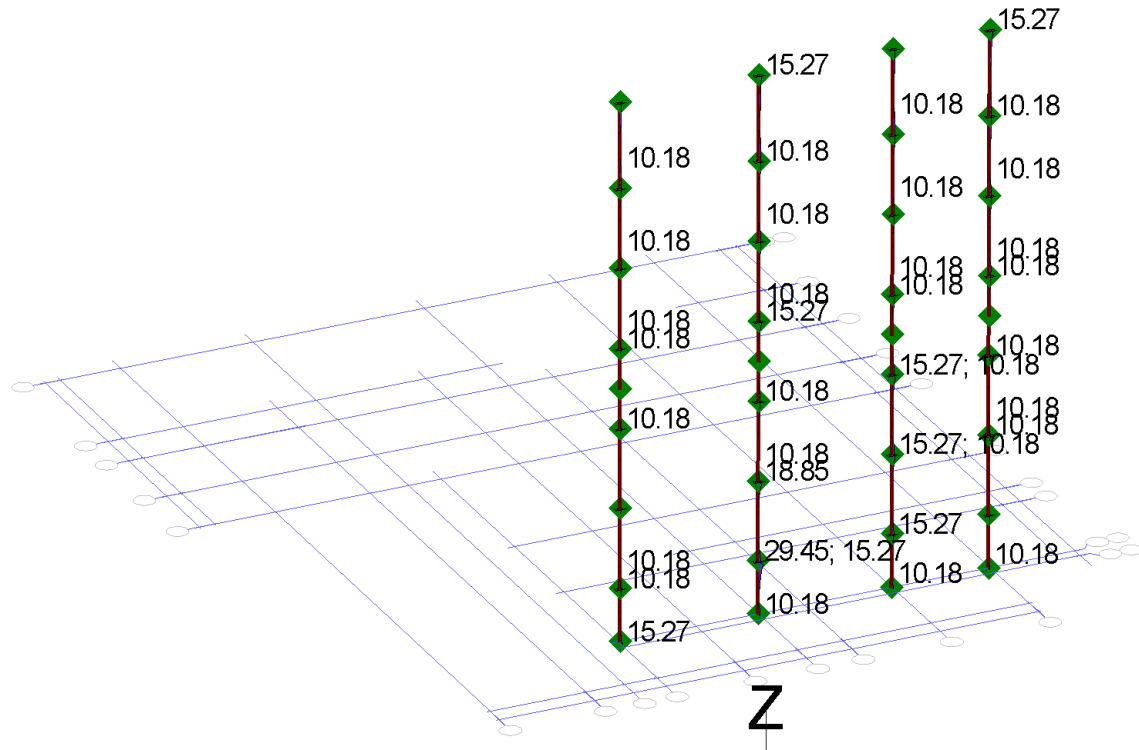
Инв. № подл.	Полпись и дата	Взам. инв. №



3.3.1 Армирование колонн

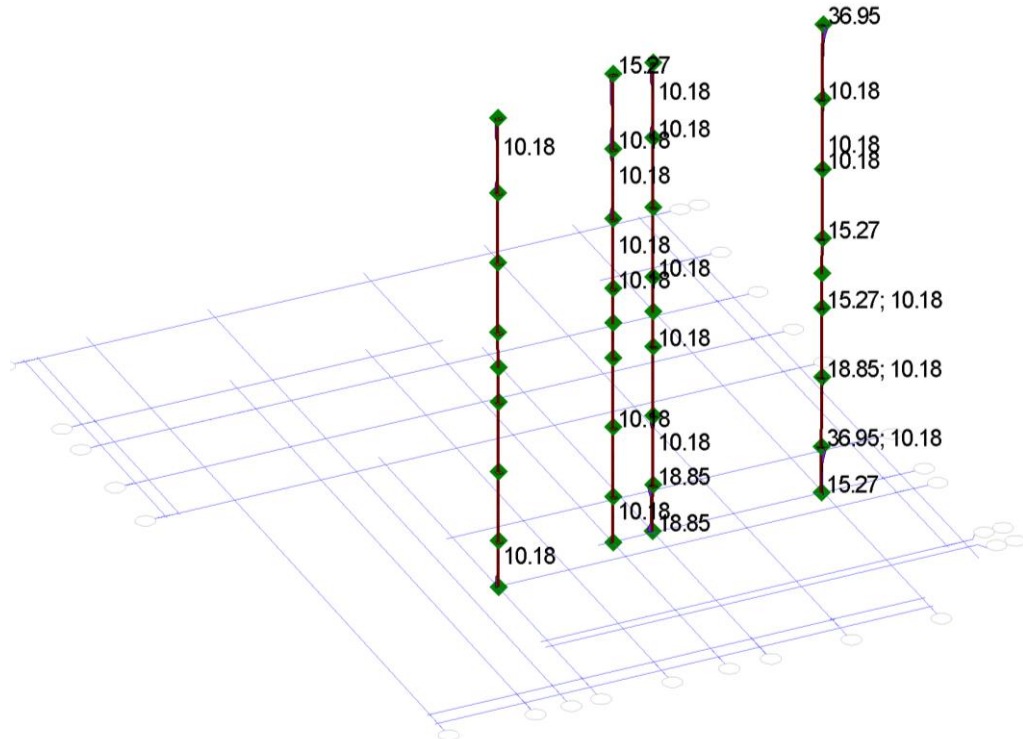
Результаты расчета армирования даны суммарно на все сечение колонны, с учетом унификации в пределах этажа.

Армирование колонн по оси 1с



MAX (As_summ) = 29.45 см² (в КЭ-элементе 35232, коорд. сечения 0.000)

Армирование колонн по оси 2с, 3с

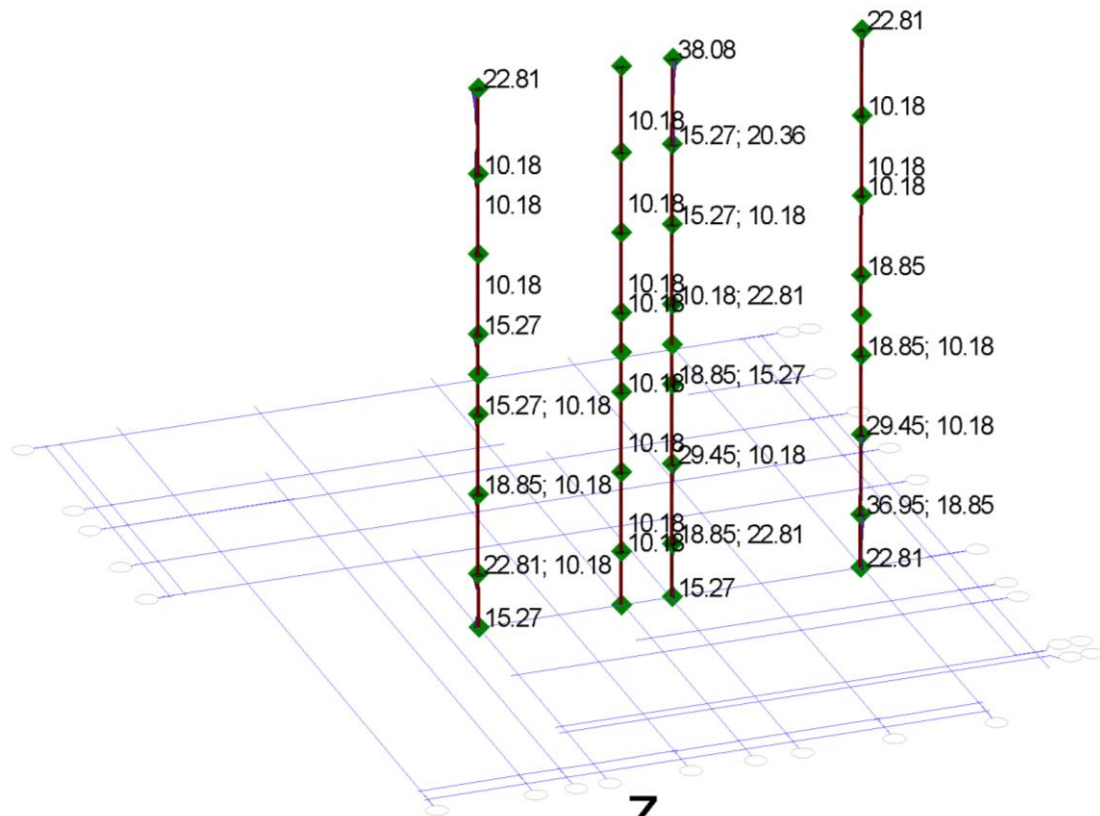


MAX (As_summ) = 36.95 см² (в КЭ-элементе 35241, коорд. сечения 0.000)

Инв. № подл.	Полпись и дата	Взам. инв. №

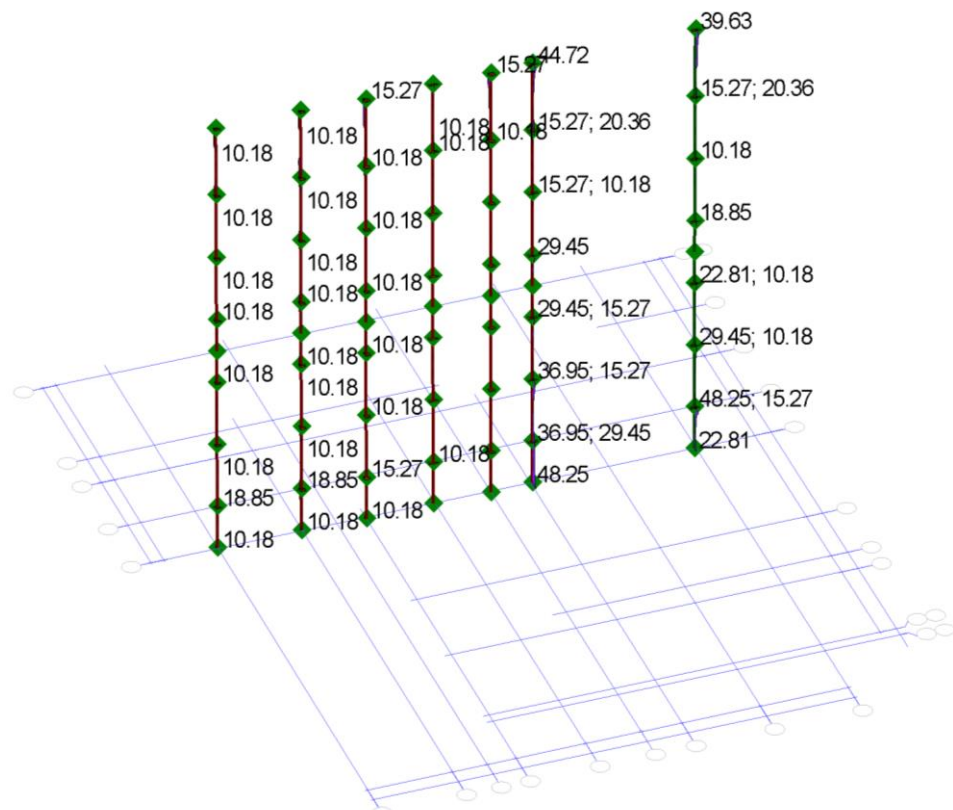
Изм.	Кол.	Лист	№	Подп.	Дата

Армирование колонн по оси 4с



MAX (As_summ) = 38.08 см² (в КЭ-элементе 35742, коорд. сечения 0.000)

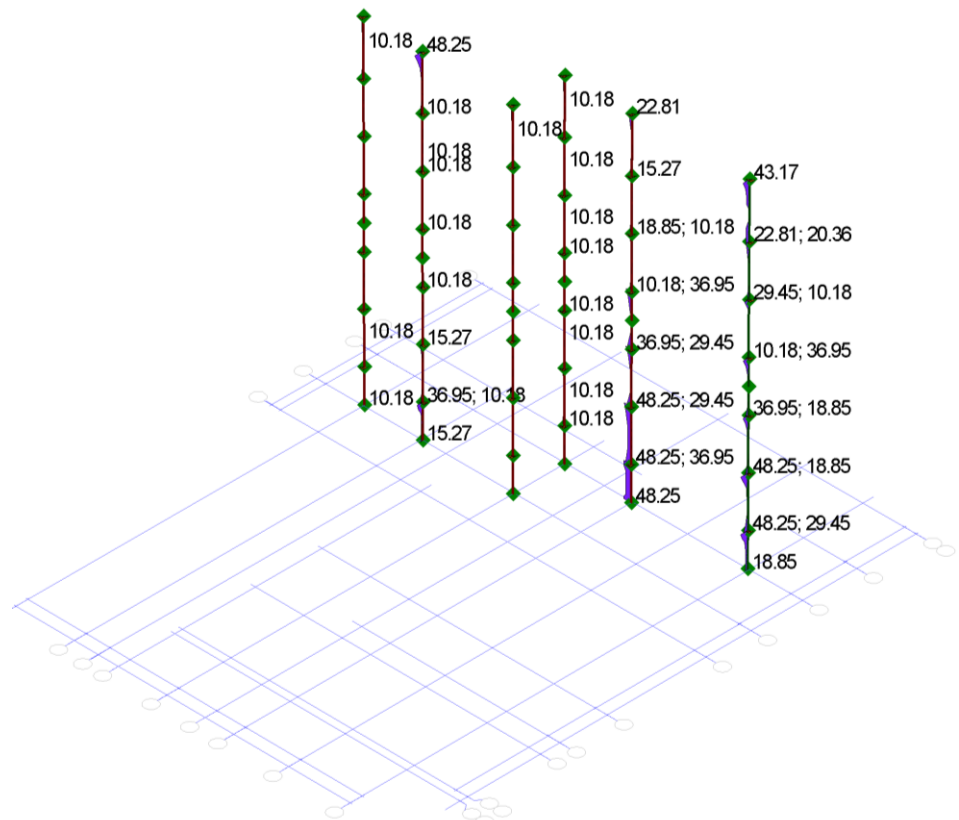
Армирование колонн по оси 5с



MAX (As_summ) = 48.25 см² (в КЭ-элементе 35261, коорд. сечения 0.515)

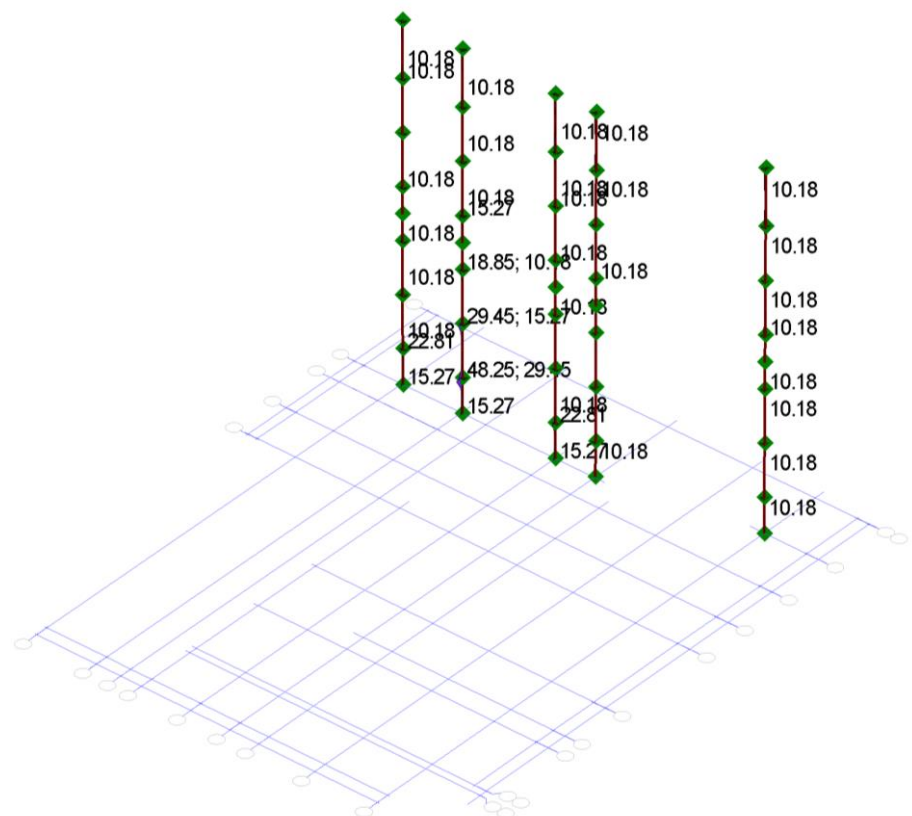
Инв. № подп.	Полпись и дата	Взам. инв. №

Армирование колонн по оси 6с, 7с



MAX (As_summ) = 48.25 см² (в КЭ-элементе 35732, коорд. сечения 0.000)

Армирование колонн по оси 8с, 9с

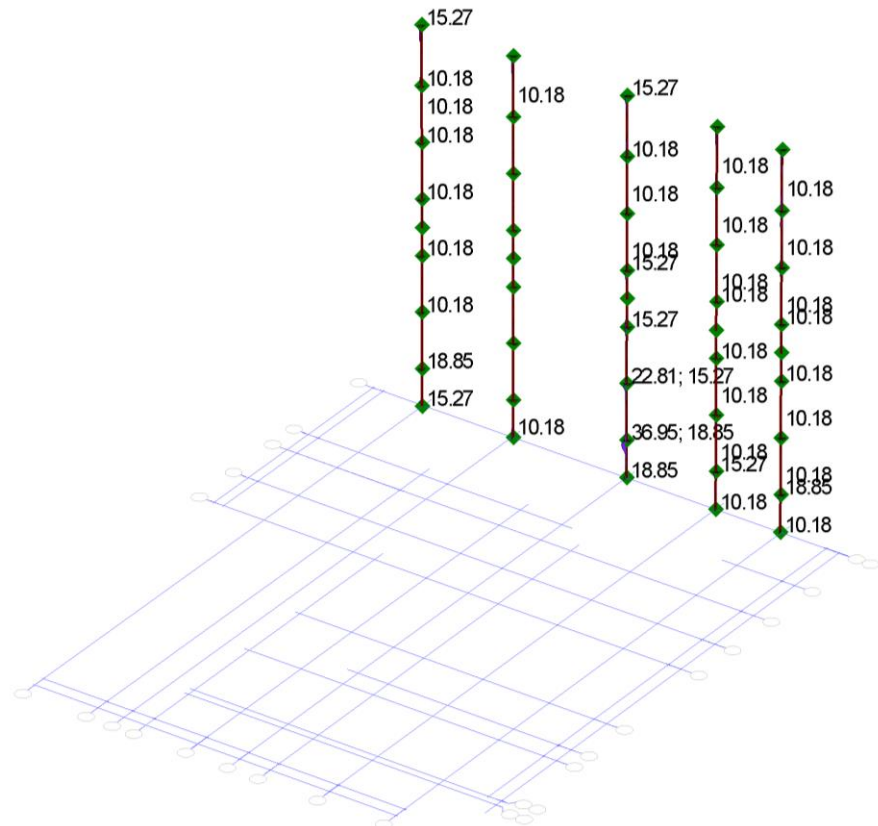


MAX (As_summ) = 48.25 см² (в КЭ-элементе 35271, коорд. сечения 0.000)

Инв. № подл.	Полпись и дата	Взам. инв. №

Изм.	Кол.	Лист	№	Подп.	Дата

Армирование колонн по оси 10с



MAX (As_summ) = 36.95 см² (в КЭ-элементе 35280, коорд. сечения 0.000)

Инв. № подл.	Полпись и дата	Взам. инв. №

Изм.	Кол.	Лист	№	Подп.	Дата

3.4 Расчёт ригелей

Данные для расчета ригелей:

бетон класса В30 ГОСТ 26633-91;
модуль упругости $E_b = 3.25 \times 10^7 \text{ кН/м}^2$;
коэффициент Пуассона $\mu = 0.2$;
нормативный объемный вес бетона $\gamma_0^H = 2500 \text{ кг/м}^3$

Арматура:

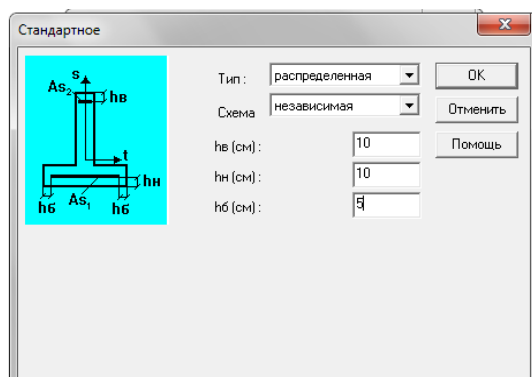
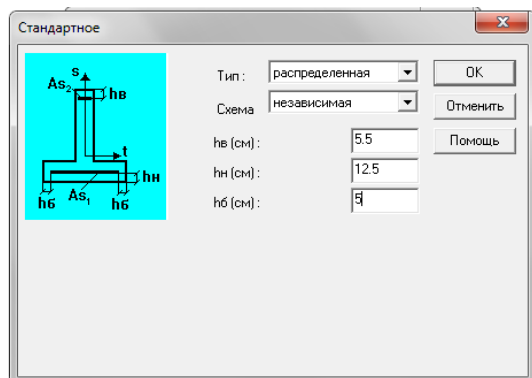
рабочая класса А-500С ГОСТ Р 52544-2006,
распределительная класса А-500 ГОСТ Р 52544-2006.
модуль упругости $E_s = 2 \times 10^8 \text{ кН/м}^2$;

Армирование железобетонных стержней

Осуществляется расчёт по прочности железобетонных балок. Предварительно должны быть определены расчётные сочетания усилий.

Возможно решение следующих задач:

- определение теоретической арматуры по условию прочности;
- проверка прочности армированного сечения;
- подбор арматуры (раскладка);

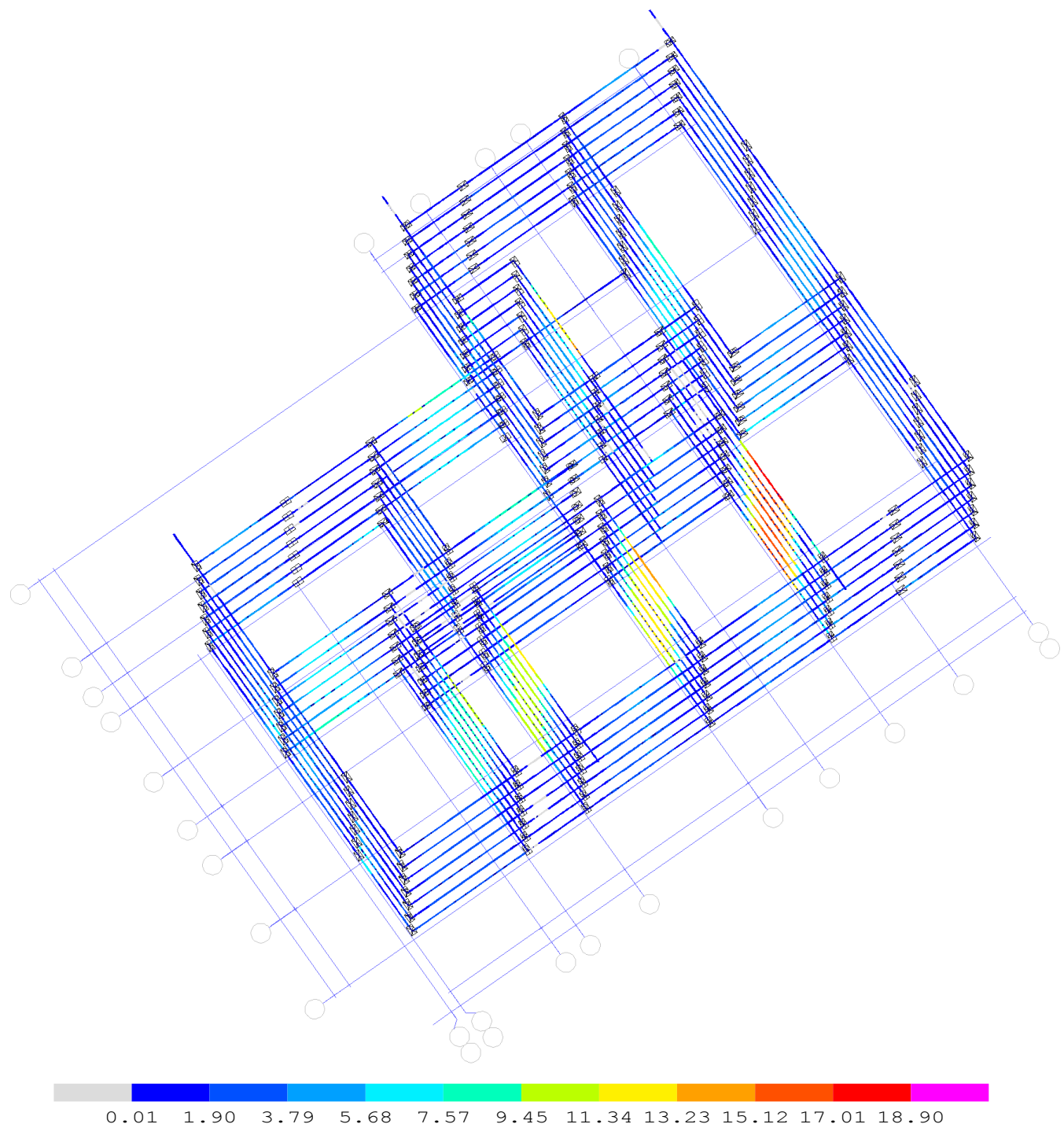


Инв. № подл.	Полпись и дата	Взам. инв. №

Изм.	Кол.	Лист	№	Подп.	Дата

3.4.1 Результаты расчёта армирования ригелей

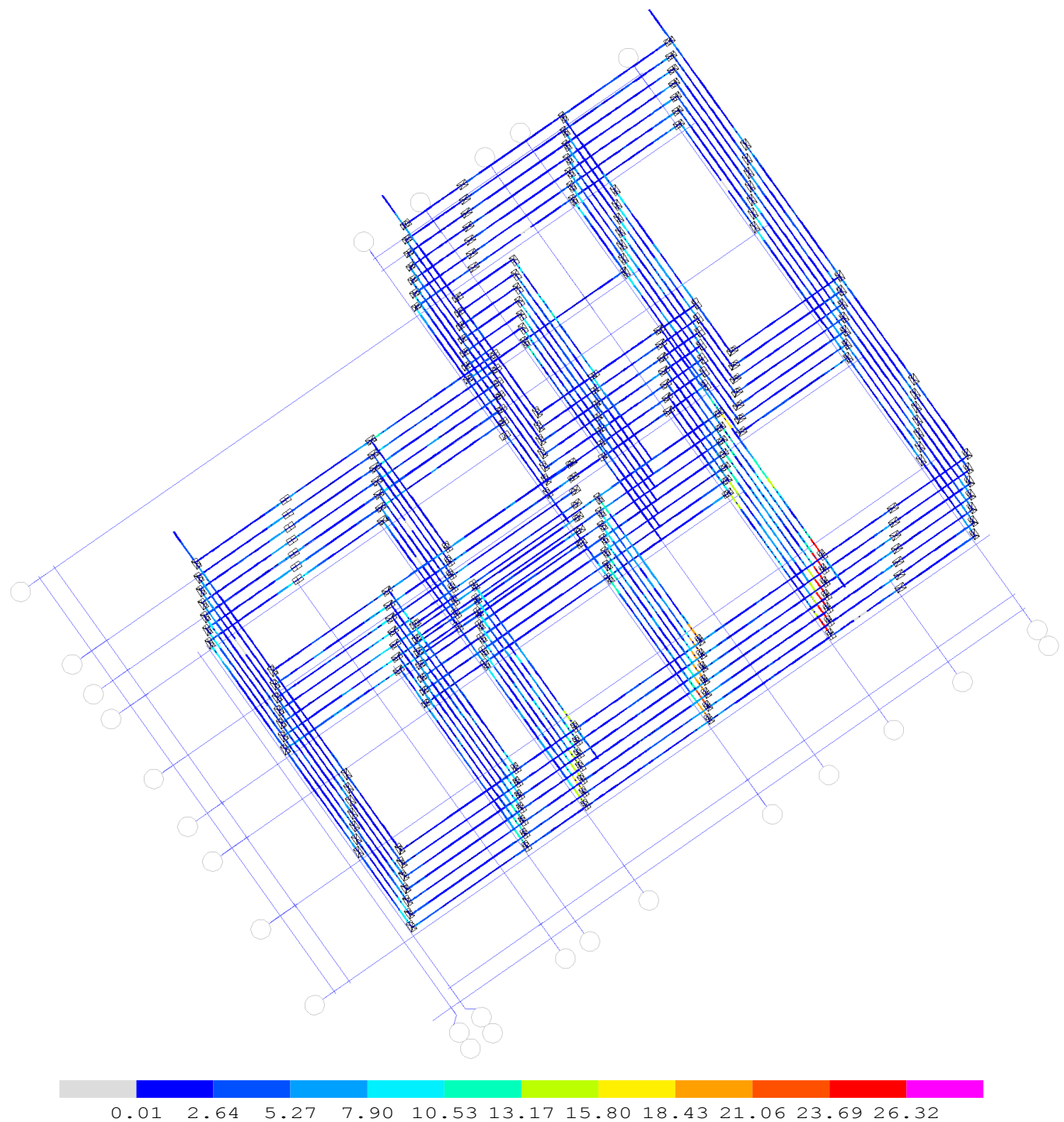
Нижняя арматура



Инв. № подл.	Полпись и дата	Взам. инв. №

Изм.	Кол.	Лист	№	Подп.	Дата

Верхняя арматура



Инв. № подл.	Полпись и дата	Взам. инв. №

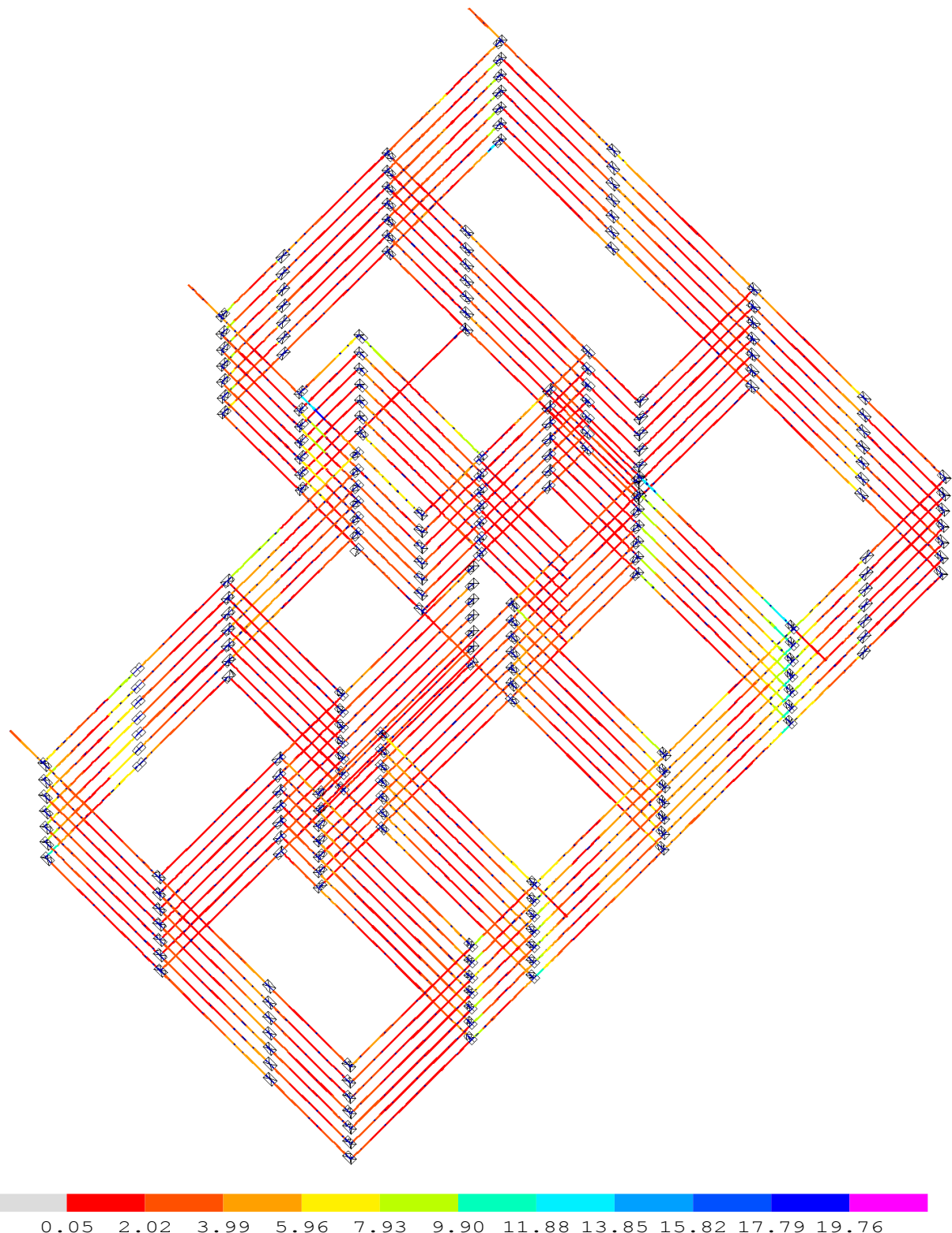
05/08-2019 ПР-РР1

Лист

95

Изм.	Кол.	Лист	№	Подп.	Дата
------	------	------	---	-------	------

Поперечная арматура



Инв. № подл.	Полпись и дата	Взам. инв. №

Изм.	Кол.	Лист	№	Подп.	Дата

05/08-2019 ПР-РР1

Лист

96

4. Список использованной литературы

1. СП 20.13330.2016 “Нагрузки и воздействия”.
2. СП 63.13330.2012 “Бетонные и железобетонные конструкции без предварительного напряжения”.
3. “Пособие по проектированию бетонных и железобетонных конструкций без предварительного напряжения ”.
4. Справочное пособие к СНиП 2.03.01-84 “Проектирование железобетонных сборно-монолитных конструкций
5. СП 22.13330.2016 «Основания зданий и сооружений».
6. Справочник проектировщика. Основания, фундаменты и подземные сооружения. М., Стройиздат, 1985г.

Инв. № подл.	Полпись и дата	Взам. инв. №

Изм.	Кол.	Лист	№	Подп.	Дата

05/08-2019 ПР-РР1

Лист
97

Приложение 1. Сертификат соответствия.

СИСТЕМА СЕРТИФИКАЦИИ ГОСТ Р ФЕДЕРАЛЬНОЕ АГЕНТСТВО ПО ТЕХНИЧЕСКОМУ РЕГУЛИРОВАНИЮ И МЕТРОЛОГИИ



СЕРТИФИКАТ СООТВЕТСТВИЯ

№ RA.RU.AБ86.Н01167

Срок действия с 10.06.2019 по 09.06.2022

№ 0351076

ОРГАН ПО СЕРТИФИКАЦИИ RA.RU.11АБ86

ООО ЦСПС. Орган по сертификации программной продукции в строительстве
125057 г. Москва, Ленинградский проспект, дом 63, тел. (499) 157-1990

ПРОДУКЦИЯ Программный комплекс архитектурно-строительного проектирования зданий и сооружений Ing+
в составе программ MicroFe - СтаДиКон, СТАТИКА, ViCADo

код ОК

58.29.29.000

обеспечение программное прикладное прочее на электронном носителе, серийный выпуск

СООТВЕТСТВУЕТ ТРЕБОВАНИЯМ НОРМАТИВНЫХ ДОКУМЕНТОВ

ГОСТ Р ИСО 9127-94, разд.6, пп.6.1.1, 6.3.1, 6.5.1 – 6.5.3, 6.5.5;

код ТН ВЭД

ГОСТ Р ИСО/МЭК 12119-2000, разд.3, пп.3.1.1, 3.1.3, 3.2.1 – 3.2.5;

ГОСТ Р ИСО 9126-93, разд.4, пп.4.1 - 4.4; ГОСТ 28195-89, разд.2,

п.2.1 (пп.1.1, 1.2, 2.1 - 2.3, 3.1 - 3.3, 6.1, 6.2; ГОСТ 28806-90, разд.2, пп.13 – 16

ИЗГОТОВИТЕЛЬ

ООО "ТЕХСОФТ"

ИНН 7731270630, Россия, 121467, г. Москва, ул. Молодогвардейская, д. 9,
тел. (499) 120-11-33, (495) 960-22-83

СЕРТИФИКАТ ВЫДАН

ООО "ТЕХСОФТ", Россия, 121467, г. Москва, ул. Молодогвардейская, д. 9,
тел. (499) 120-11-33, (495) 960-22-83

НА ОСНОВАНИИ

Заключения ООО ЦСПС № 01-22-19 от 06 июня 2019 г. на 17-и страницах.

ДОПОЛНИТЕЛЬНАЯ ИНФОРМАЦИЯ



Руководитель органа

Эксперт

Схема сертификации 3

подпись

подпись

С.Д.Ратнер

Т.Н.Бубнова

ициалы, фамилия

ициалы, фамилия

Сертификат не применяется при обязательной сертификации

АО «ОПЦИОН», Москва, 2018. - В - лицензия № 05-05-09/003 ФНС РФ, тел. (495) 726 4742, www.opcion.ru

Инв. № подл.	Полпись и дата	Взам. инв. №

Изм.	Кол.	Лист	№	Подп.	Дата

05/08-2019 ПР-PP1

Лист

98

Приложение 2. Протокол статического анализа.

ПРОТОКОЛ СТАТИЧЕСКОГО АНАЛИЗА (MicroFE 2018 (x64) - 12092012/12092012)

--Характеристики системы

Элементы	Узлы	Уравнения	Жесткости	Требуемая память
188621	112882	422468	263702707	2011 Mbyte

СТАТИЧЕСКИЙ РАСЧЕТ:

Опции для расчета	Актуально
Оптимизация узлов	Да
Проверка требуемого места на диске	Да
Прерывание для подвижных систем	Да
Согласованные нагрузки	Да

Нагружений : 19

--Место в памяти

Рабочая память	Требуется	Доступно
Маленький решатель	327 Mbyte	да

Место на диске	Требуется	Доступно	Дисковод:\Путь
Результаты	127 Mbyte	182 Gbyte	"d:\projekte_cmk\..."
Временные файлы	2163 Mbyte	50 Gbyte	"C:\Users\user\Ap..."

--Обработка структуры : 7 сек

--Поэтапное возведение, этап 1

--Характеристики системы

Элементы	Узлы	Уравнения	Жесткости	Требуемая память
164226	88209	274430	245984976	1876 Mbyte

--Обработка структуры : 3 сек

--Решение статической задачи

Время счета 36 сек

--Поэтапное возведение, этап 2

--Характеристики системы

Элементы	Узлы	Уравнения	Жесткости	Требуемая память
168292	92323	299114	248172787	1893 Mbyte

--Обработка структуры : 4 сек

--Решение статической задачи

Время счета 37 сек

--Поэтапное возведение, этап 3

--Характеристики системы

Элементы	Узлы	Уравнения	Жесткости	Требуемая память
172339	96426	323732	251809589	1921 Mbyte

--Обработка структуры : 3 сек

--Решение статической задачи

Время счета 37 сек

--Поэтапное возведение, этап 4

--Характеристики системы

Элементы	Узлы	Уравнения	Жесткости	Требуемая память
176386	100529	348350	246868918	1883 Mbyte

Инв. № подл.	Полпись и дата	Взам. инв. №

Изм.	Кол.	Лист	№	Подп.	Дата

05/08-2019 ПР-PP1

Лист
99

--Обработка структуры : 3 сек

--Решение статической задачи

Время счета 36 сек

--Поэтапное возвведение, этап 5

--Характеристики системы

Элементы	Узлы	Уравнения	Жесткости	Требуемая память
180433	104632	372968	248973997	1899 Mbyte

--Обработка структуры : 4 сек

--Решение статической задачи

Время счета 37 сек

--Поэтапное возвведение, этап 6

--Характеристики системы

Элементы	Узлы	Уравнения	Жесткости	Требуемая память
184480	108735	397586	263943300	2013 Mbyte

--Обработка структуры : 3 сек

--Решение статической задачи

Время счета 42 сек

--Поэтапное возвведение, этап 7

--Характеристики системы

Элементы	Узлы	Уравнения	Жесткости	Требуемая память
188621	112882	422468	263702707	2011 Mbyte

--Обработка структуры : 4 сек

--Решение статической задачи

Время счета 51 сек

--Нагрузка / Опорные реакции

H/H	Rx / Ax [Kn]	Py / Ay [Kn]	Pz / Az [Kn]
1	0.00 / 0.00	0.00 / 0.00	-44213.96 / 44213.96
2	0.00 / -0.00	0.00 / 0.00	-7269.26 / 7269.26
3	0.00 / -0.00	0.00 / 0.00	-12558.02 / 12558.02
4	0.00 / 0.00	0.00 / 0.00	-12885.80 / 12885.80
5	-4.05 / 4.05	-246.48 / 246.48	-2325.78 / 2325.78
6	0.00 / -0.00	0.00 / 0.00	-4768.12 / 4768.12
7	-0.00 / 0.00	0.00 / -0.00	-4742.19 / 4742.19
8	-0.00 / -0.00	0.00 / 0.00	-6713.12 / 6713.12
9	0.00 / -0.00	0.00 / 0.00	-2494.93 / 2494.93
10	-25.16 / 25.16	222.38 / -222.38	0.00 / 0.00
11	-4.15 / 4.15	-270.76 / 270.76	0.00 / -0.00
12	370.86 / -370.86	133.71 / -133.71	0.00 / 0.00
13	-369.49 / 369.49	165.22 / -165.22	0.00 / -0.00
14	-42.94 / 42.94	383.75 / -383.75	0.00 / 0.00
15	-6.47 / 6.47	-467.23 / 467.23	0.00 / -0.00
16	565.10 / -565.10	250.03 / -250.03	0.00 / 0.00
17	-563.25 / 563.25	308.95 / -308.95	0.00 / -0.00
18	0.00 / -0.00	0.00 / 0.00	-0.55 / 0.55
19	0.00 / -0.00	0.00 / 0.00	-74440.91 / 74440.91

Сумма -79.56 / 79.56 479.59 / -479.59 -172412.64 / 172412.64

Инв. № подл.	Полпись и дата	Взам. инв. №

Изм.	Кол.	Лист	№	Подп.	Дата

--Формирование результатов : 10 сек

--Статический анализ завершен

Расчетное время : 318 сек

*** Расчет успешно завершен ***

Инв. № подл.	Полпись и дата	Взам. инв. №

Изм.	Кол.	Лист	№	Подп.	Дата

05/08-2019 ПР-PP1

Лист

101